

Informática Gráfica

# Texturado, iluminación y render de imágenes sintéticas

---

---



Diego Gutiérrez  
Francisco José Serón



---

Informática Gráfica

# Texturado, iluminación y render de imágenes sintéticas

---

---



Diego Gutiérrez  
Francisco José Serón

Edita:

Departamento de Informática e Ingeniería de Sistemas  
C/María de Luna 1, Campus Río Ebro, Edificio Ada Byron  
50018 Zaragoza (España)

ISBN:

Depósito Legal:

Imprime:

# Tabla de contenidos

<b>1. Introducción</b>	<b>1</b>
<b>2. Modelos de iluminación local</b>	<b>7</b>
<b>3. Shading</b>	<b>27</b>
<b>4. Modelos de iluminación global</b>	<b>40</b>
<b>5. Ray tracing</b>	<b>52</b>
<b>6. Técnicas de aceleración de Ray Tracing</b>	<b>73</b>
<b>7. Sampling y antialiasing</b>	<b>82</b>
<b>8. Texturas</b>	<b>93</b>
<b>9. Luz virtual</b>	<b>139</b>
<b>10. Bibliografía</b>	<b>215</b>



GIGA



## Introducción

Diego Gutiérrez y Francisco J. Serón

## Introducción



- ◆ La informática gráfica es una tecnología para presentar información
- ◆ *Si puedes imaginarlo, puedes hacerlo con CG*
- ◆ Pensad en todos los ámbitos en que está presente...

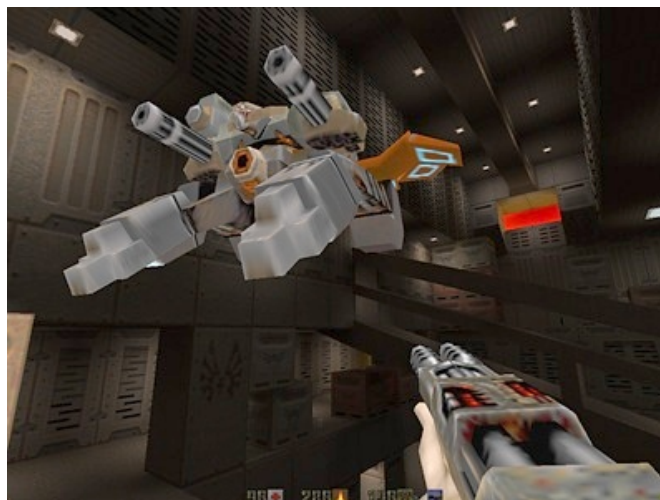




## Introducción

◆ Este curso es la excusa perfecta para...

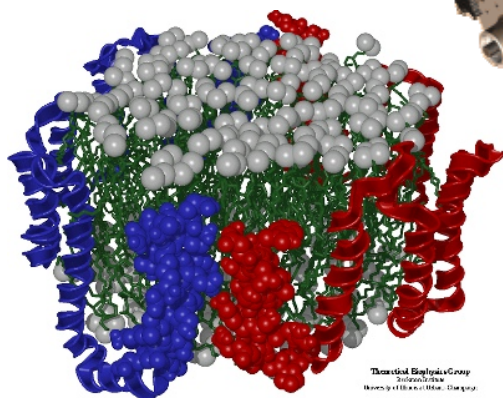
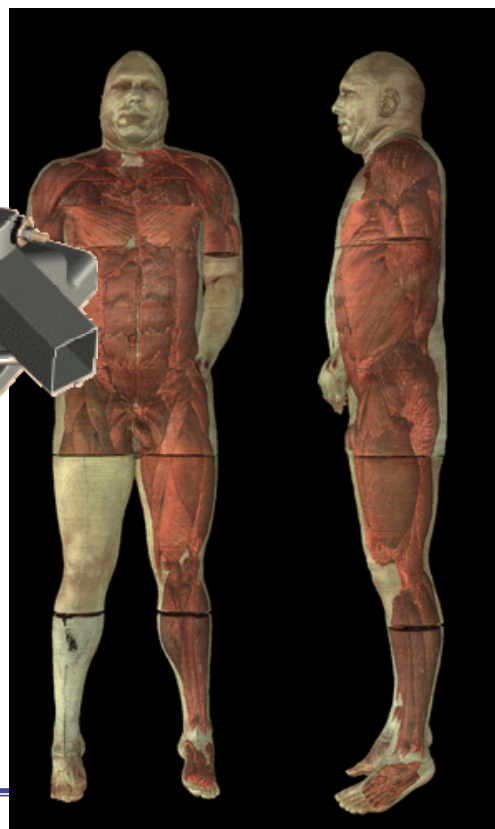
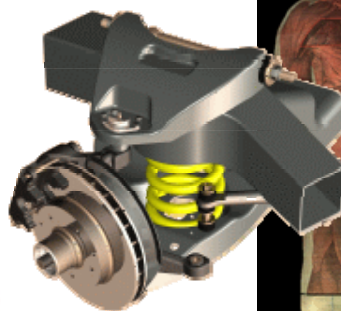
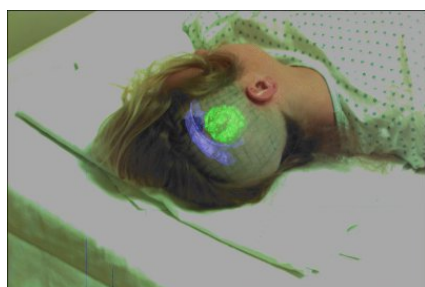
- Ir al cine
- Jugar al ordenador
- Ver mucha televisión
- ...



◆ Y si alguien pregunta, decidles que estáis estudiando!



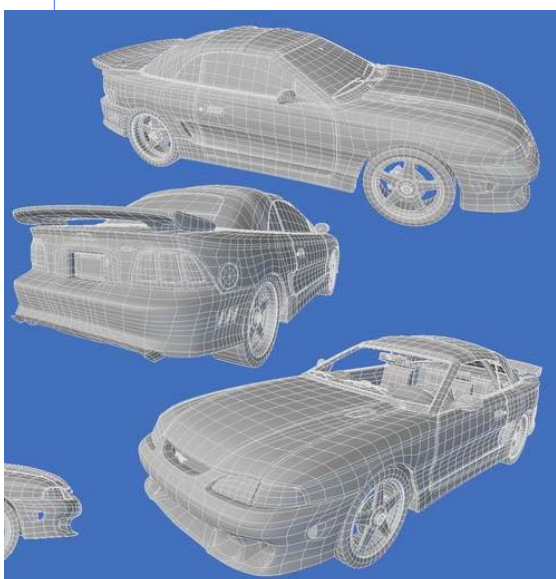
## Ambitos





## Introducción

- ◆ Dada una escena 3D... ¿cómo obtenemos una imagen realista?



## Introducción

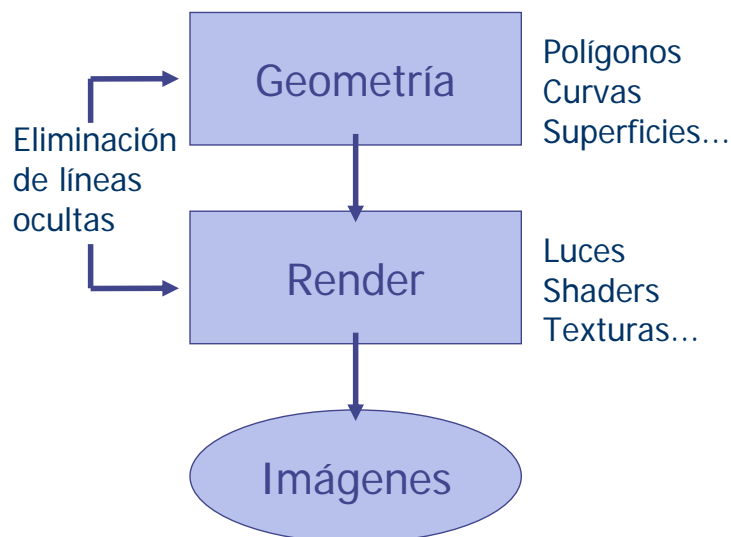
- ◆ Necesitamos:
  - Descripción de la escena:
    - ◆ Forma de los objetos
    - ◆ Localización y orientación
    - ◆ Propiedades de las superficies
    - ◆ Fuentes de luz
    - ◆ ...
  - Información de la visibilidad:
    - ◆ Qué puntos son visibles?
    - ◆ Cómo están iluminados?
    - ◆ ...
- ◆ Fundamentalmente nos ocuparemos de la última pregunta





## Introducción

- ◆ Rendering pipeline (sobresimplificado!!!)

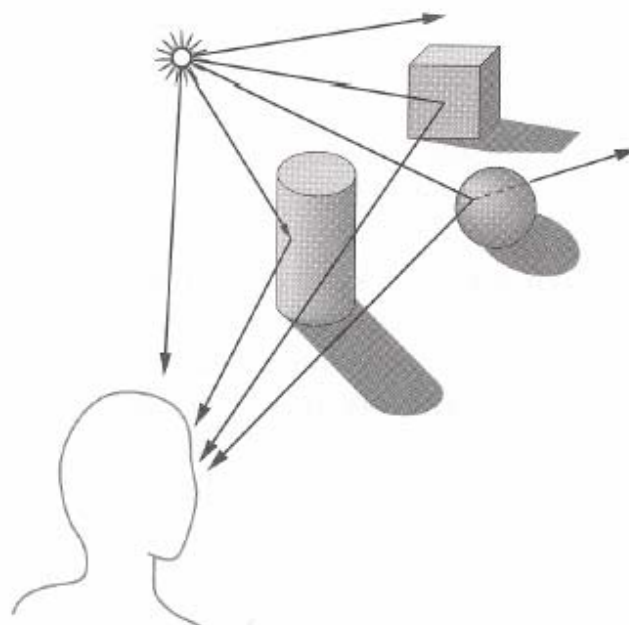


## Introducción

- ◆ Una vez hemos elegido una vista de nuestra escena, el objetivo es saber cómo están iluminados los puntos visibles
- ◆ Dos fuentes de luz para cada punto:
  - Luz directa
  - Luz indirecta
- ◆ ... y dos tipos de algoritmos:
  - Algoritmos de iluminación local
  - Algoritmos de iluminación global (GI)



## Introducción



## Introducción

- ◆ Dos enfoques para afrontar el problema:
  - Render heurístico: usa todos los trucos que puedas con tal de que la imagen quede aparentemente bien (*top-down*)
    - ◆ Interpolación
    - ◆ Gouraud
    - ◆ Phong
  - Render basado en la física: modela los procesos físicos que determinan el transporte de luz en la escena y deja que la imagen aparezca (*bottom-up*)
    - ◆ Trazado de rayos (Ray tracing)
    - ◆ Radiosidad
    - ◆ Mapas de fotones (Photon mapping)
- ◆ Los físicos son más caros computacionalmente, pero dan resultados más exactos (más realismo)



## Introducción

- ◆ Otra clasificación de algoritmos de rendering, según el espacio donde trabajan:
  - Espacio imagen: primero averiguamos qué puntos se ven y luego cómo están iluminados
    - ◆ Ray tracing
  - Espacio objeto: primero averiguamos cómo está iluminada la escena y luego qué puntos se ven
    - ◆ Radiosidad
  - Mixtos: algunos algoritmos bidireccionales
    - ◆ Photon mapping



# Modelos de Iluminación Local

Diego Gutiérrez y Francisco J. Serón

## Indice

- ◆ Introducción
- ◆ Tipos de reflexiones
- ◆ Un modelo sencillo de iluminación
- ◆ Reflexión difusa: segundo modelo
- ◆ Reflexión especular: modelo de Phong
- ◆ Otro modelo más completo
- ◆ Transparencia
- ◆ Color



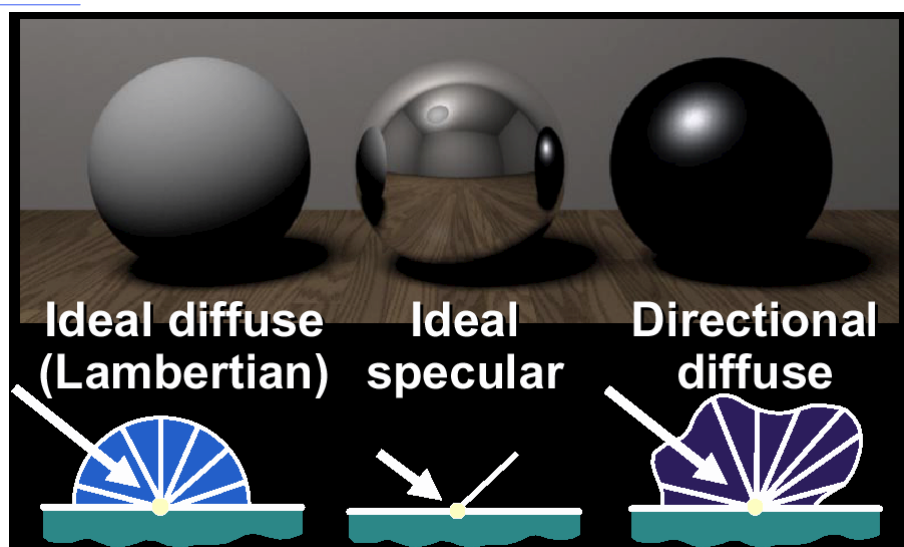


## Introducción

- ◆ Comenzamos con los **modelos de iluminación local**
- ◆ En estos modelos, sólo se calcula la luz que proviene directamente de las fuentes de luz
- ◆ Percibimos los objetos gracias a la **reflexión** de la luz en ellos (especular, difusa)
- ◆ Aunque el color es un aspecto muy importante...
  - En la definición de las fuentes de luz
  - En las propiedades del material
  - En la generación de efectos
- ◆ ...no lo incluiremos en la discusión por claridad



## Tipos de reflexiones

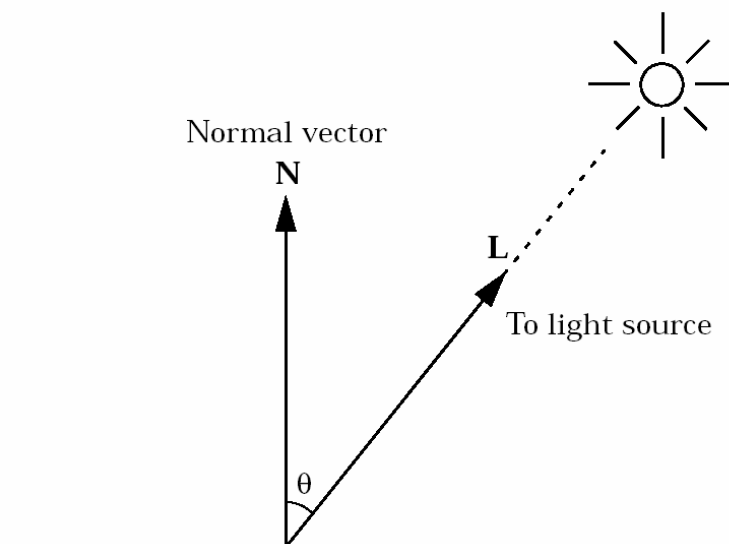


- ◆ En la vida real todos los materiales son, en mayor o menor medida, difusos direccionales (menos los espejos perfectos)



## Orientación de las superficies

- ◆ **N** y **L** son vectores unitarios
- ◆ **Theta** es el ángulo de incidencia



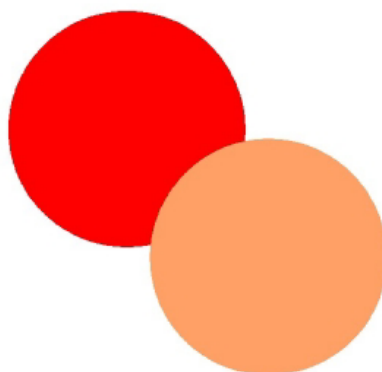
## Un modelo sencillo de iluminación

- ◆ Consideremos sólo **iluminación ambiental**:
  - Uniforme desde todas las direcciones (intensidad  $I_a$ )
  - Proviene de múltiples reflexiones
  - $I = I_a K_d$
  - $K_d$  mide la reflectividad de una superficie ante luz difusa (ambiental). Llamado *coeficiente de reflexión difusa*
  - $K_d$  tiene valores entre 0 y 1
- ◆ Problemas?



## Un modelo sencillo de iluminación

- ◆ Al usar la ecuación anterior, cada punto del objeto poseerá la misma intensidad!
- ◆ Perdemos la tridimensionalidad

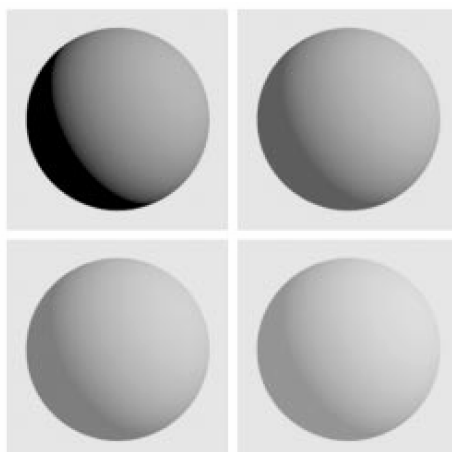


- ◆ Son esferas o círculos?



## Un modelo sencillo de iluminación

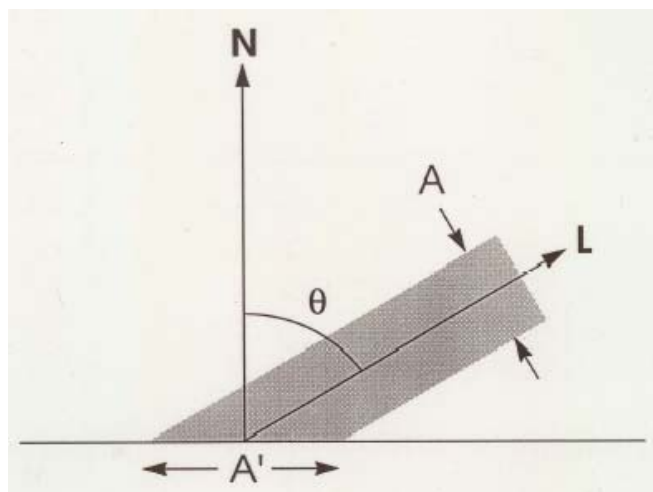
- ◆ Ejercicio: escribir 1000 veces las siguientes frases:
  - La iluminación ambiental es un truco rastroero y vil
  - La iluminación ambiental es más mala que el tabaco
  - La iluminación ambiental no es mi amiga!





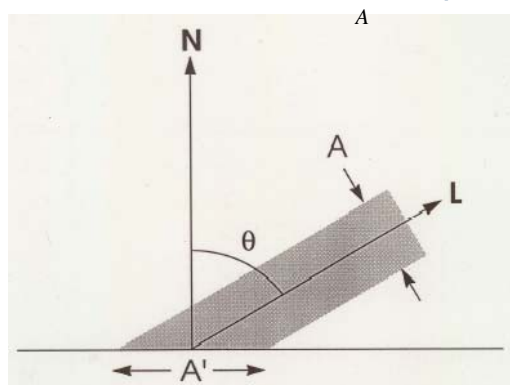
## Ley del coseno de Lambert

- ◆ La intensidad de la luz reflejada por una superficie depende de la intensidad de la luz recibida, que a su vez depende de la fuente de luz y la orientación de la superficie respecto a ella



## Ley del coseno de Lambert

- ◆ Intensidad de luz  $I_p$  de área  $A$
- ◆ La luz se dispersa sobre un área  $A'$
- ◆  $A' = A / \cos\theta$
- ◆  $A = A' \cos\theta$
- ◆ Luego la intensidad efectiva en la superficie es  $I_e = I_p \cos\theta$





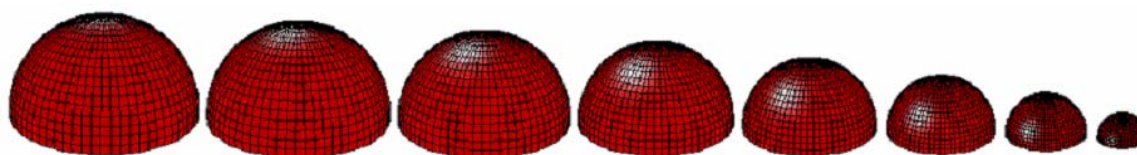
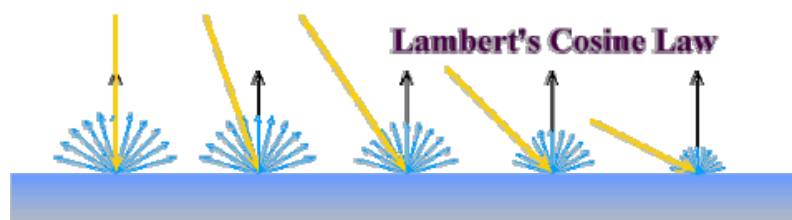


## Ley del coseno de Lambert

- ◆ ¿Por qué nos quemamos más los hombros en verano?
- ◆ Los difusores ideales se comportan según esta ley (materiales *Lambertianos*)
- ◆ La intensidad reflejada es **independiente de la dirección de visualización**
- ◆ Sólo depende de la **orientación de la superficie respecto a la luz**



## Ley del coseno de Lambert

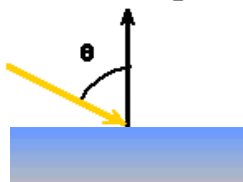




## Reflexión difusa

- ◆ Podemos calcular la intensidad de la luz reflejada de manera difusa como:

$$I_{diffuse} = k_d I_{light} \cos \theta$$



- ◆ Como **N** y **L** son vectores unitarios:

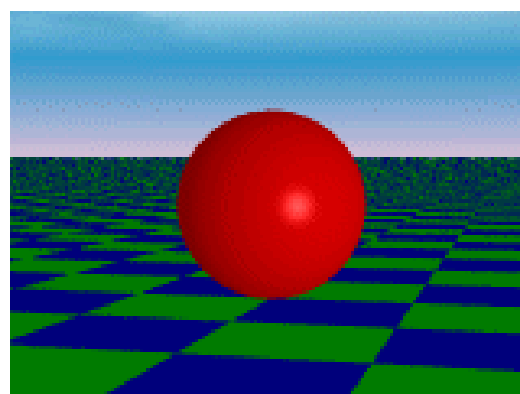
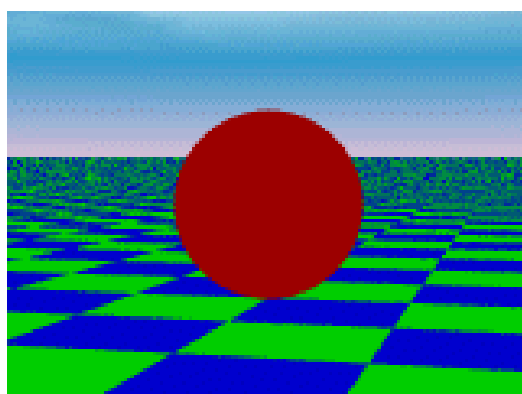
$$\cos \theta = \mathbf{N} \cdot \mathbf{L}$$

- ◆ La intensidad de la luz reflejada de manera difusa es entonces:

$$I_{diffuse} = k_d I_{light} (\bar{n} \cdot \bar{l})$$



## Reflexión difusa





## Un segundo modelo de iluminación

- ◆ Consideramos ahora la componente ambiental más la difusa (proviniente de una fuente puntual)

$$I = \text{ambient} + \text{diffuse}$$

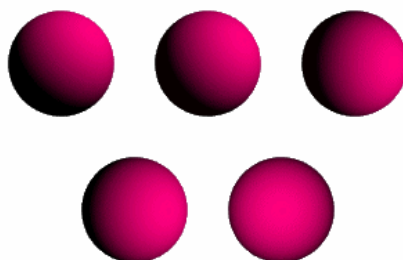
$$I = k_d I_a + k_d I_p (\mathbf{N} \cdot \mathbf{L})$$

- ◆ Para la componente difusa, cuando el producto escalar es negativo (ángulos mayores de 90°), la superficie no “ve” la luz y la energía reflejada es cero



## Un segundo modelo de iluminación

- ◆ Ejemplos de esferas lambertianas con fuentes de luz en distintos ángulos:



- ◆ ¿Por qué se usan esferas para tests de iluminación y sombreado?





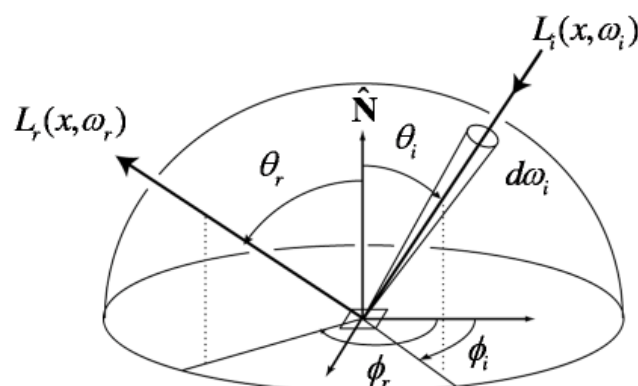
## Reflexión especular

- ◆ El modelo Lambertiano sólo permite modelar objetos mate
- ◆ Las superficies brillantes ofrecen reflejos especulares (*highlights*) bajo determinados ángulos de visión
- ◆ Ojo con la terminología! (reflejo especular vs. *highlight*)
- ◆ Luego la posición del *highlight* es una función del punto de vista de la escena: introducimos la **dependencia de la dirección de visualización**
- ◆ Los *highlights* ocurren sobre un estrecho rango de ángulos
- ◆ El color del *highlight* es generalmente el mismo que el de la luz que lo provoca
- ◆ Los espejos son un ejemplo de reflexión especular perfecta: ángulo de incidencia igual a ángulo de reflexión



## Reflexión especular

- ◆ Ecuación de la reflexión



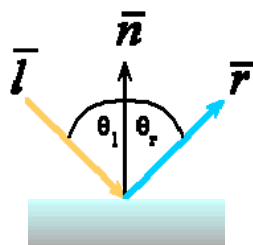
$$L_r(x, \omega_r) = \int_{H^2} f_r(x, \omega_i \rightarrow \omega_r) L_i(x, \omega_i) \cos \theta_i d\omega_i$$



## Reflexión especular

- ◆ El rayo, la normal y el rayo reflejado pertenecen al mismo plano
- ◆ Ley de Snell:

$$n_i \sin \theta_i = n_r \sin \theta_r$$

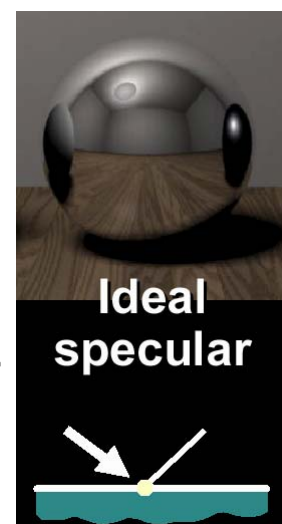
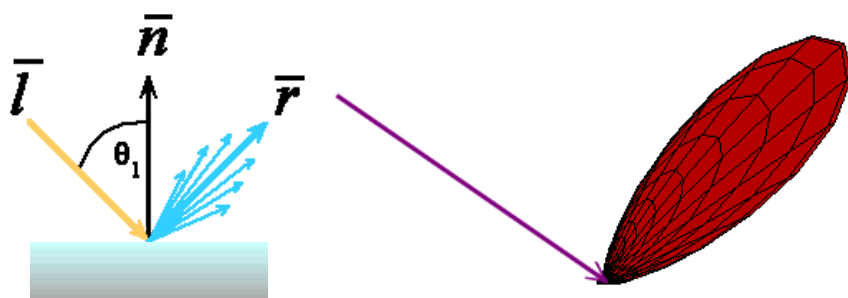


- ◆ La reflexión especular cumple que  $\theta_i = \theta_r$



## Reflexión especular

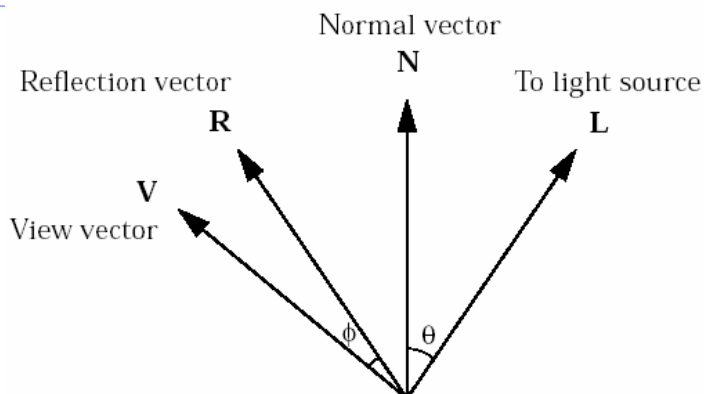
- ◆ Ningún material real es especular perfecto
- ◆ Imperfecciones en la superficie hacen que los rayos reflejados se dispersen a partir de la dirección teórica



- ◆ Introducimos ahora un modelo empírico para calcular el reflejo especular: **Phong**



## Modelo de iluminación de Phong



### ◆ Introducimos más notación:

- **N** es la normal a la superficie
- **L** es la dirección hacia la fuente de luz
- **V** es la dirección hacia el punto de vista
- **R** es la dirección de la reflexión especular ideal
- Como veremos, la intensidad de la reflexión especular depende del ángulo entre **V** y **R**

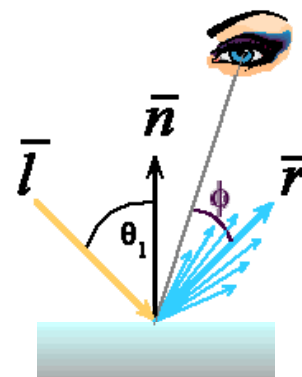


## Modelo de iluminación de Phong

- ◆ Aviso de antemano: no confundir con el *modelo de interpolación de Phong*
- ◆ El modelo de iluminación de Phong es heurístico, sin base física...
- ◆ ...y uno de los más utilizados en CG

$$I_{\text{specular}} = I_{\text{light}} (\cos \phi)^{n_{\text{shiny}}}$$

- ◆ El término  $\cos \phi$  es máximo cuando la superficie se mira desde la dirección especular, y cae a 0 cuando se mira a  $90^\circ$  de esa dirección. El término  $n_{\text{shiny}}$  controla ese decaimiento

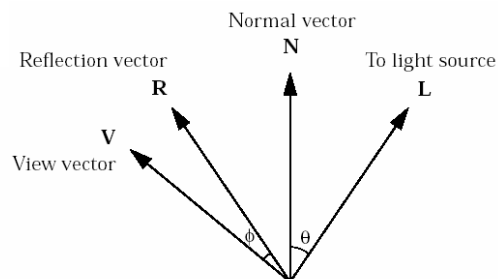
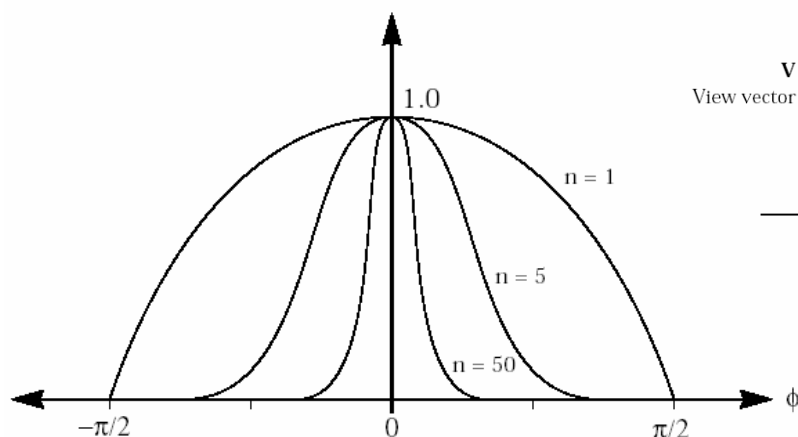




## Modelo de iluminación de Phong

◆ La  $n$  (o  $n_{shiny}$ ) depende de la superficie:

- Reflector ideal:  $n = \textit{infinito}$
- Reflector casi nulo (una esponja):  $n = 1$
- En la práctica  $n[1..200]$



Diego Gutiérrez y Francisco J. Serón



## Modelo de iluminación de Phong

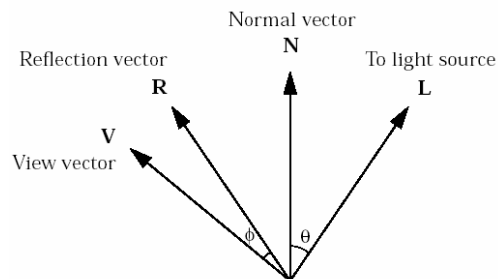
◆ Podemos evaluar el  $\cos \phi$  vectorialmente:

- $\cos \phi = \mathbf{R} \cdot \mathbf{V}$  (ya que ambos vectores son unitarios)

◆ La reflexión especular también depende de  $\theta$

◆ Luego tenemos que:

$$I_s \propto W(\theta) (\mathbf{R} \cdot \mathbf{V})^n$$



◆ En la práctica, se reemplaza  $W(\theta)$  por  $K_s$

◆  $K_s$  es el **coeficiente de reflexión especular**

◆  $K_s[0..1]$

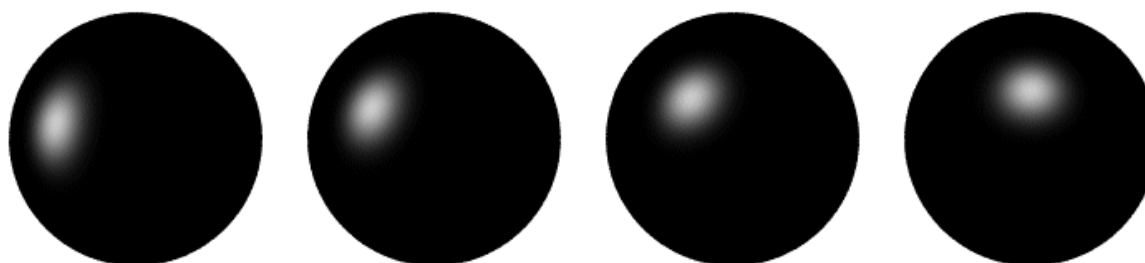


Diego Gutiérrez y Francisco J. Serón



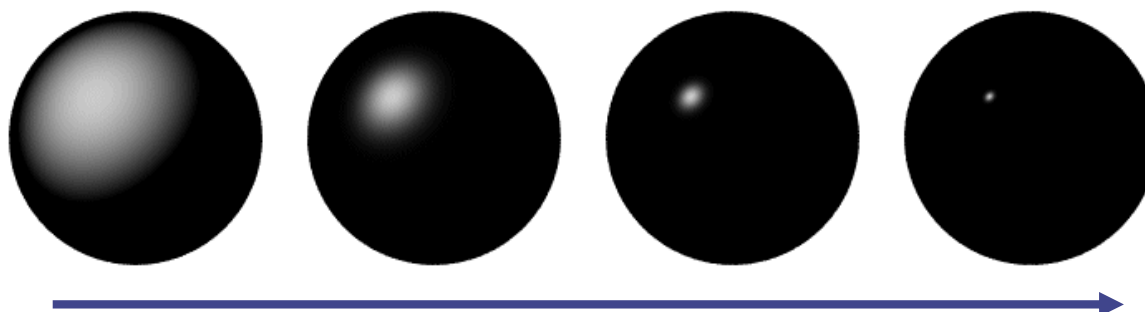
## Modelo de iluminación de Phong

- ◆ Reflexiones especulares (modelo de Phong) con  $n$  cte. y variando la posición de la fuente de luz



## Modelo de iluminación de Phong

- ◆ Reflexiones especulares (modelo de Phong) aumentando  $n$  y manteniendo la posición de la fuente de luz fija







## Tercer modelo de iluminación

- ◆ Teníamos:

$$I = \text{ambient} + \text{diffuse}$$

$$I = k_d I_a + k_d I_p (\mathbf{N} \cdot \mathbf{L})$$

- ◆ Seguimos completando el modelo:

$$I = \text{ambient} + \text{diffuse} + \text{specular}$$

$$I = k_d I_a + I_p [k_d (\mathbf{N} \cdot \mathbf{L}) + k_s (\mathbf{R} \cdot \mathbf{V})^n]$$



## Tercer modelo de iluminación

- ◆ Ejemplos:

>  $K_d=0.4$

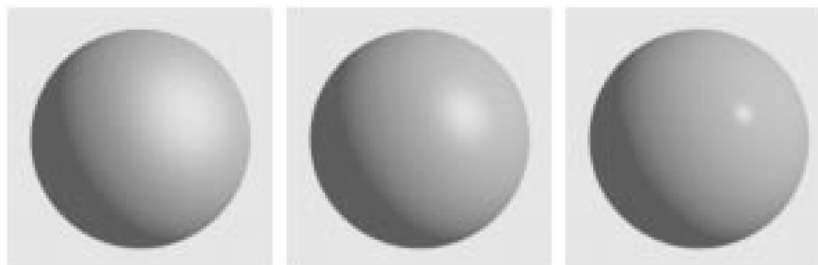
$I_a=0.2I_p$

$n=3$

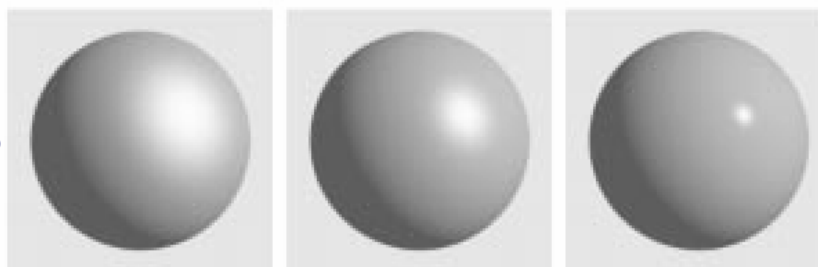
$n=10$

$n=100$

$K_s=0.25$



$K_s=0.5$





## Tercer modelo de iluminación

- ◆ La intensidad de luz de una fuente decae con la distancia al cuadrado:

$$\gt I = I_p / (4\pi d^2)$$

- ◆ Esto suele sustituirse por la siguiente fórmula experimental:

$$\gt I = I_p / (d + d_0)$$

...donde  $d_0$  es una constante determinada experimentalmente

- ◆ De nuevo un truco empírico (*hack*) sustituye a un modelo del fenómeno físico
- ◆ Hay muchas "constantes determinadas experimentalmente" en CG



## Cuarto modelo de iluminación

- ◆ Por modelos será: introducimos la atenuación de la luz con la distancia y tenemos:

$$I = k_d I_a + \frac{I_p}{d + d_0} [k_d (\mathbf{N} \cdot \mathbf{L}) + k_s \cos^n \phi]$$

- ◆ O en forma vectorial (vectores normalizados!)

$$I = k_d I_a + \frac{I_p}{d + d_0} [k_d (\mathbf{N} \cdot \mathbf{L}) + k_s (\mathbf{R} \cdot \mathbf{V})^n]$$

- ◆ Si hay más de una luz:

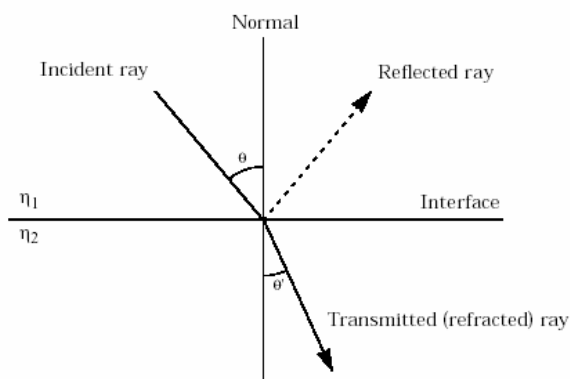
$$I = \text{ambient term} + \sum_{i=1}^n \text{diffuse term}_i + \sum_{i=1}^n \text{specular term}_i$$



## Transparencia

- ◆ Recordemos la Ley de Snell:

$$n_1 \sin \theta_i = n_2 \sin \theta_r$$



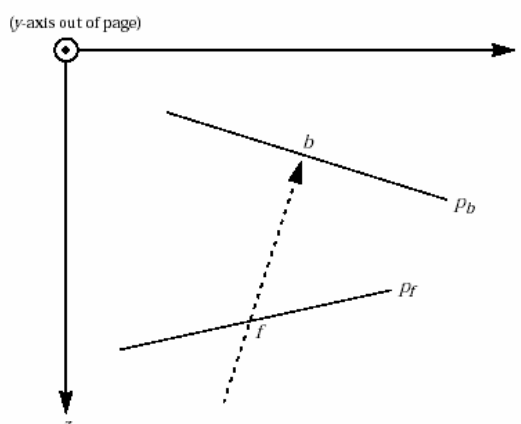
## Transparencia

- ◆ Transparencia sin refracción:

- $t$  es el **coeficiente de transmisión**
- Objeto opaco:  $t=1$ ; Objeto transparente:  $t=0$
- $t$  puede ser función del color (ventana de una iglesia)

- ◆ En el ejemplo, la intensidad observada sería:

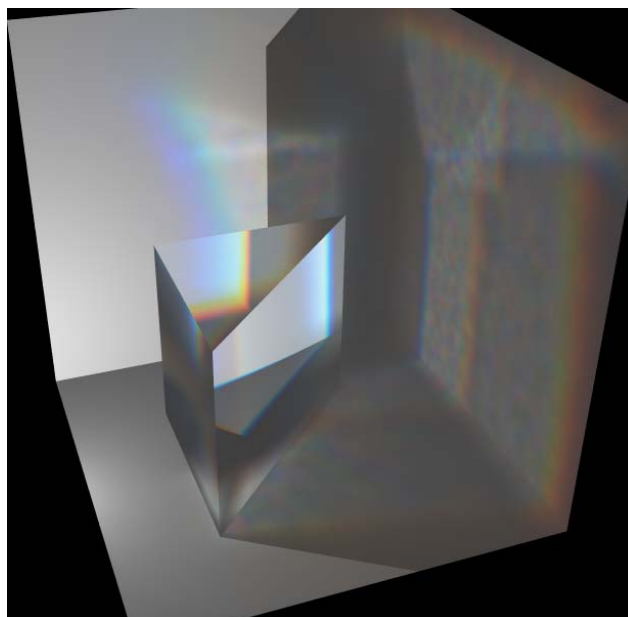
- $I = tI_f + (1-t)I_b$





## Dispersión

- ◆ El índice de refracción  $n$  es  $f(\lambda)$ : **dispersión**



## Color

- ◆ De momento no hemos considerado el color, sólo hemos hablado de intensidades de luz
- ◆ El modelo de color más utilizado en CG es el RGB (lo cual no implica que sea el mejor, ni siquiera el segundo mejor...)
- ◆ *Desacoplamos entonces la solución en tres longitudes de onda linealmente independientes*

# Qué?



## Color

- ◆ Desacoplamos entonces la solución en tres longitudes de onda linealmente independientes:

- R,G,B

- Para el Rojo:

$$I_R = k_{dR} I_{aR} + \frac{I_{pR}}{d+d_0} [k_{dR} (\mathbf{N} \cdot \mathbf{L}) + k_s (\mathbf{R} \cdot \mathbf{V})^n]$$

- Se ve cómo mantenemos la suposición de que el *highlight* especular es del color de la fuente

- ◆ Modelos espectrales más complejos dan mejores soluciones:

$$I_\lambda = k_{d\lambda} I_{a\lambda} + \frac{I_{p\lambda}}{d+d_0} [k_{d\lambda} (\mathbf{N} \cdot \mathbf{L}) + k_s (\mathbf{R} \cdot \mathbf{V})^n]$$

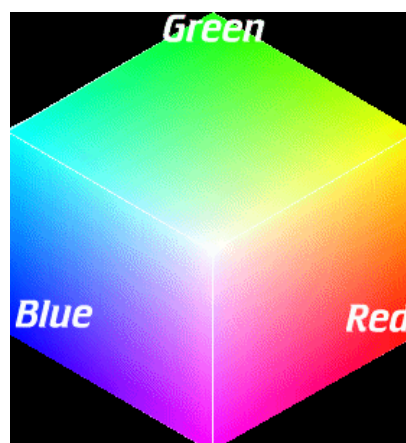


## Color

- ◆ Al trabajar en RGB, los valores obtenidos [0..255] pueden mapearse directamente a los canales RGB de un monitor

- ◆ ¿Y qué pasa si sobrepasamos el valor máximo?

- ◆ *Reproducción de tono*



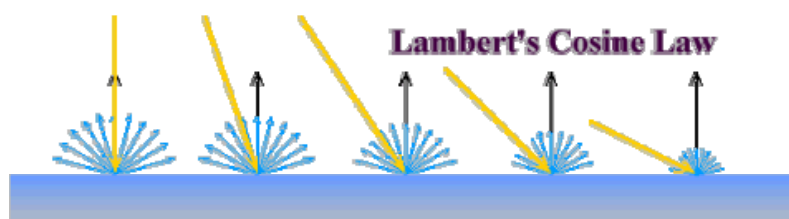
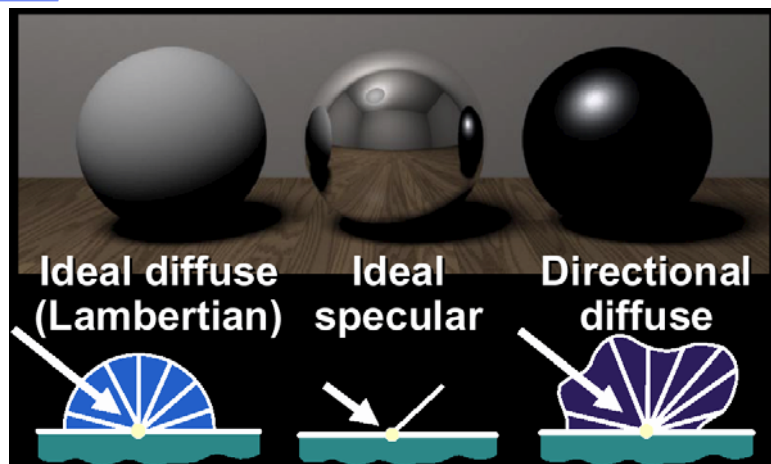


## Modelado Visual y Animación

# Modelos de Iluminación Local (in a nutshell)

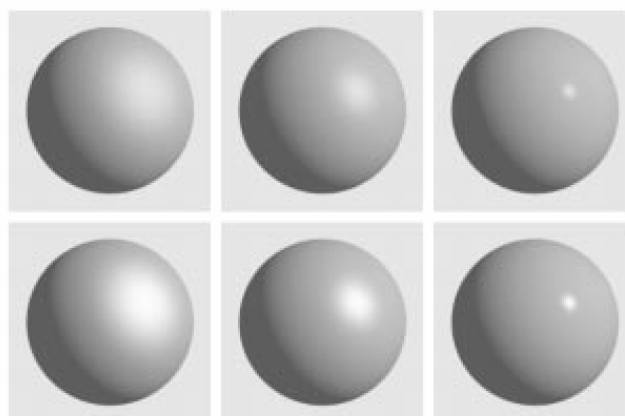
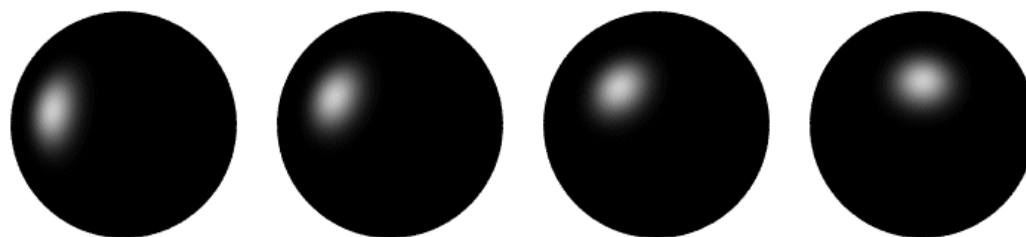
Diego Gutiérrez y Francisco J. Serón

## Iluminación local (in a nutshell)

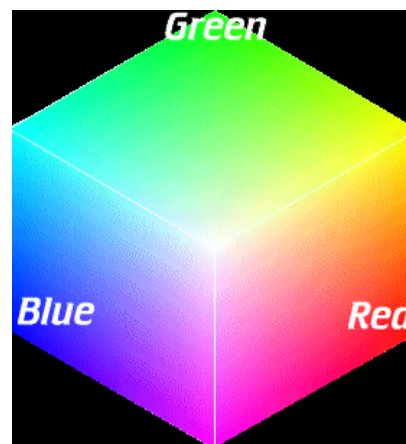
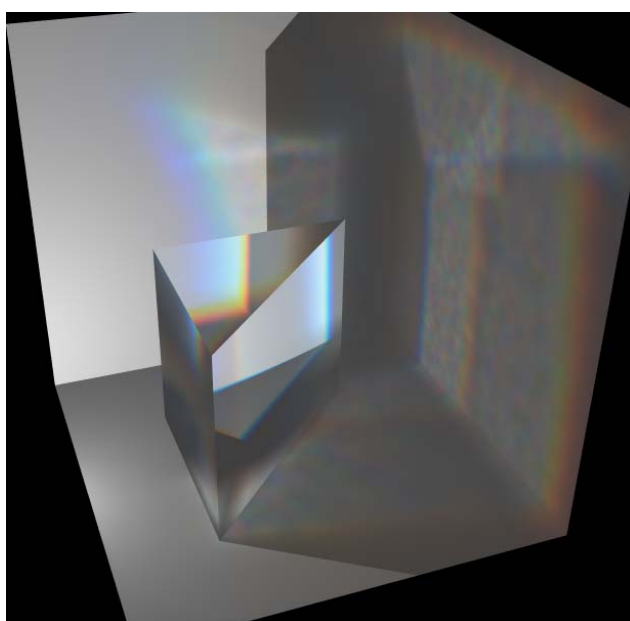


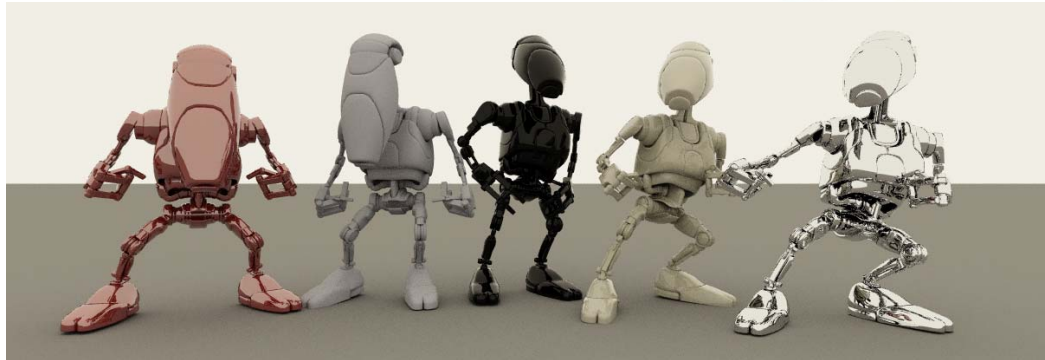


## Illuminación local (in a nutshell)



## Illuminación local (in a nutshell)





## Shading

Diego Gutiérrez y Francisco J. Serón

### Indice

- ◆ Sombreado de polígonos
- ◆ Sombreado plano
- ◆ Sombreado de Gouraud
- ◆ Sombreado de Phong
- ◆ *Cheap Phong*
- ◆ Coste computacional







## Sombreado de polígonos

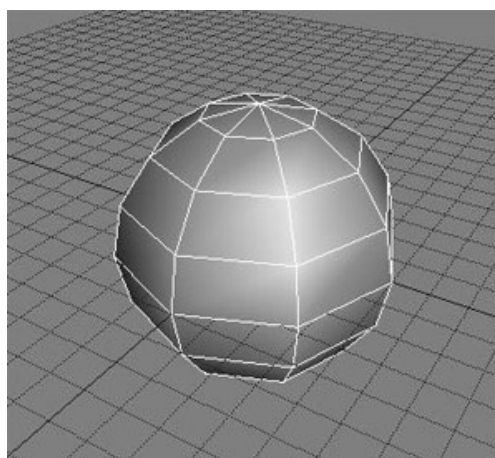
- ◆ *Shading* = sombreado
- ◆ La mayoría de renderizadores trabajan sobre polígonos
- ◆ La mayoría de los objetos se representan como polígonos
- ◆ La mayoría de los algoritmos están pensados para polígonos
- ◆ Los aceleradores gráficos trabajan sobre polígonos

- ◆ Conclusión:

*Los polígonos son tus amigos*

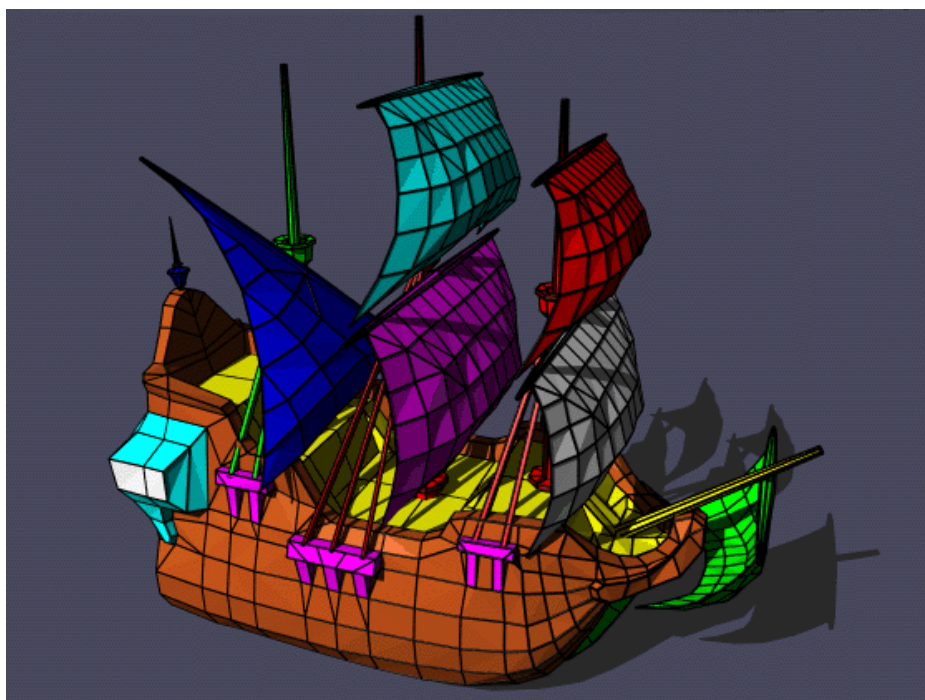


## Sombreado de polígonos

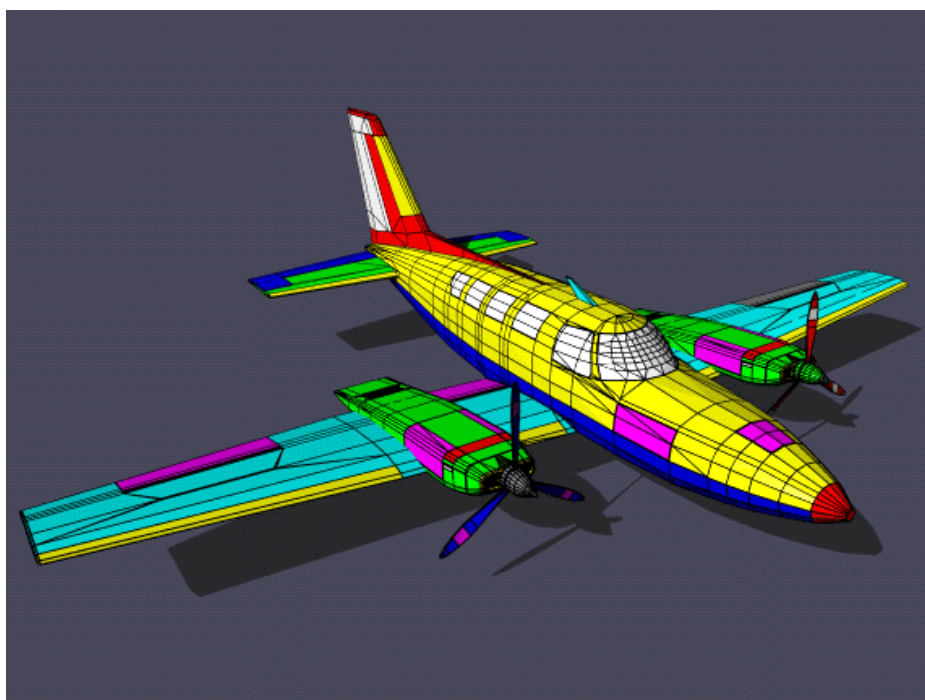




## Sombreado de polígonos



## Sombreado de polígonos





## Sombreado de polígonos

- ◆ Los modelos de iluminación que hemos desarrollado calculan la intensidad de la luz **en un punto aislado** de la superficie
- ◆ ¿Cómo lo calculamos **para todo el polígono**?
- ◆ Diferentes enfoques:
  - Repetimos el cálculo para todos los puntos del polígono (innecesario, poco práctico, nada inteligente)
  - *Flat shading*: calculamos en un punto del polígono (generalmente el centroide) y con el valor obtenido pintamos todo el polígono
  - *Gouraud y Phong*: calculamos en puntos clave del polígono (vértices) e interpolamos



## Flat shading (sombreado constante)

- ◆ En inglés, a.k.a *constant shading*
- ◆ El método más rápido y sencillo
- ◆ El método menos realista
- ◆ *No pain, no gain*
- ◆ El centroide (o centro de gravedad) no tiene por qué caer en el polígono (centroide de un donuts?)

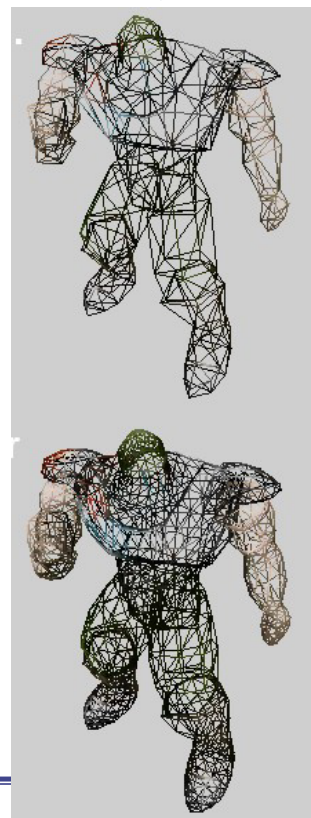


$$\text{centroid} = \frac{1}{\text{vertices}} \sum_{i=1}^{\text{vertices}} \bar{P}_i$$



## Flat shading (sombreado constante)

- ◆ En realidad, para fuentes puntuales, la dirección de la fuente de luz no es constante sobre todo el polígono
- ◆ Para reflejos especulares, la dirección del ojo tampoco
- ◆ Esto hace que la estructura poligonal interna se haga evidente
- ◆ Podemos refinar más la malla para disimularla un poco



## Mach banding

- ◆ Además, aparece el problema del *Mach banding*
  - El sistema visual es muy bueno detectando aristas... aunque éstas no existan!
  - Discontinuidades C1
  - Esto hace que las diferencias de sombreado entre polígonos parezcan todavía mayores
  - Y aunque usáramos el horriblemente ineficiente método de calcular en cada punto del polígono, el resultado sería pobre



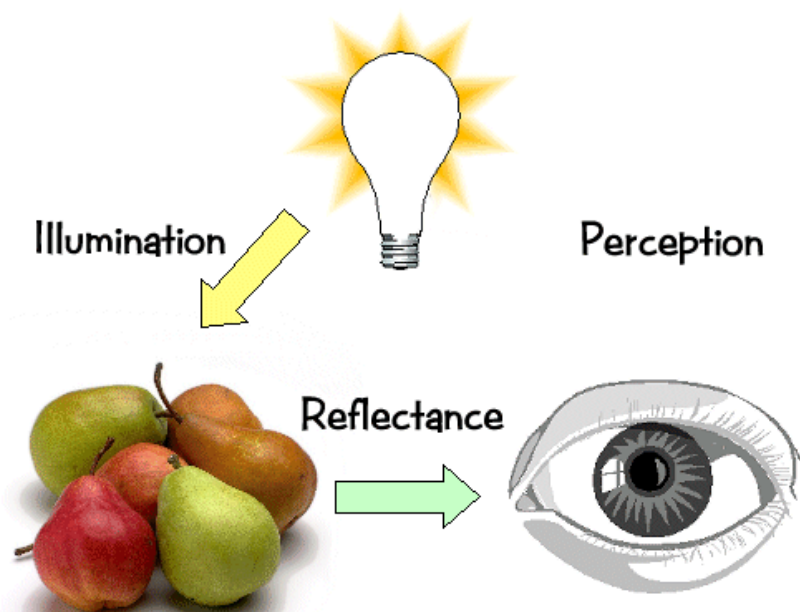


## Mach banding



## Mach banding

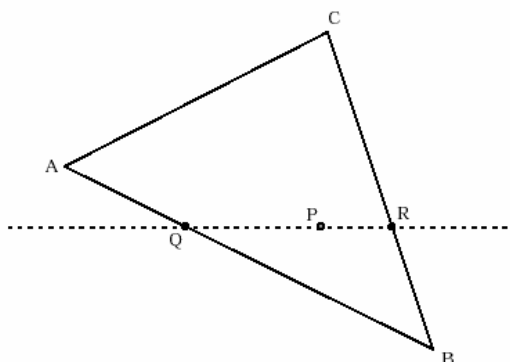
- ◆ (Un ejemplo más de que no todo es interacción luz-materia...)





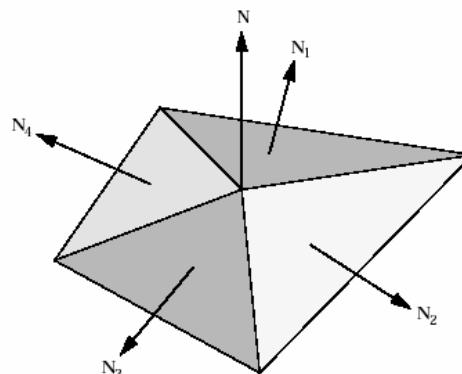
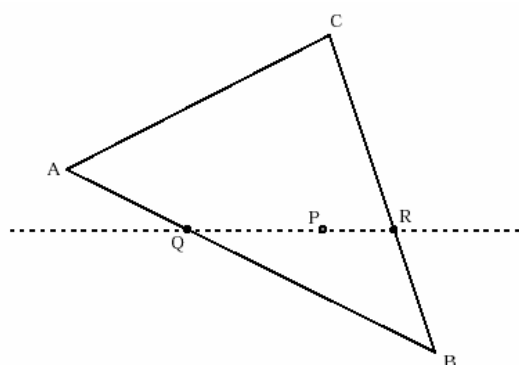
## Interpolación

- ◆ Para eliminar estos efectos de *banding* y discontinuidad en el sombreado, vamos a aplicar distintas técnicas de interpolación
- ◆ El problema a resolver es: dado un polígono y una *scanline*, determinar la intensidad de un punto P interior



## Sombreado de Gouraud

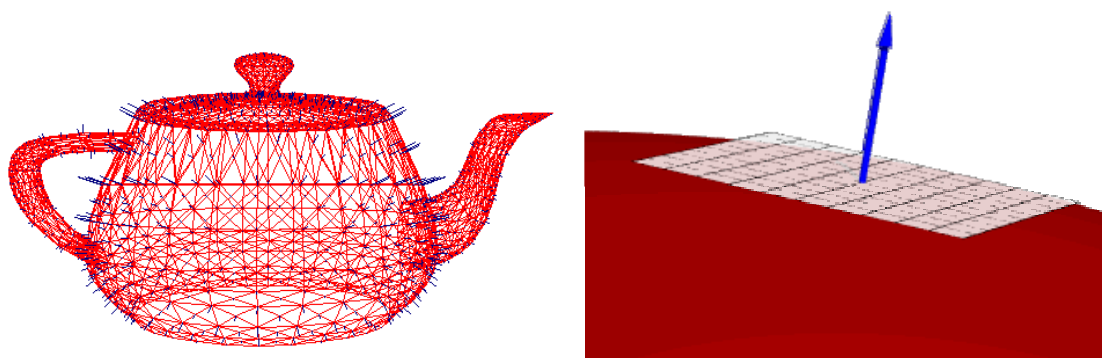
- ◆ *Gouraud shading* se basa en interpolar las intensidades obtenidas en cada vértice
- ◆ Primero calculamos esa intensidad en A,B,C
  - Necesitamos calcular la normal en cada vértice
  - La aproximamos promediando la normal a la superficie en los polígonos que comparten ese vértice





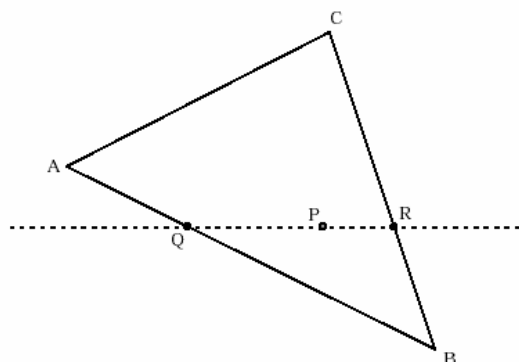
## Sombreado de Gouraud

- Equivale a hallar la normal a la superficie *real* que aproximan los polígonos, asumiendo que éstos son una aproximación *piecewise* de la superficie real (C0)
- Las normales proporcionan información sobre el plano tangente a la superficie en cada punto (C1)
- Las normales en los vértices se usan sólo para iluminación (no *backface culling* u otros cálculos geométricos)



## Sombreado de Gouraud

- ◆ Primero calculamos la intensidad en Q y R (intersección del *scan-line* con el polígono)
- ◆ Y luego interpolamos entre  $I_Q$  e  $I_R$  para obtener  $I_P$



$$I_Q = uI_B + (1 - u)I_A \quad \text{where } u = \frac{AQ}{AB}$$

$$I_R = wI_B + (1 - w)I_C \quad \text{where } w = \frac{CR}{CB}$$

$$I_P = vI_R + (1 - v)I_Q \quad \text{where } v = \frac{QP}{QR}$$



## Sombreado de Gouraud

- ◆ Pequeño *hack*: usar cálculo incremental para acelerar. Para dos píxeles  $p_1$  y  $p_2$  situados sobre  $v_1$  y  $v_2$  respectivamente en la *scanline*, tenemos que: 
$$I_{p_2} = v_2 I_R + (1 - v_2) I_Q$$

and

$$I_{p_1} = v_1 I_R + (1 - v_1) I_Q$$

Subtracting  $I_{p_1}$  from  $I_{p_2}$  gives

$$I_{p_2} = I_{p_1} + (I_R - I_Q) (v_2 - v_1)$$

Writing  $(I_R - I_Q)$  as  $\Delta I$  and  $(v_2 - v_1)$  as  $\Delta v$ , we have

$$I_{p_2} = I_{p_1} + \Delta I \Delta v$$

- ◆ ...con lo que sólo hace falta calcular  $\Delta I$  y  $\Delta v$  una vez por *scanline*, reduciendo los cálculos por pixel a una suma



## Sombreado de Gouraud

- ◆ Las discontinuidades entre polígonos adyacentes desaparecen (la intensidad "al final de un polígono" a la que llegamos interpolando será la intensidad "al comienzo del polígono siguiente")







## Sombreado de Gouraud

- ◆ Problemas de Gouraud:
  - Las aristas tienden a desaparecer
  - Los reflejos especulares pueden perderse si caen dentro de un solo polígono
  - Como hemos visto, las bandas de Mach no se eliminan del todo
- ◆ Para "recuperar" una arista que queremos que sea visible, calculamos dos normales al vértice, una para cada lado. Cada normal se halla promediando las normales a la superficie de los polígonos del lado correspondiente



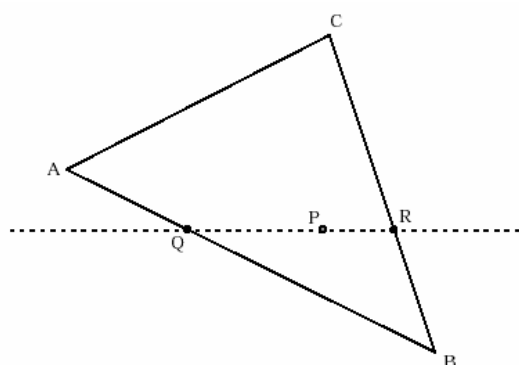
## Sombreado de Phong

- ◆ No confundir con el modelo de iluminación de Phong
- ◆ Interpolamos linealmente las normales de la superficie a lo largo del polígono (no las intensidades como Gouraud)
- ◆ Aparte de eso, el concepto es similar:

$$\mathbf{n}_Q = u\mathbf{n}_B + (1-u)\mathbf{n}_A$$

$$\mathbf{n}_R = w\mathbf{n}_B + (1-w)\mathbf{n}_C$$

$$\mathbf{n}_P = v\mathbf{n}_R + (1-v)\mathbf{n}_Q$$





## Sombreado de Phong

- ◆ Una vez interpoladas las normales, se aplica el modelo de iluminación con la normal interpolada, para hallar la intensidad de luz en el punto requerido



- ◆ Apariencia más real. Los reflejos especulares se capturan mejor. Las bandas de Mach se reducen
- ◆ Requiere más cálculos (un cálculo de iluminación completo por cada interpolación)



## Cheap Phong

- ◆ **0 interpolación mediante el producto escalar**
- ◆ Es un compromiso entre interpolación de intensidades (Gouraud) y de normales (Phong)
- ◆ Las magnitudes a interpolar entre los extremos de una *scanline* son los productos escalares  $\mathbf{N} \cdot \mathbf{L}$  y  $(\mathbf{R} \cdot \mathbf{V})^n$



## Coste computacional

- ◆ Cálculos por polígono.

$$I = k_d I_a + \frac{I_p}{d+d_0} [k_d (\mathbf{N} \cdot \mathbf{L}) + k_s (\mathbf{R} \cdot \mathbf{V})^n]$$

- ◆ Flat shading:

- Una sola vez

- ◆ Gouraud

- $\sum_{\text{scanlines}}$  pixels por scanline (Todo el modelo)

- ◆ Cheap Phong

- $\sum_{\text{scanlines}}$  pixels por scanline ( $\mathbf{N} \cdot \mathbf{L}$  y  $\mathbf{R} \cdot \mathbf{V}$ )

- $\sum_{\text{scanlines}}$  pixels por scanline (Todo el modelo)

- ◆ Phong

- $\sum_{\text{scanlines}}$  pixels por scanline ( $\mathbf{N}$ )

- $\sum_{\text{scanlines}}$  pixels por scanline ( $\mathbf{N} \cdot \mathbf{L}$  y  $\mathbf{R} \cdot \mathbf{V}$ )

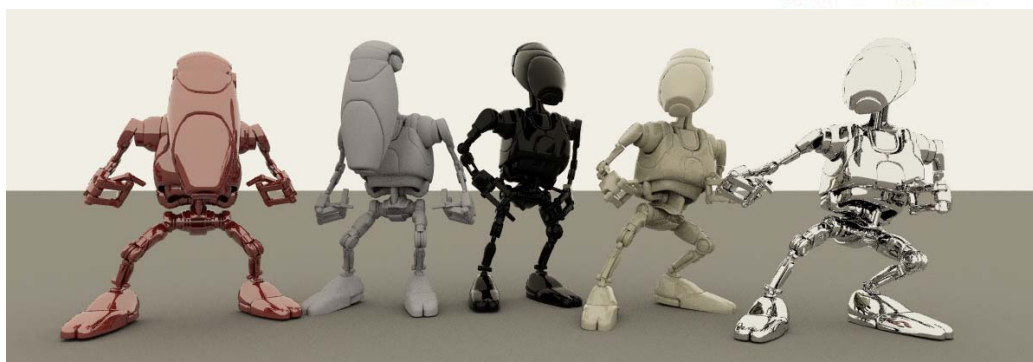
- $\sum_{\text{scanlines}}$  pixels por scanline (Todo el modelo)



Diego Gutiérrez y Francisco J. Serón



Grupo de Informática Gráfica Avanzada  
Universidad de Zaragoza



## Modelado Visual y Animación

## Shading (in a nutshell)

Diego Gutiérrez y Francisco J. Serón



## Shading (in a nutshell)



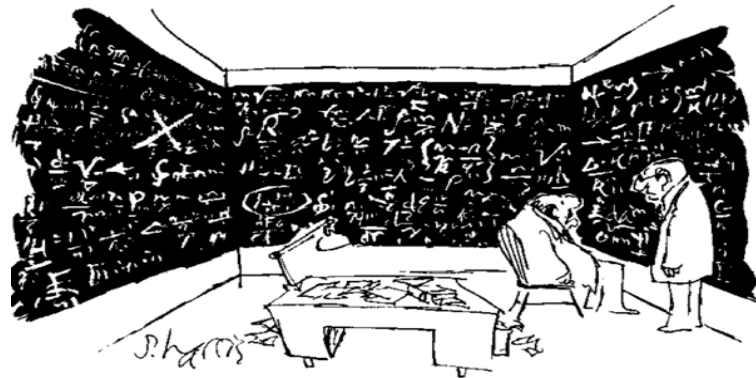
## Shading (in a nutshell)



- ◆ Hemos obtenido un modelo local de iluminación que incluye:
  - Fuentes puntuales
  - Reflexión difusa
  - Reflexión especular
- ◆ El modelo no incluye:
  - Fuentes de área
  - Reflexiones indirectas (especular-especular; especular-difuso; difuso-especular; difuso-difuso)
- ◆ Estas reflexiones indirectas se simulan con la iluminación ambiental (puagh!)
- ◆ Los modelos poligonales pueden simular la apariencia de superficies curvas
- ◆ Hemos modelado el color con tres muestras (RGB)



GIGA



"Whatever happened to *elegant* solutions?"

## Iluminación Global

Diego Gutiérrez y Francisco J. Serón

### Indice

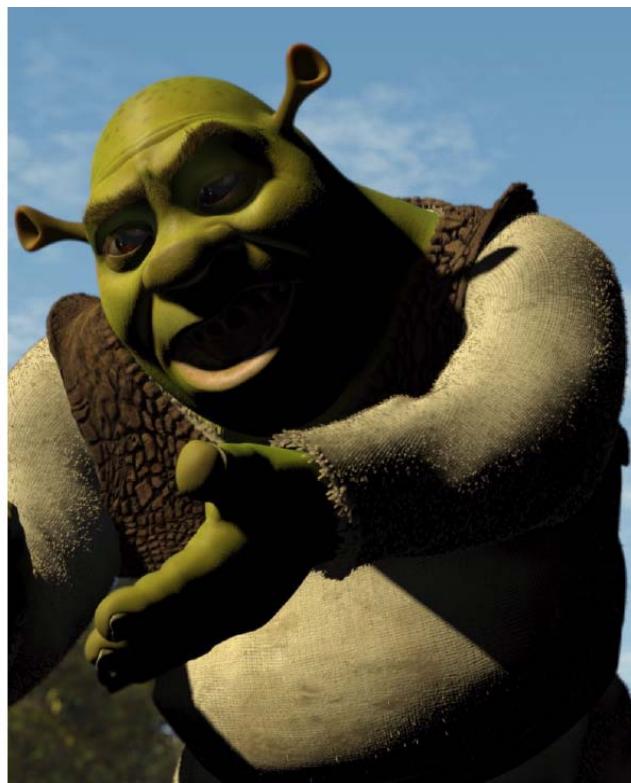
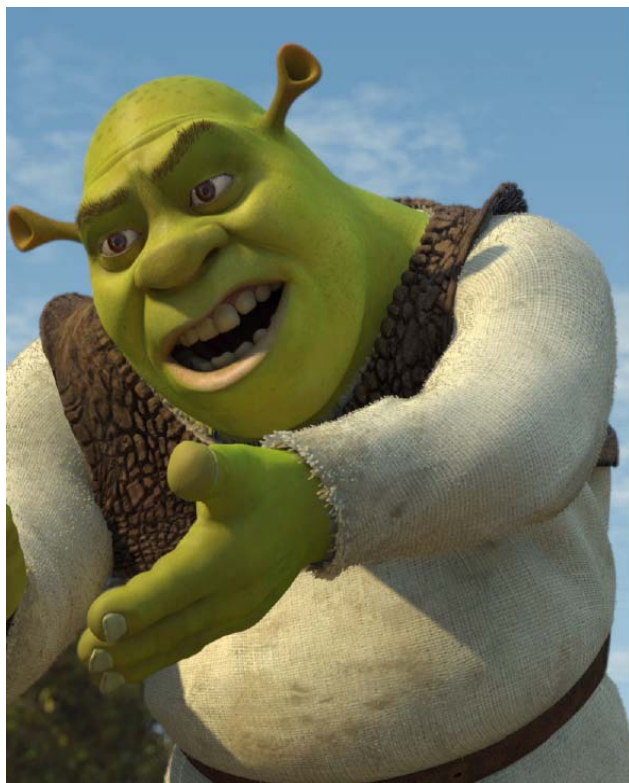
- ◆ Qué es Iluminación Global
- ◆ Introducción a varios algoritmos de IG



© 2001 Tobias Dahlén • tobias@rithuset.se



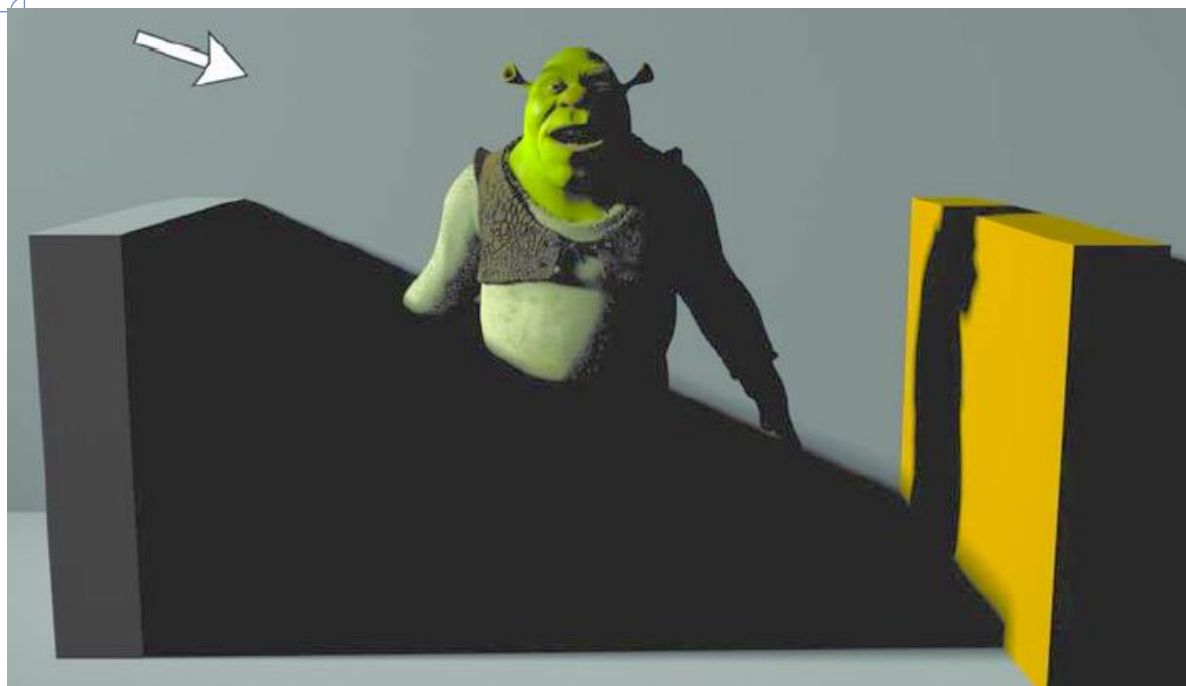
## Qué es Iluminación Global



Diego Gutiérrez y Francisco J. Serón



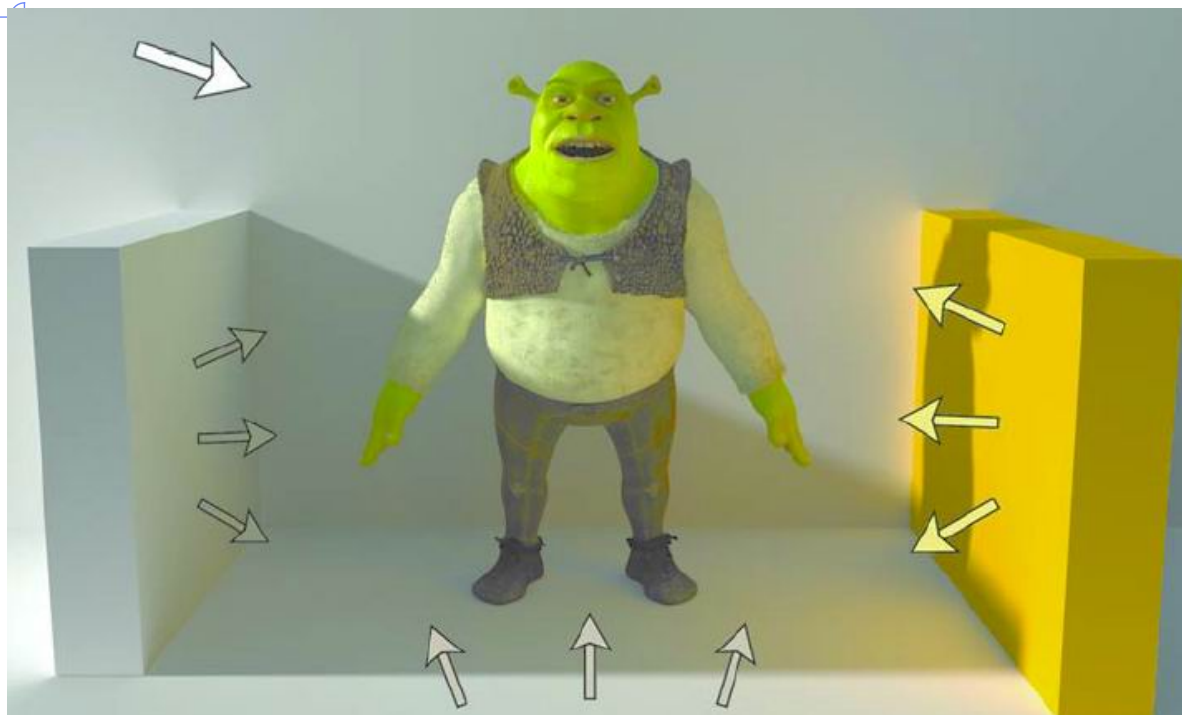
## Qué es Iluminación Global



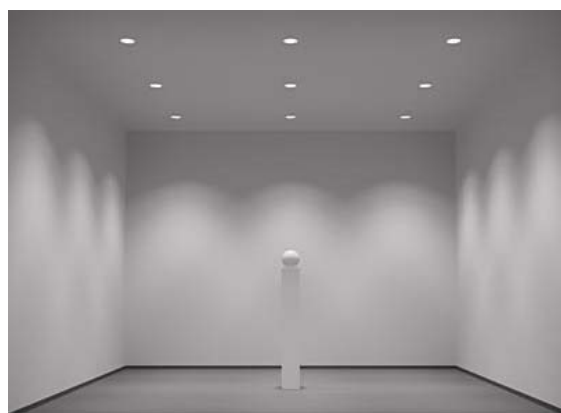
Diego Gutiérrez y Francisco J. Serón



## Qué es Iluminación Global



## Qué es Iluminación Global





# Qué es Iluminación Global



Diego Gutiérrez y Francisco J. Serón



# Qué es Iluminación Global



Diego Gutiérrez y Francisco J. Serón





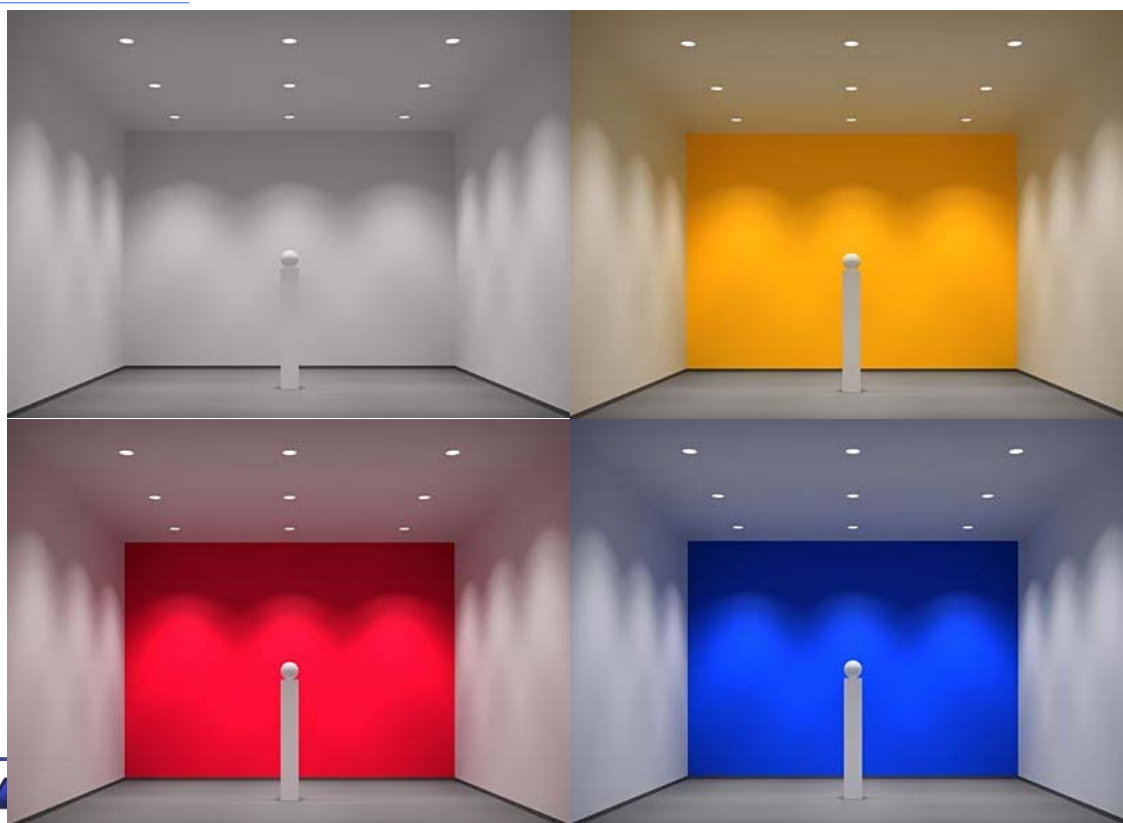
## Qué es Iluminación Global



Diego Gutiérrez y Francisco J. Serón



## Qué es Iluminación Global





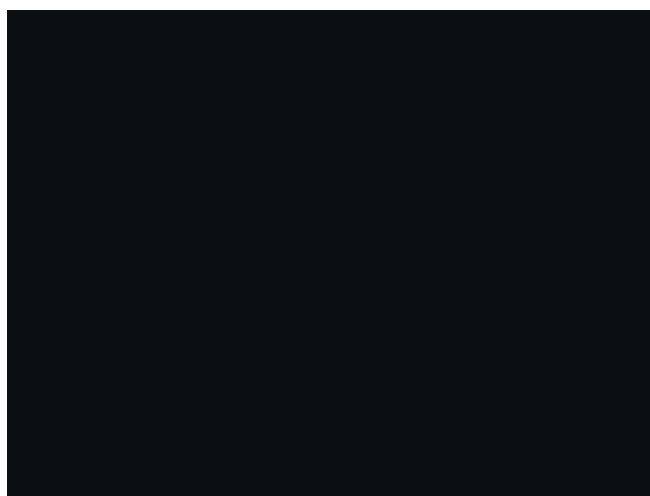
## Qué es Iluminación Global

- ◆ Monte Carlo = RUIDO!



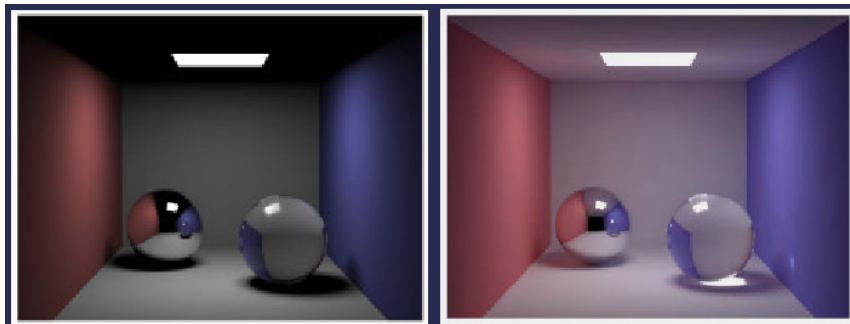
## Qué es Iluminación Global

- ◆ Ejemplo con photon mapping [Wann Jensen]





## Qué es Iluminación Global



### ◆ Iluminación directa

- Fuentes de luz discretas
- Cálculos de iluminación eficientes basados en vectores de luz y superficies (trucos!)

### ◆ Iluminación indirecta

- Luz reflejada, dispersada, cáusticas...
- Cálculos basados en la física del transporte de luz en la escena
- BRDF's (*Bidireccional Reflective Distribution Function*)



## Qué es Iluminación Global

### ◆ (Esto es una cáustica)



HENRIK MØRINI-JENSEN, 1995



## Luz indirecta

- ◆ Museo de Arte Moderno de San Francisco



## Luz indirecta

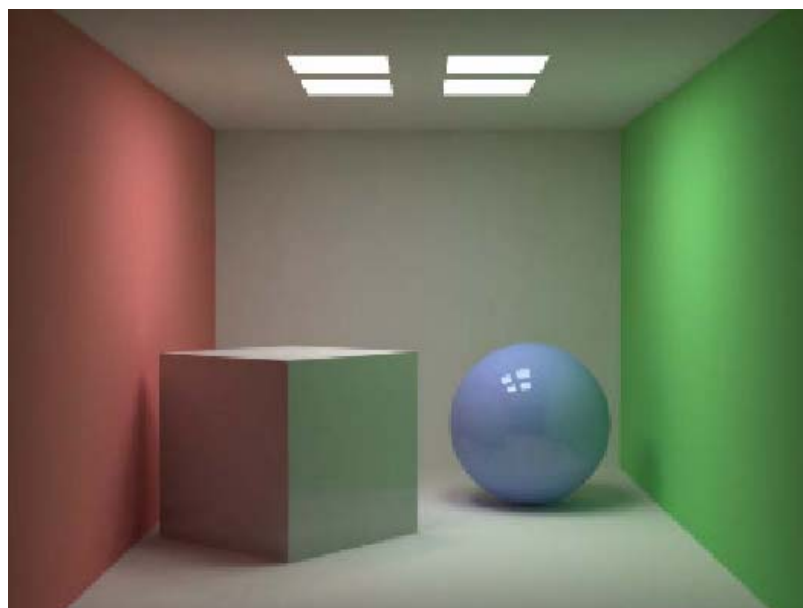
- ◆ *Color bleed*





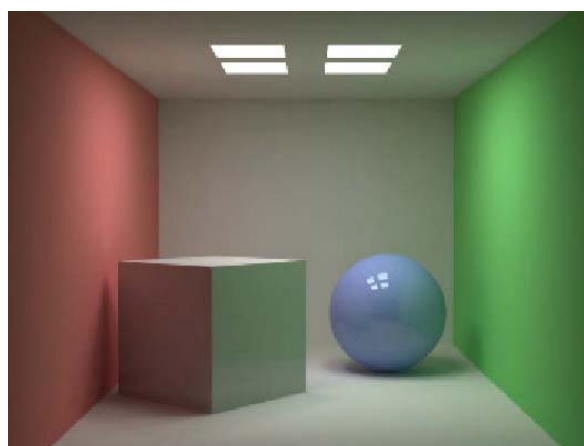
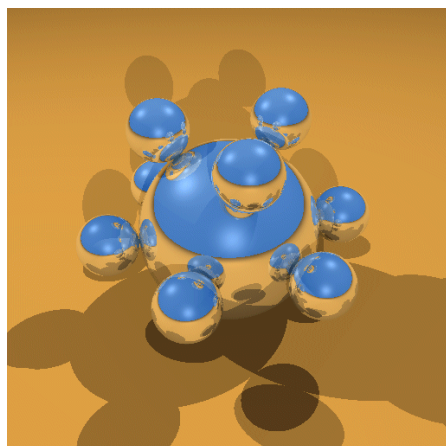
## Luz indirecta

### ◆ *Color bleed*

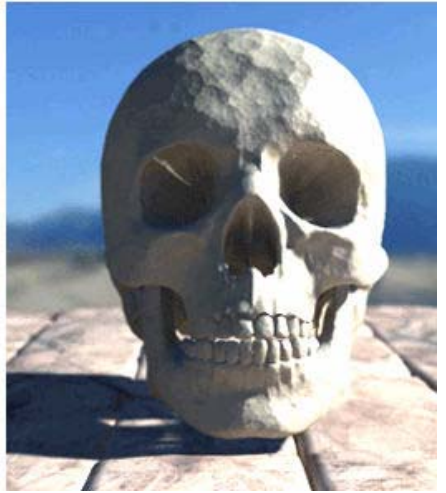


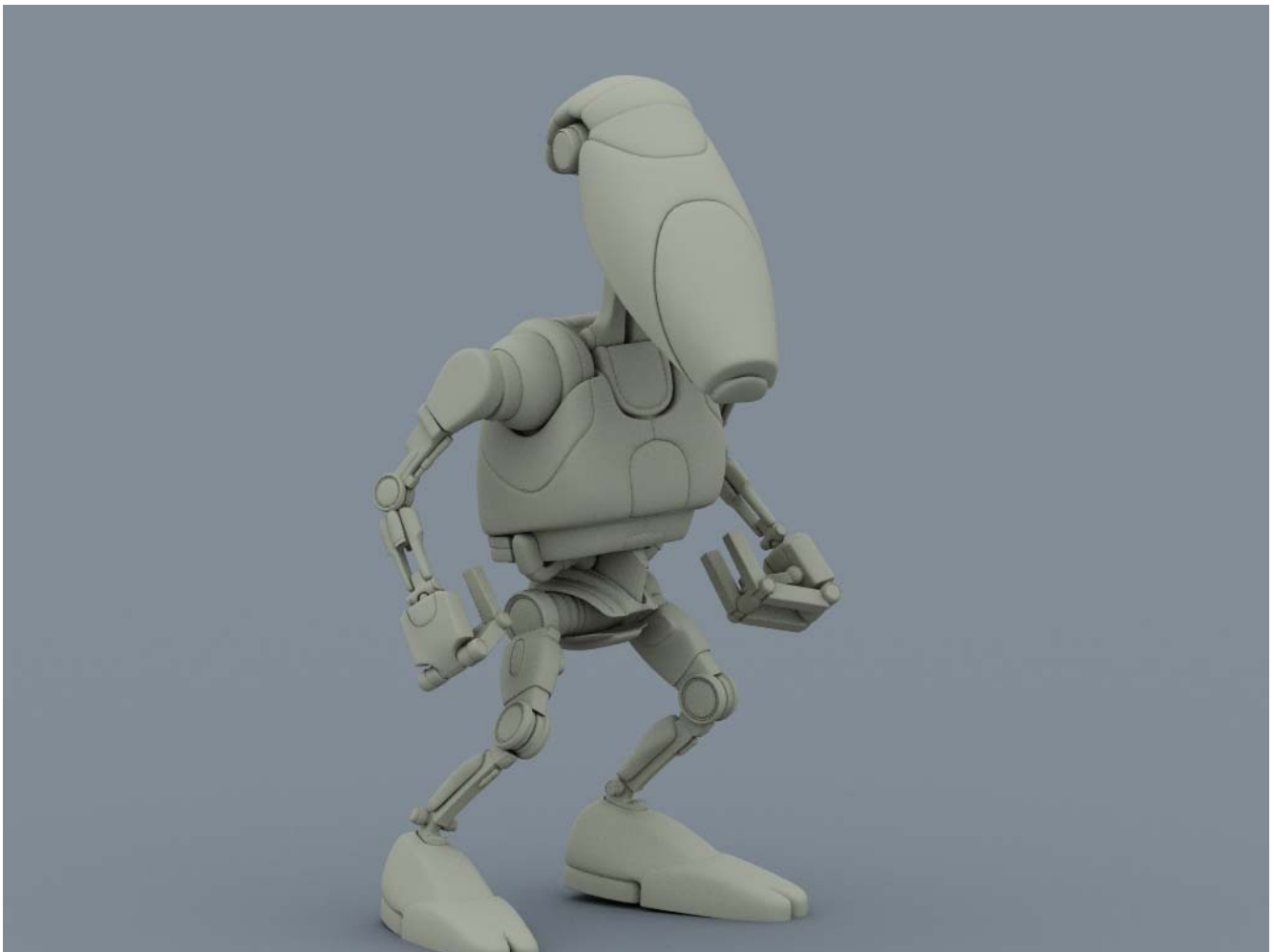
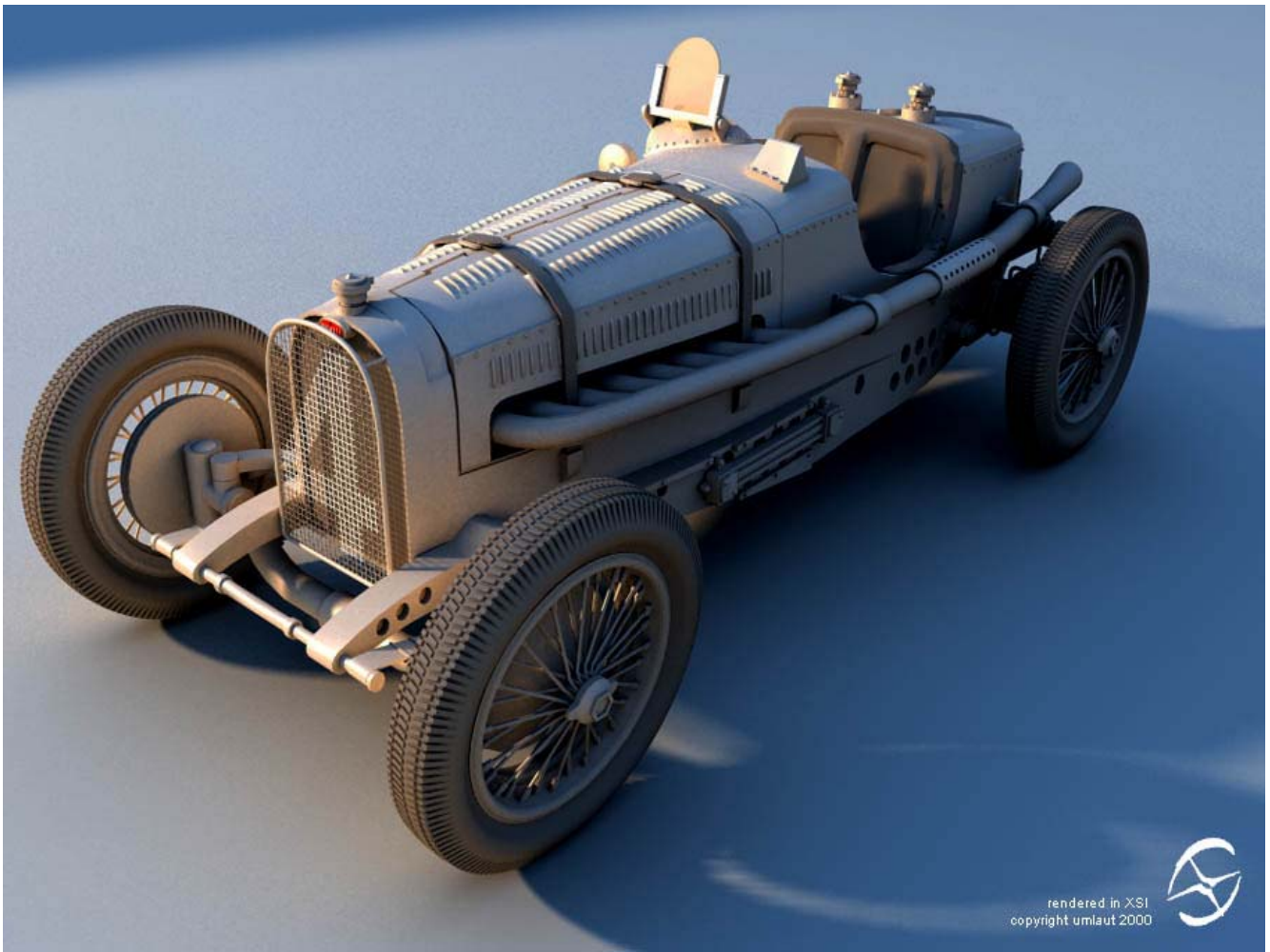
## Luz indirecta

### ◆ Comparando con modelos locales, la mejora es evidente



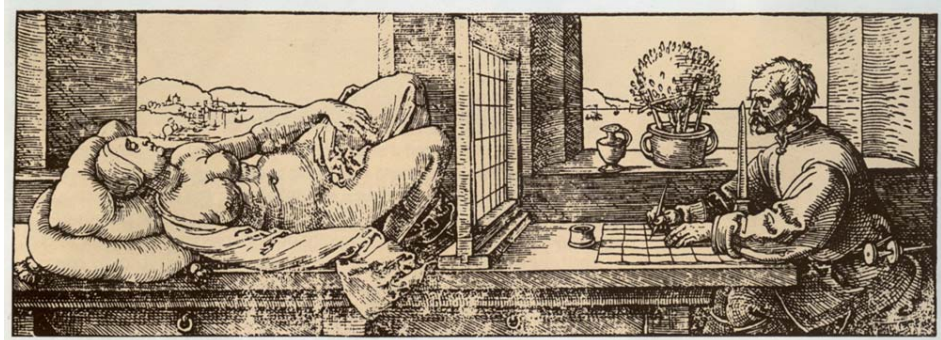
### ◆ Decid adiós a las bolas de navidad de los años 80...









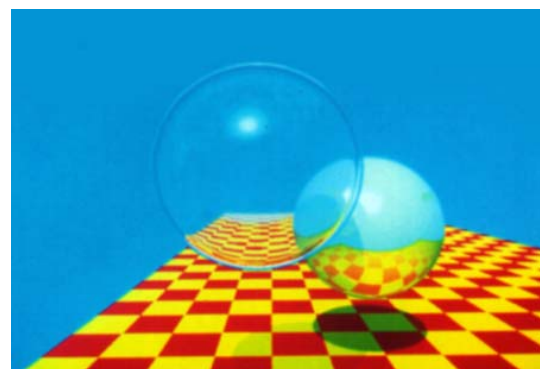


# Ray Tracing

Diego Gutiérrez y Francisco J. Serón

## Indice

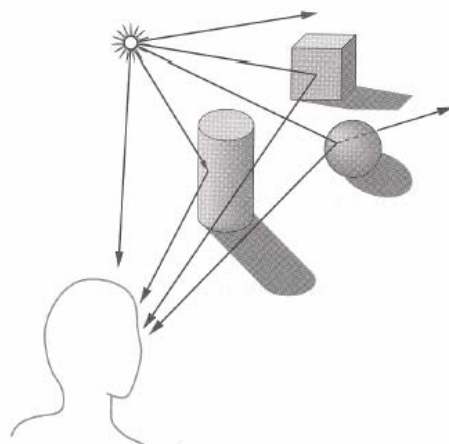
- ◆ Ray tracing: la idea
- ◆ Esquema del algoritmo
- ◆ Ejemplos
- ◆ Características
- ◆ Procedimiento
- ◆ Sombras
- ◆ Estructura de árbol
- ◆ Intersecciones





## Ray tracing: la idea

- ◆ En la vida real: de la luz al objeto al ojo

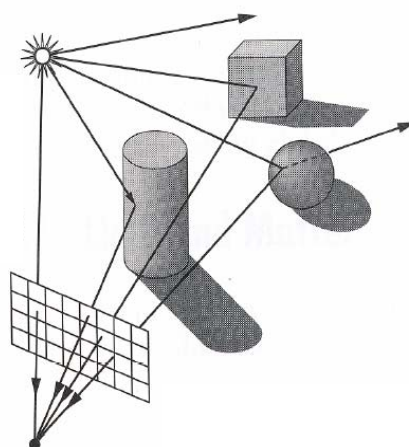


- ◆ En un trazador de rayos: del ojo al objeto a la luz
- ◆ ¿Por qué?



## Ray tracing: la idea

- ◆ El trazar rayos desde las fuentes del luz al ojo es altamente ineficiente!

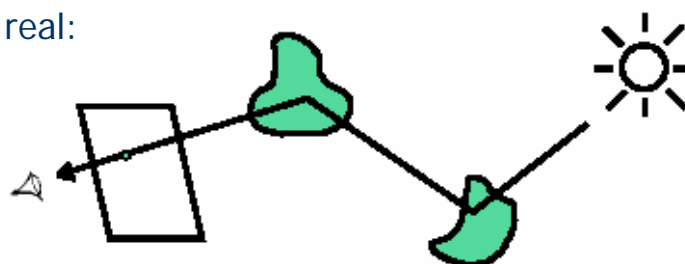


- ◆ Por eso se denominó originalmente **trazado de rayos inverso**

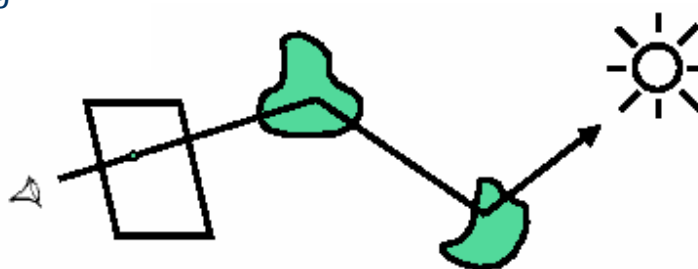


## Ray tracing: la idea

◆ Fenómeno real:

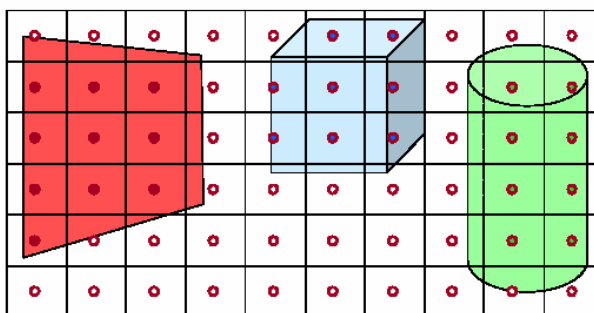
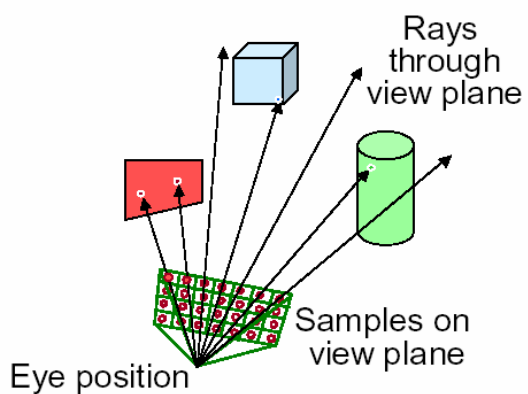


◆ Ray tracing:



## Esquema del algoritmo

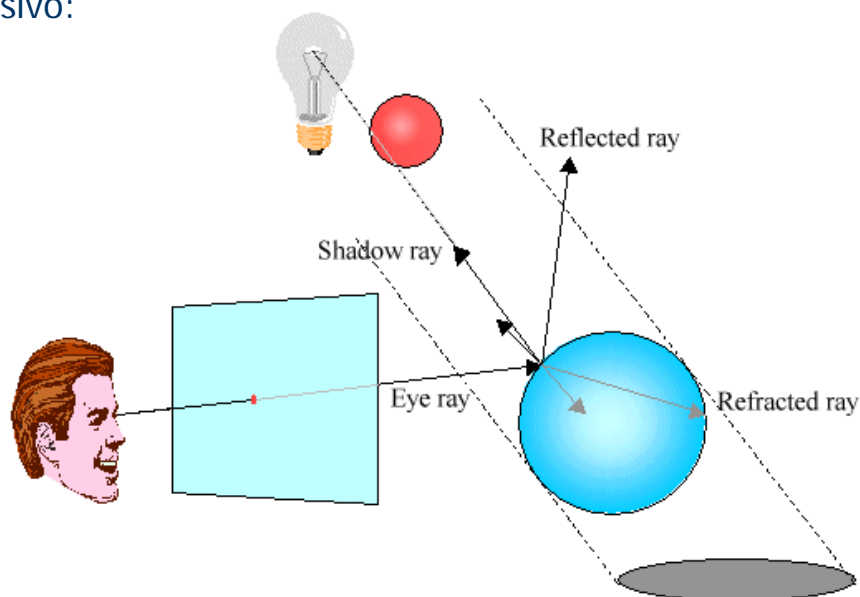
◆ Empecemos por un algoritmo más sencillo: **ray casting**





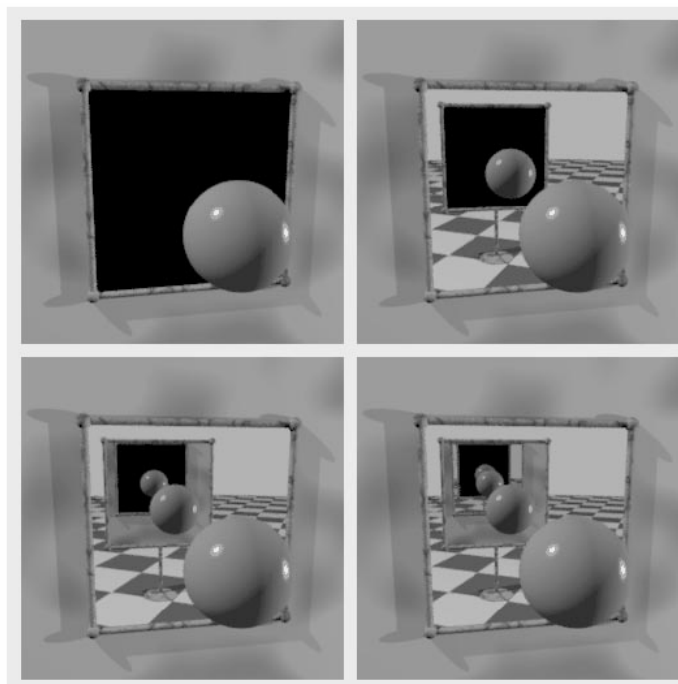
## Esquema del algoritmo

- ◆ Ray tracing puede entonces considerarse como un ray casting recursivo:



## Esquema del algoritmo

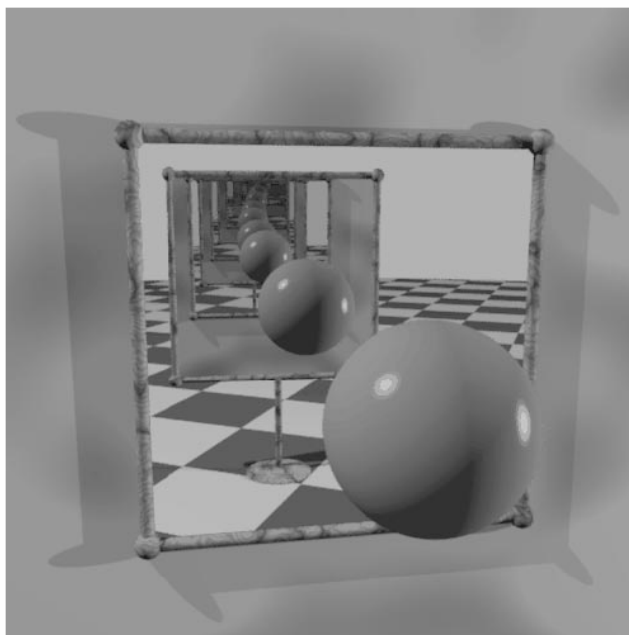
- ◆ El nivel de recursividad puede afectar al resultado!
- ◆ En el ejemplo, el nivel de recursividad es 0,1,2 y 3 respectivamente





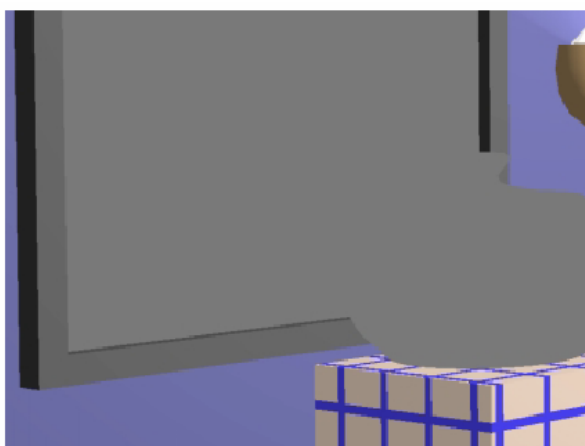
## Esquema del algoritmo

- ◆ La recursividad infinita es imposible



## Otro ejemplo

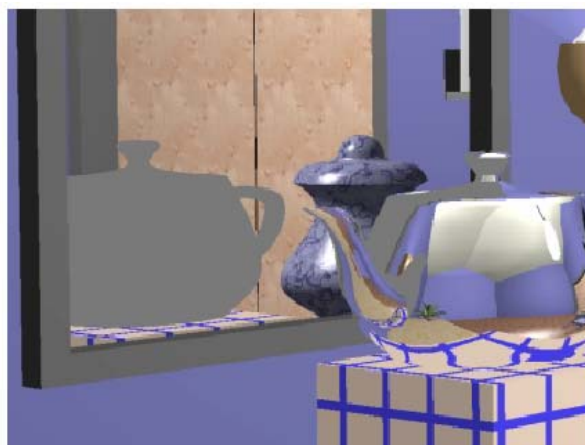
- ◆ Profundidad 1 (=recursividad 0)





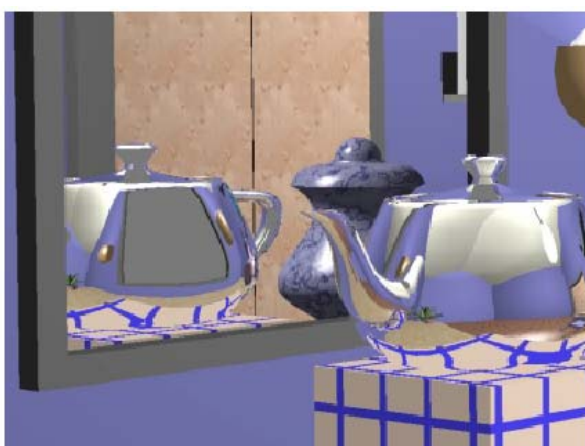
## Otro ejemplo

- ◆ Profundidad 2 (=recursividad 1)



## Otro ejemplo

- ◆ Profundidad 3 (=recursividad 2)





## Otro ejemplo

- ◆ Profundidad 4 (=recursividad 3)



## Características

- ◆ Sigue la energía de la luz a través de rayos
- ◆ Es un procedimiento recursivo
- ◆ Depende de la posición del observador
- ◆ Aplicable a diferentes tipos de superficies (esferas, conos...), no sólo polígonos



## Características

### ◆ Ventajas:

- Reflejos
- Transparencias y refracciones
- Sombras
- Diseño conceptualmente sencillo

### ◆ Inconvenientes:

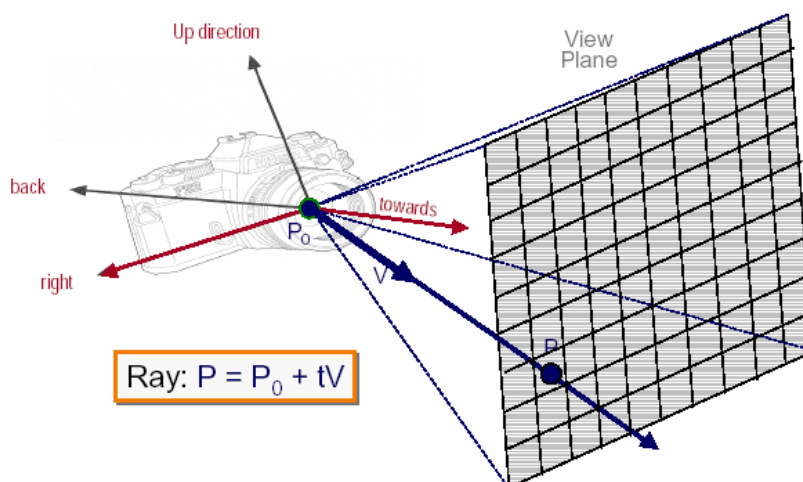
- No permite una solución completa al problema de la iluminación global
- Utiliza aproximaciones a la solución real



## Procedimiento (I)

### ◆ Los rayos se lanzan **desde el punto de vista**:

- El plano de visualización se discretiza en una matriz de pixels
- Se lanza un rayo primario (*primary ray, a.k.a. eye ray*) a través de cada pixel

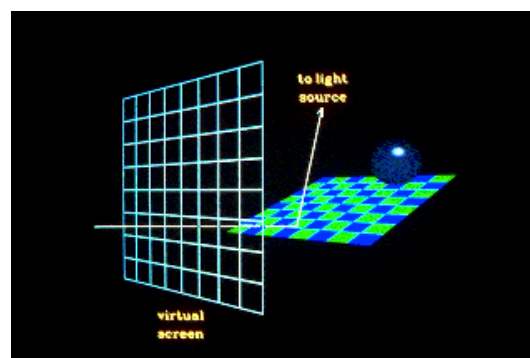
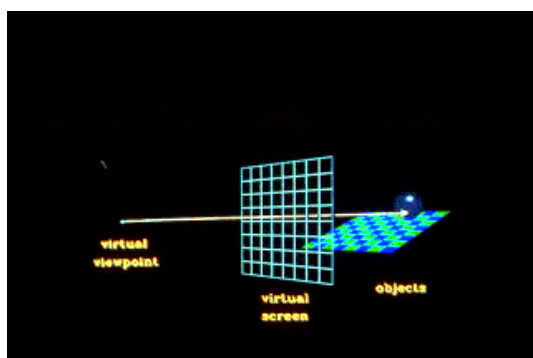






## Procedimiento (II)

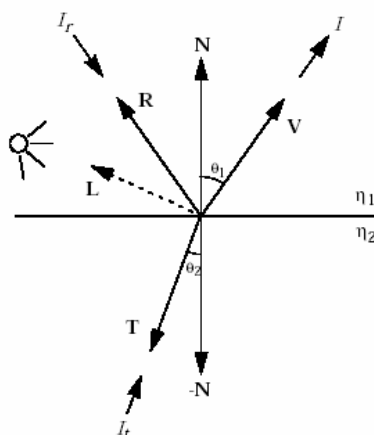
- ◆ Se encuentra la **intersección** del rayo primario con el objeto más cercano al punto de vista
  - Ese objeto representa la superficie visible a través de ese pixel
  - (Acabamos de dar con un algoritmo de eliminación de superficies ocultas)



## Procedimiento (III)

- ◆ Ahora calculamos la **intensidad de luz** en el punto de intersección de la superficie
  - Esta intensidad tendrá una componente de iluminación local más una componente global (energía reflejada y energía transmitida)

$$I = k_d I_a + k_d \sum_{i=1}^m I_{p_i} [(\mathbf{N} \cdot \mathbf{L}_i) + k_s (\mathbf{R} \cdot \mathbf{V})^n] + k_r I_r + k_t I_t$$

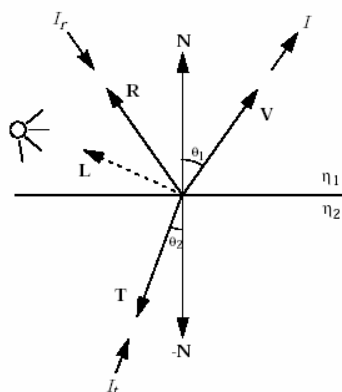




## Procedimiento (III)

- ◆  $K_r$  es el **coeficiente global de reflexión especular** (generalmente igual a  $K_s$ )
- ◆  $K_t$  es el **coeficiente global de transmisión especular**
- ◆  $I_r$  e  $I_t$  son las intensidades en las direcciones **R** y **T**

$$I = k_d I_a + k_d \sum_{i=1}^m I_{p_i} [(\mathbf{N} \cdot \mathbf{L}_i) + k_s (\mathbf{R} \cdot \mathbf{V})^n] + k_r I_r + k_t I_t$$

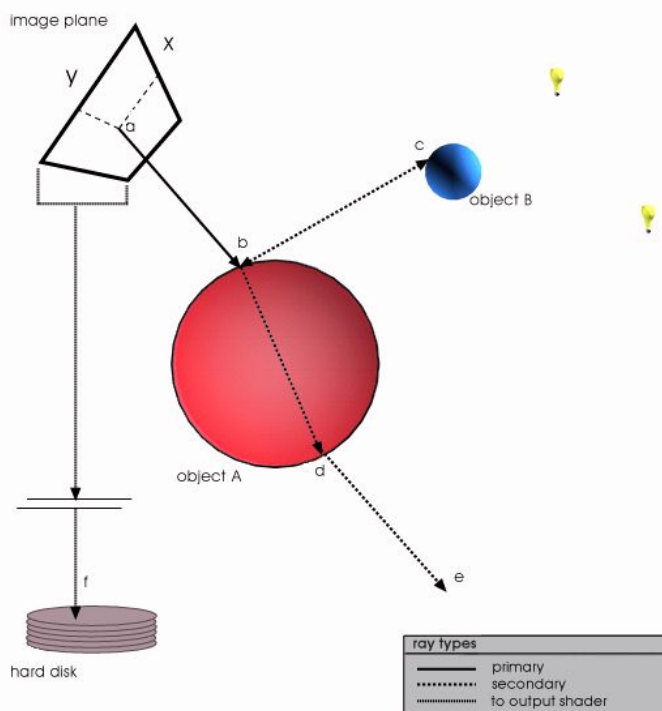


Diego Gutiérrez y Francisco J. Serón



## Procedimiento (IV)

- ◆ Los términos globales se obtienen lanzando **rayos secundarios** desde la intersección
  - Se calculan las nuevas intersecciones de estos rayos secundarios con los objetos de la escena
  - Se calculan en los nuevos puntos la iluminación
- ◆ Proceso **recursivo**



Diego Gutiérrez y Francisco J. Serón



## Recursividad

- ◆ Como hemos visto, el proceso podría repetirse recursivamente hasta el infinito (teóricamente)
- ◆ Necesidad de cortar en algún momento! (profundidad de rayos)
- ◆  $K_r=0$  implica superficie difusa, no hay rayo reflejado
- ◆  $K_t=0$  implica superficie opaca, no hay rayo transmitido
- ◆ *Muchos renderizadores comerciales sólo hacen trazado de rayos en los pixels en los que es necesario*

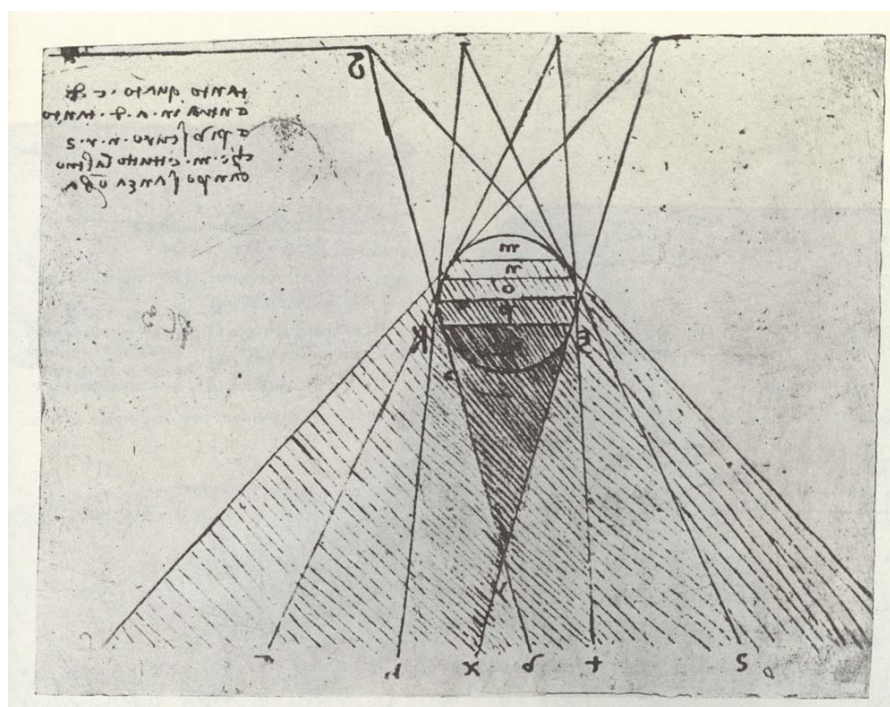


## Sombras

- ◆ ¿Qué sucede si un objeto B se interpone entre el punto de intersección del objeto A con el rayo y la fuente de luz?
  - Surgen las **sombras**
- ◆ Para calcularlas, lanzamos **rayos de sombra** (*shadow rays*)
  - Origen: intersección rayo-objeto
  - Dirección: hacia la fuente de luz
- ◆ Testeamos la intersección de este rayo con los objetos
  - Si encontramos una intersección y el punto de intersección está antes de la luz, el punto origen está en sombra
- ◆ Si hay muchas fuentes de luz, se lanza un rayo de sombra a cada una



## Sombras

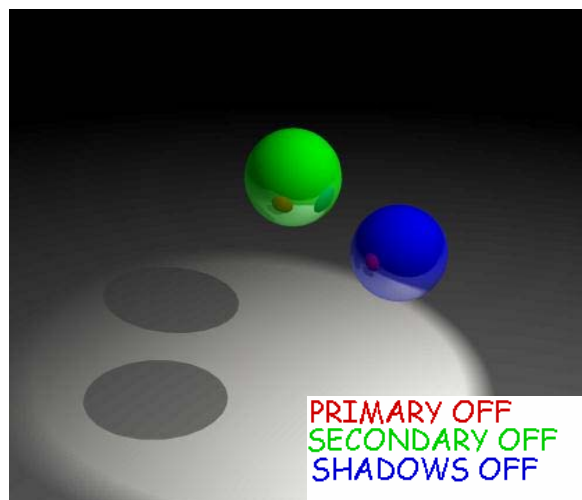
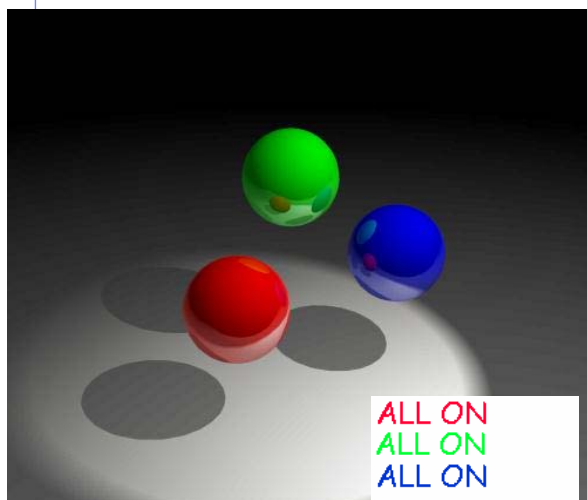


Diego Gutiérrez y Francisco J. Serón



## Rayos primarios, secundarios y de sombra

- ◆ Podemos conseguir curiosos efectos haciendo invisibles los objetos a algún tipo de rayo:

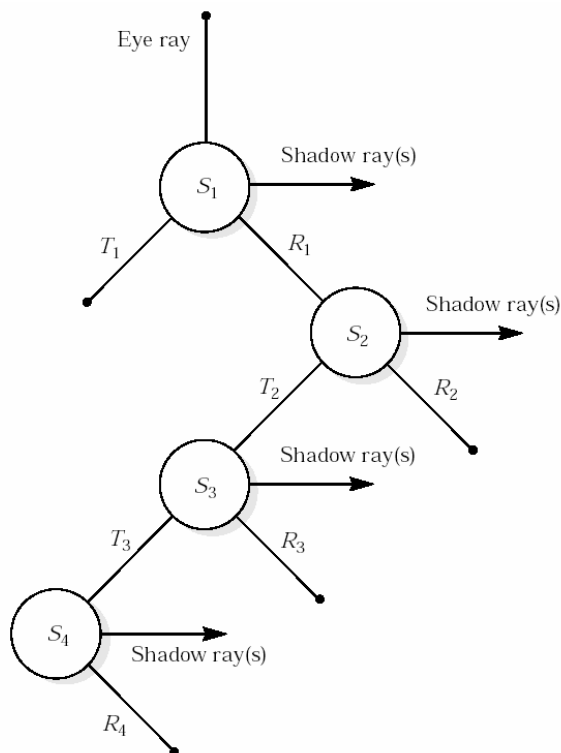


Diego Gutiérrez y Francisco J. Serón



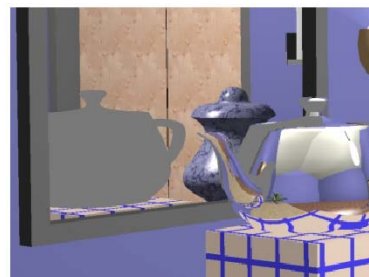
## Estructura de árbol

- ◆ El proceso recursivo de ray tracing puede visualizarse como un árbol de rayos



## Estructura de árbol

- ◆ Necesitamos especificar la profundidad máxima
  - Si no, perderemos mucho tiempo en seguir rayos cuya contribución a la imagen es despreciable
  - Pero una profundidad escasa causará errores en la imagen
- ◆ Para controlar la profundidad:
  - Si el rayo abandona la escena, debe devolver un valor de *background*
  - Fijar una profundidad máxima absoluta
  - Fijar una profundidad máxima adaptativa, según un umbral de la intensidad devuelta por un rayo secundario





## Intersecciones con objetos

- ◆ El verdadero cuello de botella del ray tracing
- ◆ En principio, cada rayo generado debe ser testeado contra *todos* los objetos de la escena
- ◆ Si se encuentran intersecciones, cuál es la más cercana?
- ◆ Necesitamos algoritmos eficientes de intersección
  - Con esferas, conos, polígonos, cajas, cilindros, toros...
  
- ◆ Brainstorm: ¿se os ocurre alguna forma de evitar testear cada rayo contra *todos* los objetos de la escena, o al menos de hacerlo de una forma eficiente?



## Intersección rayo-esfera

- ◆ Definimos el rayo primario de manera paramétrica:
  - $\mathbf{r}(t) = \mathbf{O} + \mathbf{D}t$
  - $\mathbf{r}(t)$  es el vector posición de un punto  $p$
  - $\mathbf{O}$  es el vector posición del origen del rayo
  - $\mathbf{D}$  es el vector unitario en la dirección del rayo
  - $t$  es un parámetro real que representa la distancia recorrida a lo largo del rayo
  - Buscamos puntos de intersección con valores de  $t$  positivos



## Intersección rayo-esfera

### Esquema:

$\vec{D}$  = dirección del rayo  
 $\vec{O}$  = posición del observador  
 $\vec{r}$  = posición de un punto sobre el rayo.

$\vec{C}$  = Centro de la esfera  
 $R$  = posición de un punto sobre la superficie.

\* Ecuación de la superficie  
 $(\vec{r} - \vec{c})(\vec{r} - \vec{c}) = R^2$

\* Ecuación del rayo  
 $\vec{r}'(t) = \vec{O} + \vec{D}t \quad t \geq 0$

Condición de intersección  
 $\vec{r} \equiv \vec{r}'$

$[\vec{O} + \vec{D}t - \vec{C}][\vec{O} + \vec{D}t - \vec{C}] = R^2$   
 denotando  $\vec{C} - \vec{O} = \vec{T}$   
 $[\vec{D}t - \vec{T}][\vec{D}t - \vec{T}] = R^2$   
 denotando  $\mu = \vec{D} \cdot \vec{T}$ ;  $\lambda = \vec{T} \cdot \vec{T}$

Ecuación para la intersección  
 $t^2 - 2t\mu + [\lambda - R^2] = 0$



## Intersección rayo-esfera

$$t^2 - 2t\mu + [\lambda - R^2] = 0$$

- Resolviendo para t (ecuación de segundo grado), obtenemos
- Obtenemos:

$$t = \mu \pm \sqrt{\gamma}$$

$$\gamma = \mu^2 - \lambda + R^2$$

- $\gamma < 0$ : no hay solución; el rayo no intersecciona con la esfera
- $\gamma = 0$ : una solución; el rayo "roza"
- $\gamma > 0$ : dos soluciones: el rayo atraviesa la esfera





## Intersección rayo-esfera

- ◆ Para hallar los puntos de intersección, sustituimos  $t$  en la ecuación del rayo por los valores obtenidos



## Intersección rayo-polígono

- ◆ [Graphic Gems]

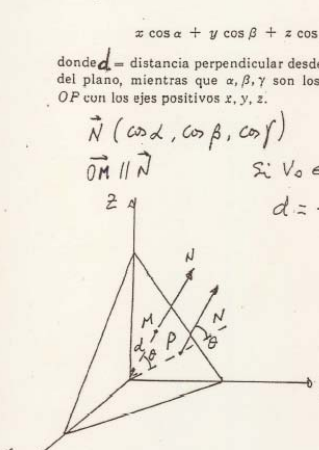
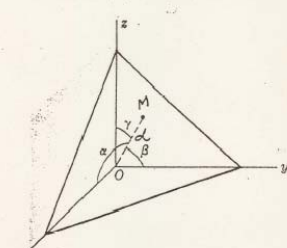
AN EFFICIENT  
RAY - POLYGON  
INTERSECTION

**ECUACION DEL PLANO EN FORMA NORMAL**

$$x \cos \alpha + y \cos \beta + z \cos \gamma = d$$

donde  $d$  = distancia perpendicular desde  $O$  hasta el punto  $M$  del plano, mientras que  $\alpha, \beta, \gamma$  son los ángulos que forma  $OP$  con los ejes positivos  $x, y, z$ .

$\vec{N} (\cos \alpha, \cos \beta, \cos \gamma)$   
 $\vec{OM} \parallel \vec{N}$       Si  $V_0 \in \text{plano}$   
 $d = -\vec{V}_0 \cdot \vec{N}$

$\vec{P} \cdot \vec{N} = |\vec{P}| \cdot |\vec{N}| \cdot \cos \theta = \tilde{P} \cos \theta = d$   
 ECUACION IMPLICITA  
 $\vec{N} \cdot \vec{P} + d = 0$

*Continúa...*





## Intersec First Step: Intersecting the Embedding Plane

### ◆ [Graphic Gems]

This step is common with the other intersection algorithms but can be presented again. A polygon is described by its vertices  $V_i$  ( $i \in \{0, \dots, n-1\}$ ,  $n \geq 3$ ). Let  $x_i$ ,  $y_i$ , and  $z_i$  the coordinates of the vertex  $V_i$ . The normal of the plane containing the polygon,  $N$ , is computed with the cross product:

$$\vec{N} = \vec{V_0V_1} \times \vec{V_0V_2}.$$

For each point  $P$  of the plane, the quantity  $P \cdot \vec{N}$  is constant. This constant value is computed by the dot product  $d = -\vec{V_0} \cdot \vec{N}$ . The implicit representation of the plane,

$$\vec{N} \cdot \vec{P} + d = 0, \quad (1)$$

is computed once, and then stored in the polygon description.

Let the parametric representation of the ray be

$$r(t) = \vec{O} + \vec{D}t = \vec{P} \quad (2)$$

The evaluation of the parameter  $t$  corresponding to the intersection point can be obtained using the equations (1) and (2):

$$t = -\frac{d + \vec{N} \cdot \vec{O}}{\vec{N} \cdot \vec{D}}.$$

This calculation requires 12 floating operations and three tests:

- If polygon and ray are parallel ( $\vec{N} \cdot \vec{D} = 0$ ), the intersection is rejected.
- If the intersection is behind the origin of the ray ( $t \leq 0$ ), the intersection is rejected.
- If a closer intersection has been already found for the ray ( $t > t_{ray}$ ), the intersection is rejected.

*Continúa...*



Diego Gutiérrez



## Intersección rayo-polígono

### ◆ [Graphic Gems]

### Second Step: Intersecting the Polygon

A parametric resolution is now presented. This solution is based on triangles. If a polygon has  $n$  vertices ( $n > 3$ ), it will be viewed as a set of  $n-2$  triangles. For this reason, the resolution is restricted to convex polygons. The point  $P$  (see Fig. 1) is given by

$$\vec{V_0P} = \alpha \vec{V_0V_1} + \beta \vec{V_0V_2}.$$

The point  $P$  will be inside the triangle ( $\Delta V_0 V_1 V_2$ ) if

$$\alpha \geq 0, \beta \geq 0, \text{ and } \alpha + \beta \leq 1.$$

Equation (4) has three components:

$$\begin{cases} x_p - x_0 = \alpha(x_1 - x_0) + \beta(x_2 - x_0) \\ y_p - y_0 = \alpha(y_1 - y_0) + \beta(y_2 - y_0) \\ z_p - z_0 = \alpha(z_1 - z_0) + \beta(z_2 - z_0). \end{cases}$$

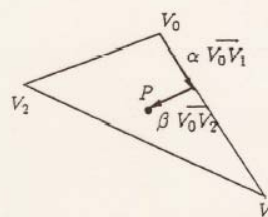


Figure 1. Parametric representation of the point  $P$ .

A solution exists and is unique.

*Continúa...*



Diego Gutiérrez



## Intersección rayo-polígono

### ◆ [Graphic Gems]

To reduce this system, we wish to project the polygon onto one of the primary planes, either  $xy$ ,  $xz$ , or  $yz$ . If the polygon is perpendicular to one of these planes, its projection onto that plane will be a single line. To avoid this problem, and to make sure that the projection is as large as possible, we find the dominant axis of the normal vector and use the plane perpendicular to that axis. As in Snyder and Barr (1987), we compute the value  $i_0$ ,

$$i_0 = \begin{cases} 0 & \text{if } |N_x| = \max(|N_x|, |N_y|, |N_z|) \\ 1 & \text{if } |N_y| = \max(|N_x|, |N_y|, |N_z|) \\ 2 & \text{if } |N_z| = \max(|N_x|, |N_y|, |N_z|). \end{cases}$$

Consider  $i_1$  and  $i_2$  ( $i_1$  and  $i_2 \in \{0, 1, 2\}$ ), the indices different from  $i_0$ . They represent the primary plane used to project the polygon. Let  $(u, v)$  be the two-dimensional coordinates of a vector in this plane; the coordinates of  $\overline{V_0P}$ ,  $\overline{V_0V_1}$ , and  $\overline{V_0V_2}$ , projected onto that plane, are

$$\begin{array}{lll} u_0 = P_{i_1} - V_{0i_1} & u_1 = V_{1i_1} - V_{0i_1} & u_2 = V_{2i_1} - V_{0i_1} \\ v_0 = P_{i_2} - V_{0i_2} & v_1 = V_{1i_2} - V_{0i_2} & v_2 = V_{2i_2} - V_{0i_2} \end{array}$$

*Continúa...*



Diego Gutiérrez y Francisco J. Serón



## Intersección rayo-polígono

### ◆ [Graphic Gems]

Equations 5 then reduce to

$$\begin{cases} u_0 = \alpha \cdot u_1 + \beta \cdot u_2 \\ v_0 = \alpha \cdot v_1 + \beta \cdot v_2 \end{cases}$$

The solutions are

$$\alpha = \frac{\det \begin{pmatrix} u_0 & u_2 \\ v_0 & v_2 \end{pmatrix}}{\det \begin{pmatrix} u_1 & u_2 \\ v_1 & v_2 \end{pmatrix}} \quad \text{and} \quad \beta = \frac{\det \begin{pmatrix} u_1 & u_0 \\ v_1 & v_0 \end{pmatrix}}{\det \begin{pmatrix} u_1 & u_2 \\ v_1 & v_2 \end{pmatrix}}$$

The interpolated normal from the point  $P$  may be computed by

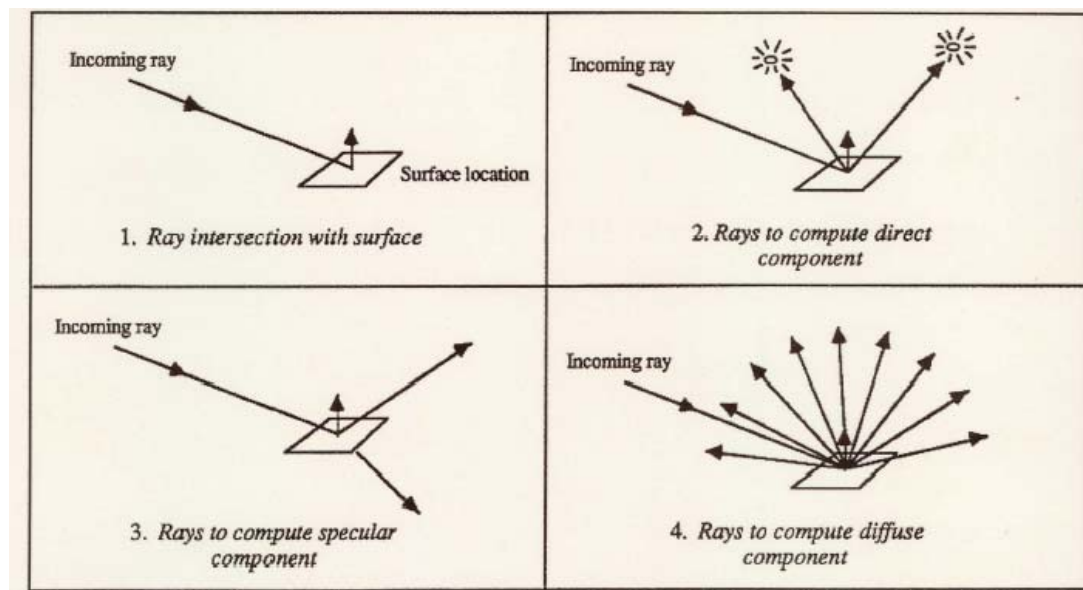
$$N_p = (1 - (\alpha + \beta))N_0 + \alpha N_1 + \beta N_2.$$



Diego Gutiérrez y Francisco J. Serón



## Los 4 pasos del ray tracing

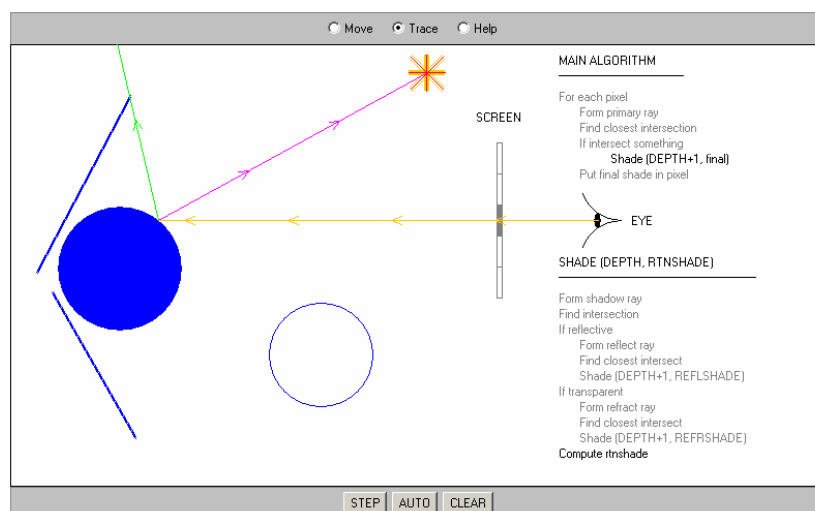


Diego Gutiérrez y Francisco J. Serón



## Ray tracing demo

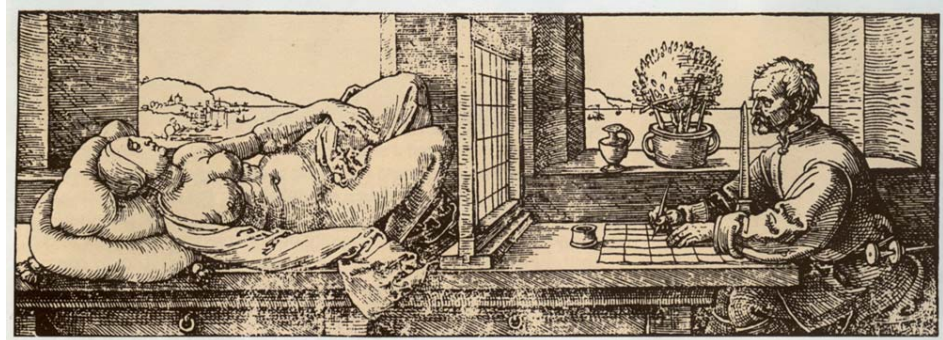
- ◆ [http://www.siggraph.org/education/materials/HyperGraph/raytrac e/rt\\_java/raytrace.html](http://www.siggraph.org/education/materials/HyperGraph/raytrac e/rt_java/raytrace.html)



- ◆ Yan Liu & Dr. G. Scott Owen (Georgia State University)



Diego Gutiérrez y Francisco J. Serón

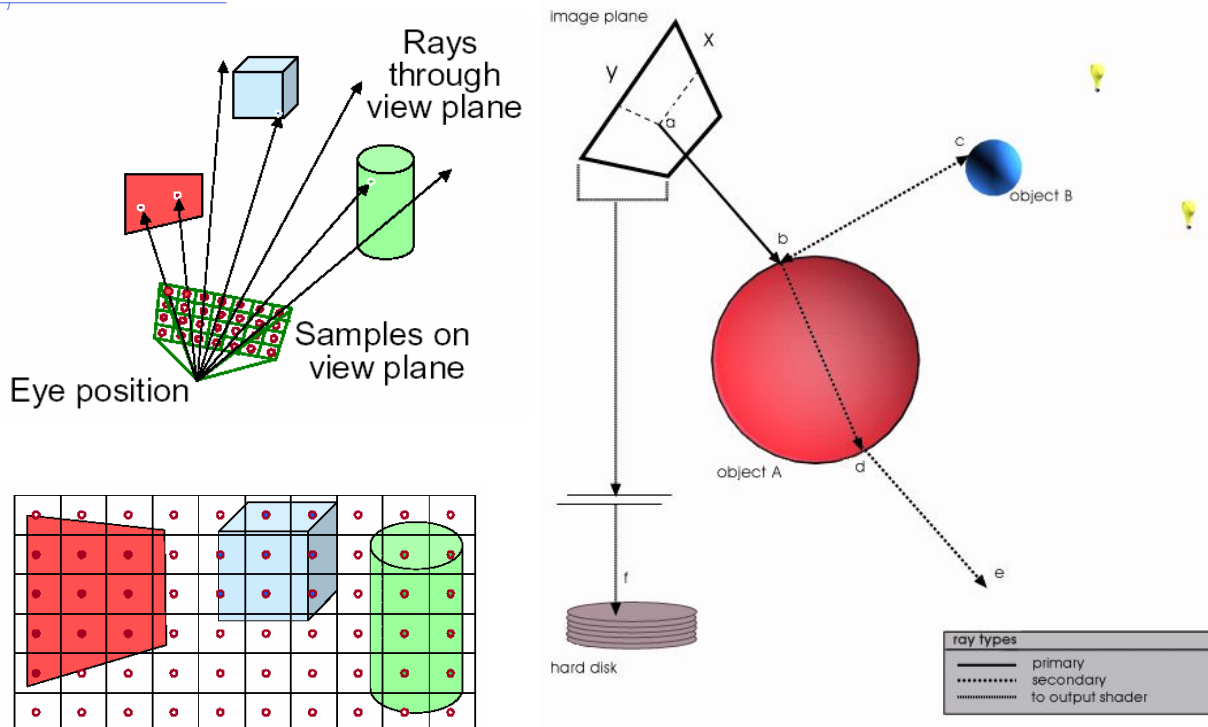


## Modelado Visual y Animación

# Ray Tracing (in a nutshell)

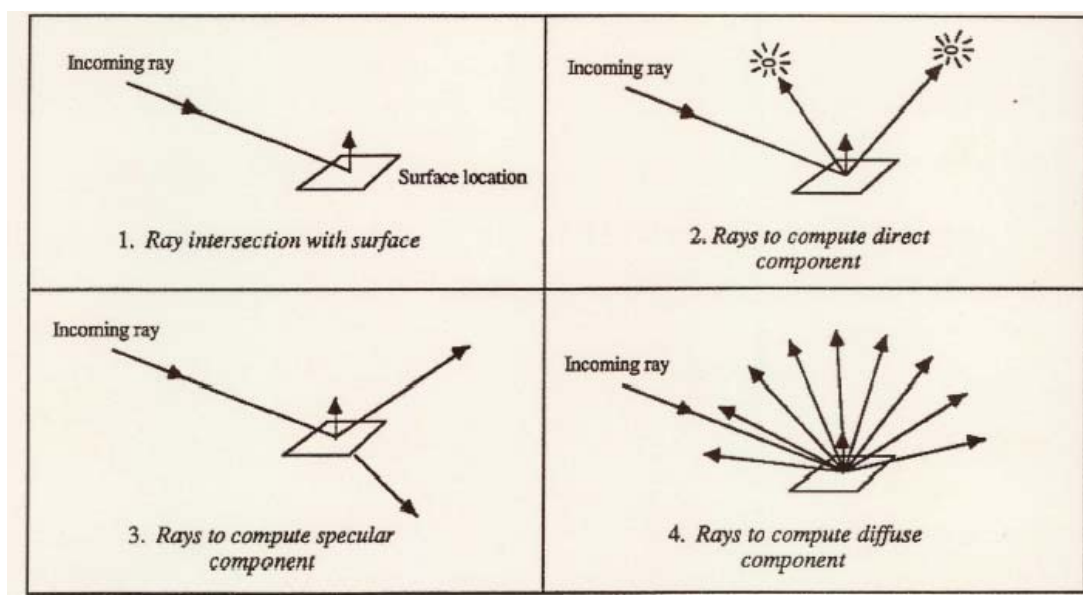
Diego Gutiérrez y Francisco J. Serón

## Ray tracing (in a nutshell)





## Ray tracing (in a nutshell)





## Ray Tracing Reloaded (Técnicas de aceleración)

Diego Gutiérrez y Francisco J. Serón





## Introducción

- ◆ Ray tracing, tal cual, puede ser un proceso muy lento
- ◆ Aproximadamente, el 90% del tiempo de cálculo se gasta en las intersecciones
  - Cuantos más objetos hay en la escena, peor
  - Cuanto más grande es la imagen, peor (más rayos primarios)
- ◆ Técnicas de aceleración:
  - Limitar el número de tests de intersección
  - Retrasar un test caro hasta que uno más barato haya probado su necesidad
  - ...
- ◆ Bounding volumes, subdivisión espacial
- ◆ Además: light buffers...



## Bounding volumes

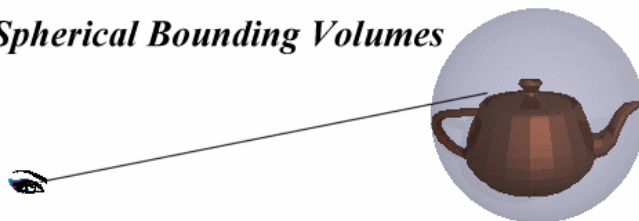
- ◆ Concepto: encerrar un objeto complicado en una geometría más simple.
  - Si el rayo no intersecta ni siquiera esa geometría envolvente, su contenido puede ser ignorado
  - Si el rayo intersecta esa geometría envolvente, puede que intersecte el objeto encerrado, o puede que no
- ◆ *Cuanto más cercano sea el volumen envolvente al objeto real, mejor*
- ◆ Los primeros *bounding volumes* utilizados en CG fueron esferas, debido a su fácil algoritmo de intersección y a que una sola basta para encerrar un objeto
- ◆ Sin embargo no dan un ajuste demasiado bueno



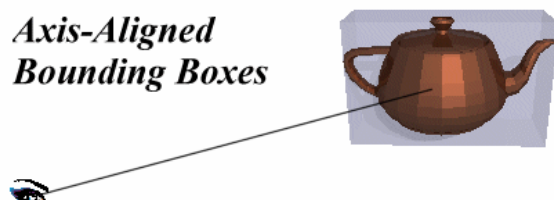
## Bounding volumes

- ◆ Actualmente se usan mucho cajas alineadas con los ejes
- ◆ Una jerarquía de cajas es aún mejor

### *Spherical Bounding Volumes*



### *Axis-Aligned Bounding Boxes*



## Bounding volumes

- ◆ Primero se comprueba el test de intersección con el *bounding volume*
- ◆ Si existe intersección, entonces se comprueba el objeto encerrado
- ◆ Si hay una estructura jerárquica de *bounding volumes*, se va profundizando en ella durante los tests de intersección sencillos





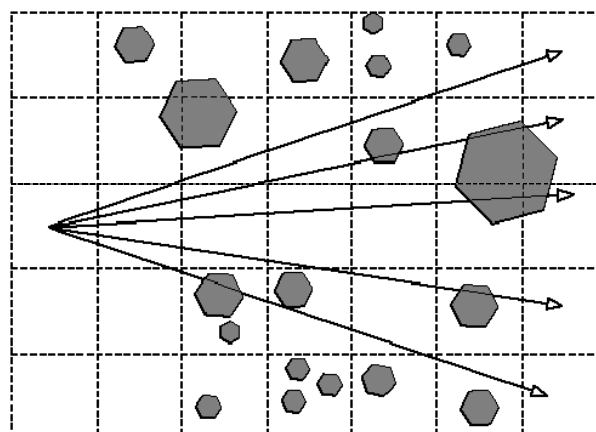
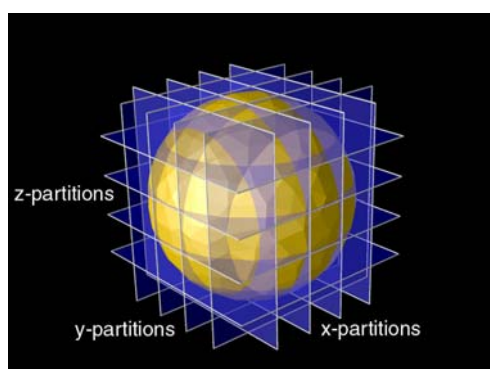
## Subdivisión espacial

- ◆ Funcionan en base a la idea de *voxels*:
  - Estos voxels ocupan todo el espacio de la escena
  - No se superponen unos sobre otros
  - No tienen por qué contener completamente ningún objeto particular
- ◆ Dos tipos de subdivisión espacial:
  - Uniforme (todos los voxels son del mismo tamaño)
  - No uniforme (octrees, jerarquía de voxels...)



## Subdivisión espacial

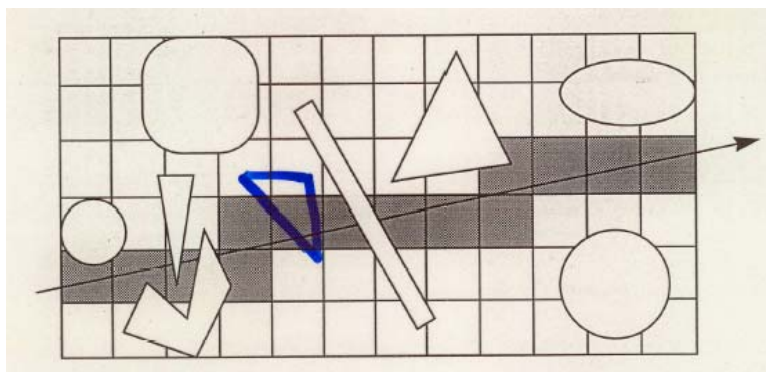
- ◆ Idea general:
  - Subdividir el espacio en regiones
  - Hacer una lista con los objetos en cada región
  - Sólo miramos las regiones por las que pasa el rayo
  - Evitar computar dos veces una intersección si el objeto cae en dos o más regiones





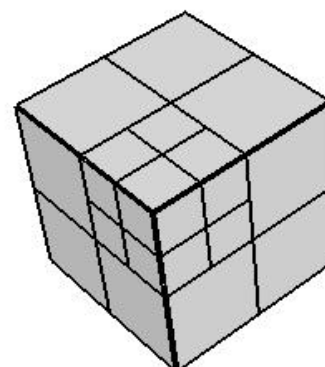
## Subdivisión espacial

- ◆ ¿Qué ganamos?:
  - Tras hallar la primera intersección, todos los objetos con los que intersecta el rayo en su camino no son calculados
  - En el ejemplo, sólo 3 voxels se han tenido en cuenta para la intersección
- ◆ Básicamente, lo que hacemos es testear intersecciones sólo en las proximidades del rayo



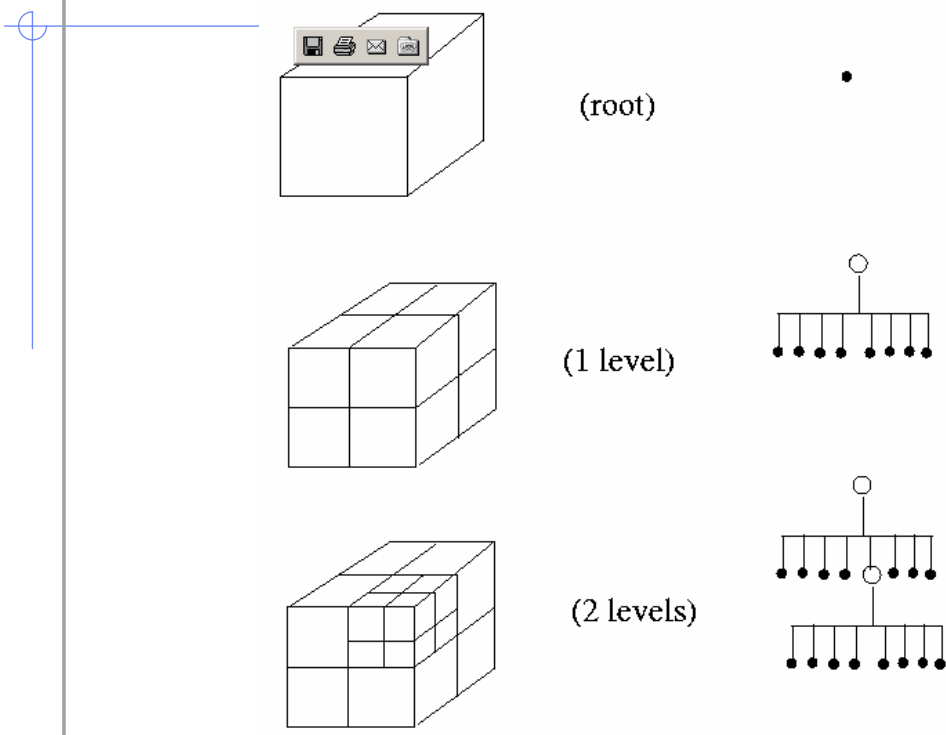
## Subdivisión espacial no uniforme: *octrees*

- ◆ Arbol jerárquico de voxels de distintos tamaños
  - Refleja la distribución de los objetos en la escena
- ◆ Cómo se construye:
  - Rodear la escena con un cubo (bounding box)
  - Subdividir en 8 cubos iguales
  - Guardar una lista con los objetos en cada cubo
  - Si en un cubo el número de objetos es mayor que un umbral, subdividir de nuevo
- ◆ La subdivisión sólo ocurre donde hay muchos objetos





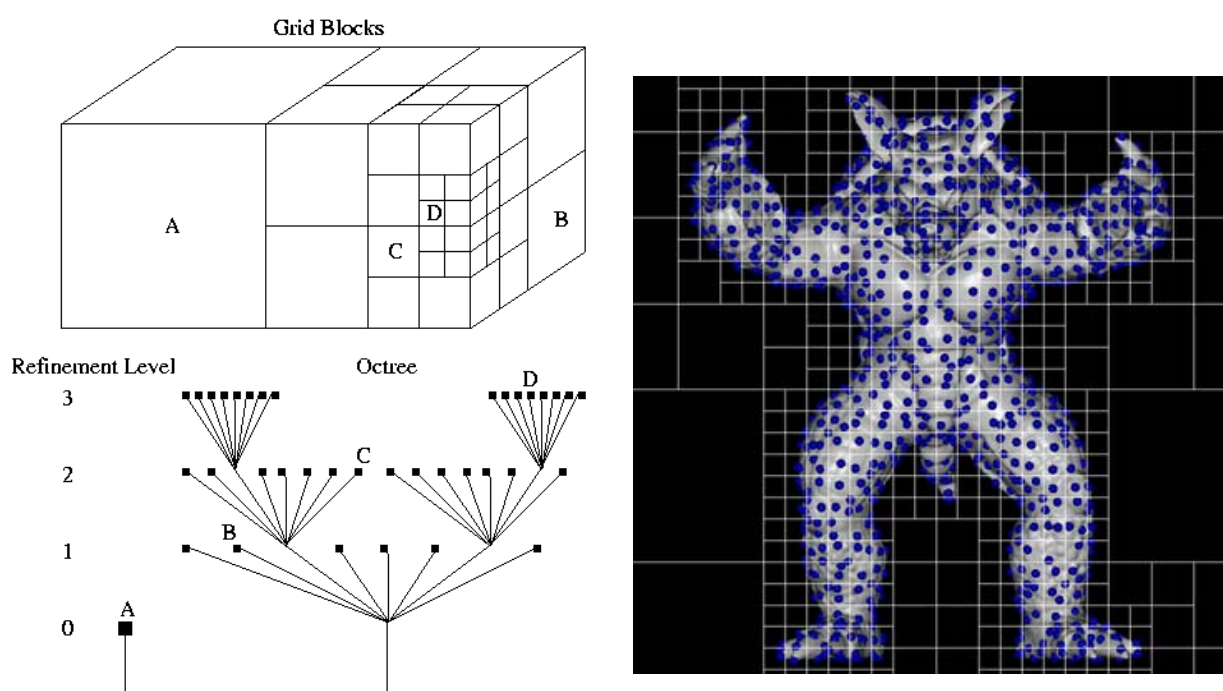
## Subdivisión espacial no uniforme: *octrees*



Diego Gutiérrez y Francisco J. Serón



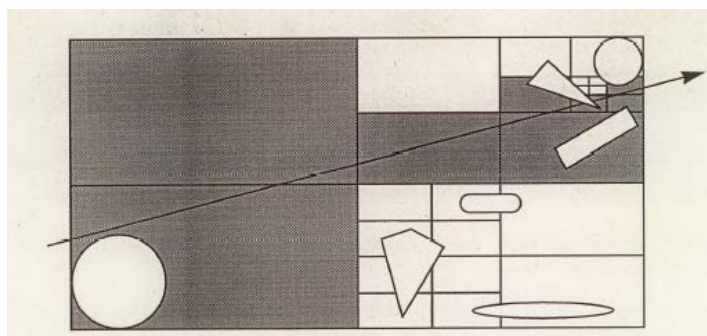
## Subdivisión espacial no uniforme: *octrees*



Diego Gutiérrez y Francisco J. Serón



## Subdivisión espacial no uniforme: *octrees*

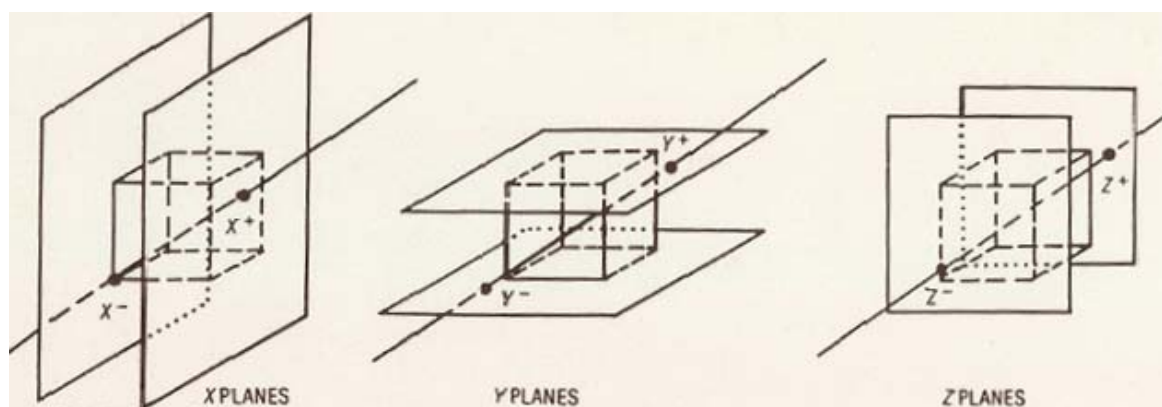


- ◆ Sólo 6 voxels son considerados para dar con la intersección
- ◆ Sólo 3 tests de intersección son realizados
- ◆ El rayo atraviesa grandes zonas vacías de la escena muy rápidamente
- ◆ El trabajo útil sólo se realiza en zonas de alta densidad de objetos



## Subdivisión espacial no uniforme: *octrees*

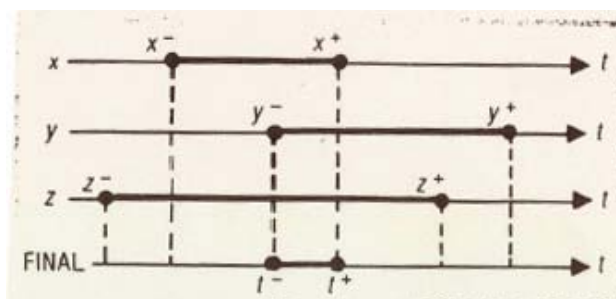
- ◆ Una vez sabemos en qué voxel estamos... ¿cómo calculamos el segmento de rayo dentro del voxel?
  - Debemos encontrar el mayor valor de  $t$  que pueda adoptar el rayo en el nodo actual
  - Para ello primero intersectamos el rayo con los 6 planos delimitantes del voxel...





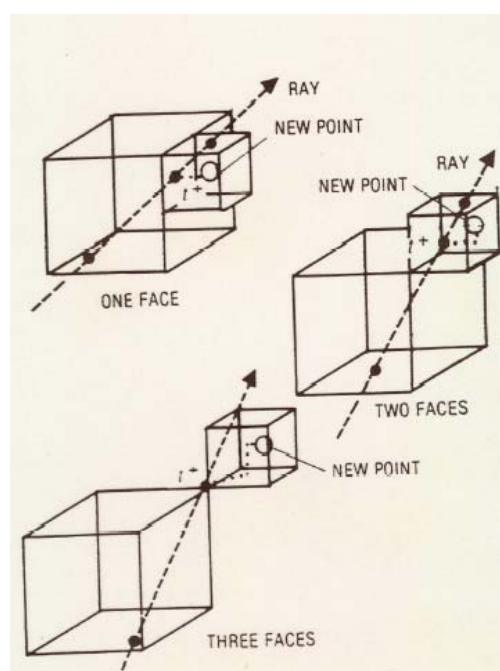
## Subdivisión espacial no uniforme: *octrees*

- ◆ Una vez sabemos en qué voxel estamos... ¿cómo calculamos el segmento de rayo dentro del voxel?
  - ...y luego hallamos la intersección de los tres rangos de  $t$  obtenidos



## Subdivisión espacial no uniforme: *octrees*

- ◆ Para hallar el siguiente voxel, debemos encontrar un punto que sepamos que va a estar en ese nuevo voxel:
  - Avanzamos una distancia  $\min(Len/2)$  perpendicular a cada cara en la que caiga  $t^+$



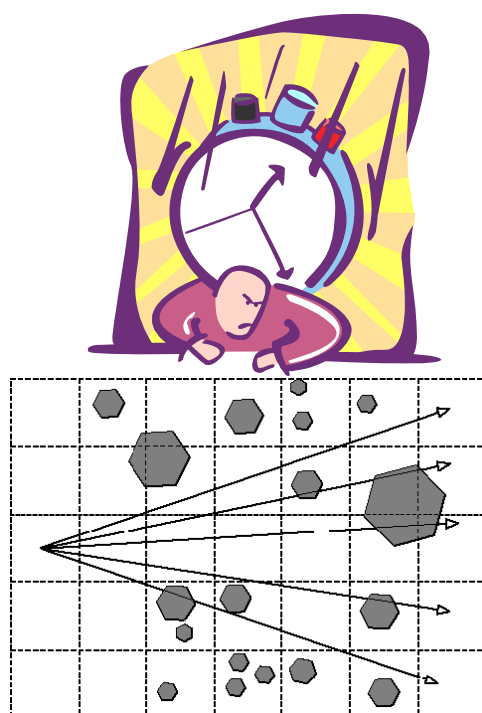


## Conclusiones

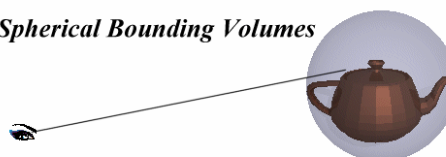
- ◆ El *trade-off* entre la resolución de cada voxel y el tiempo empleado en recorrerlos debe ser ajustado en función de la escena...
- ◆ ...ya sea subdivisión uniforme o no uniforme
- ◆ **Ejemplo:** Una subdivisión uniforme de una escena con 10.000 objetos tardó 15 minutos en renderizarse... Y 40 días sin voxelizar!



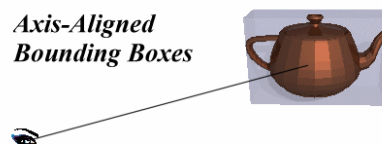
## Ray Tracing Reloaded in a nutshell



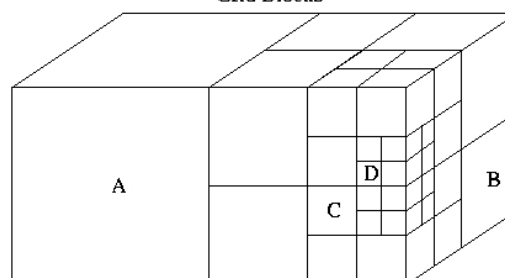
*Spherical Bounding Volumes*

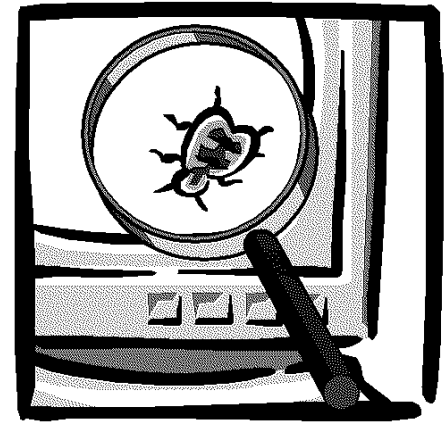


*Axis-Aligned Bounding Boxes*



Grid Blocks





## Sampling y aliasing

Diego Gutiérrez y Francisco J. Serón

### Indice

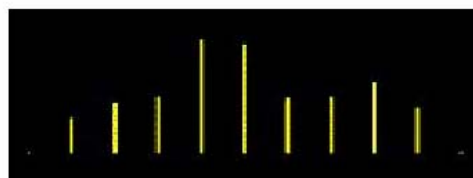
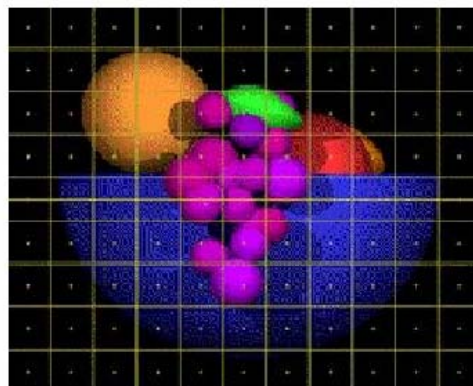
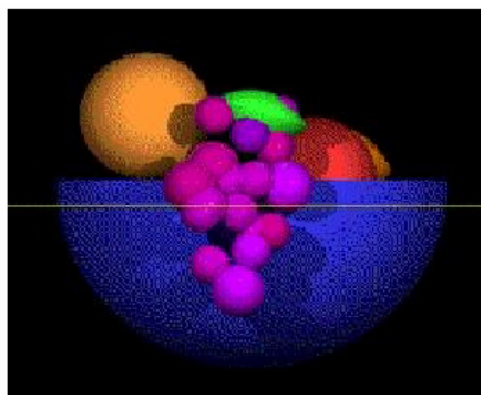
- ◆ Qué es el *aliasing*
- ◆ Mundo real vs. mundo digital
- ◆ Sampling
- ◆ Antialiasing uniforme
- ◆ Antialiasing adaptativo



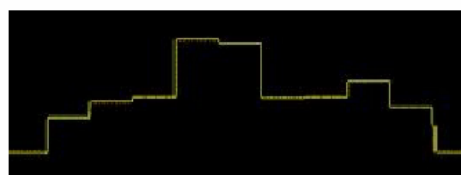
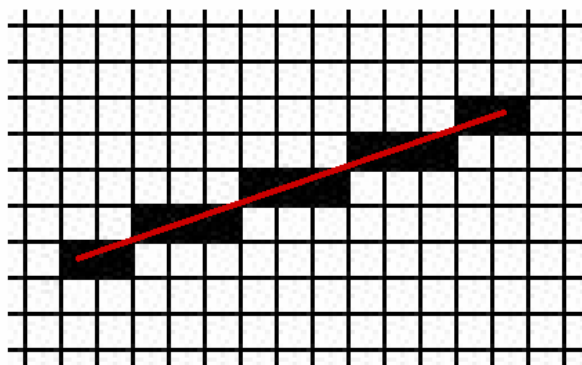
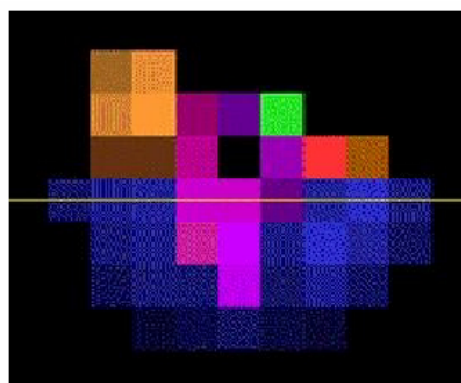
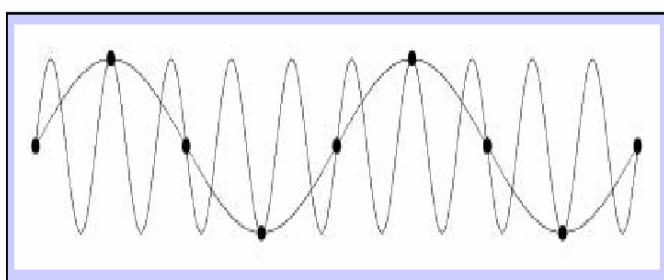


## Qué es el *aliasing*

- ◆ La reconstrucción de una señal muestreada nos da una solución falsa (*alias*), diferente a la señal continua original



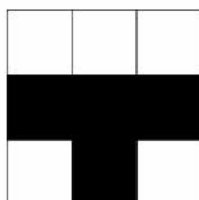
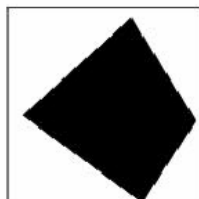
## Qué es el *aliasing*



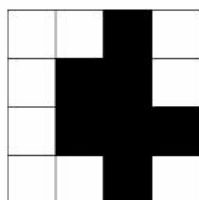




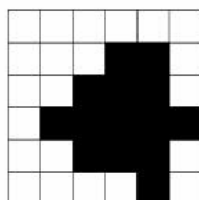
## Qué es el *aliasing*



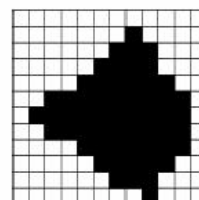
3x3



4x4



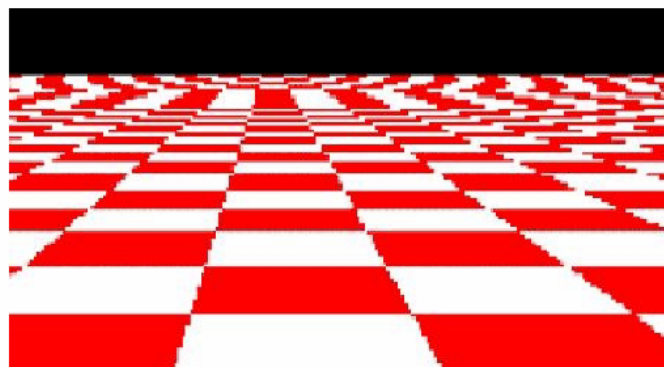
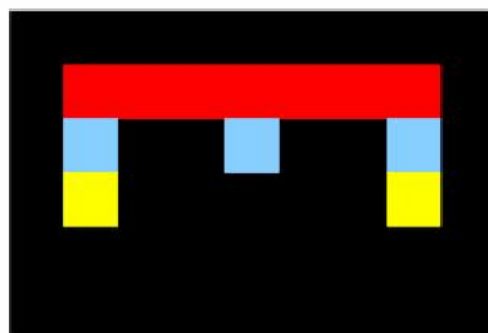
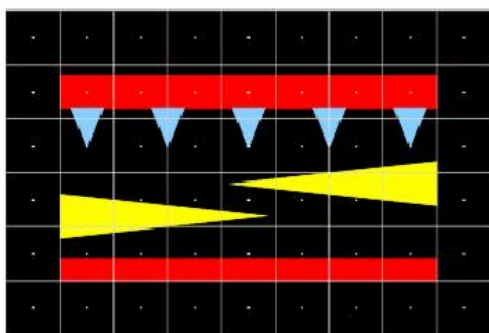
6x6



12x12



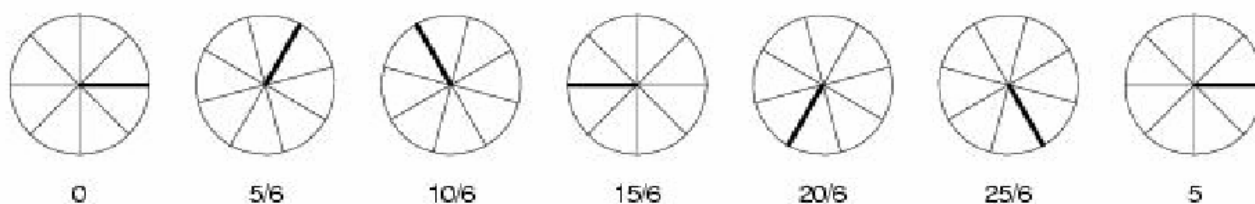
## Qué es el *aliasing*





## Qué es el *aliasing*

- ◆ Los ejemplos vistos hasta ahora eran *aliasing* espacial. Existe también el *aliasing* temporal (o el efecto de la rueda que gira hacia atrás en las películas)

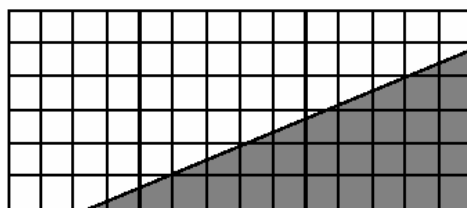


## Mundo real vs. Mundo digital

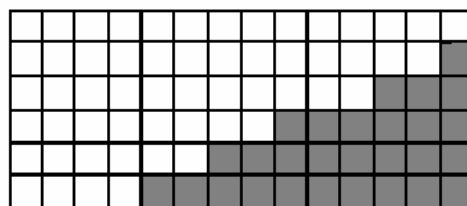
- ◆ En el mundo real, la mayoría de las cosas son continuas
- ◆ En un computador, **todo es discreto**
- ◆ **Muestrear:** mapear una función continua a una discreta
- ◆ La mayoría de las funciones que manejamos son analíticas, y pueden por tanto expresarse como una serie de relaciones algebraicas
- ◆ Las imágenes, sin embargo, no pueden ser representadas de una manera tan sencilla, en general
- ◆ En vez de eso, usamos funciones tabuladas
- ◆ Luego... ¿cómo llenamos la tabla?



## Mundo real vs. Mundo digital



(a) reality



(b) image



## Sampling

- ◆ Una imagen es, por lo general, una función continua  $I(x,y)$ , que da un valor de intensidad para cada coordenada  $(x,y)$

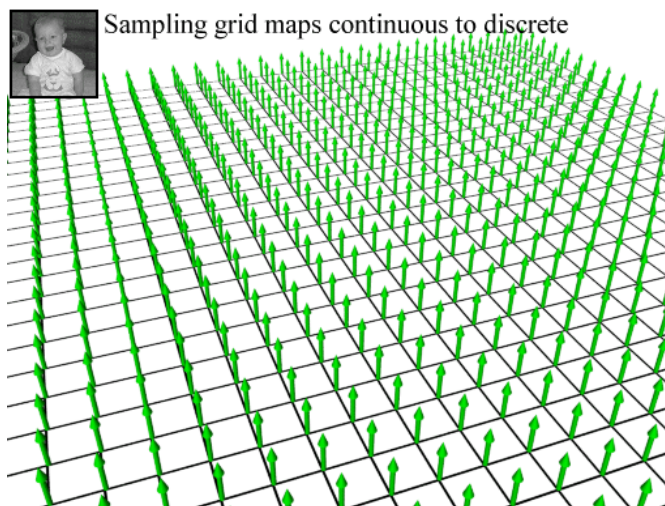




## Sampling

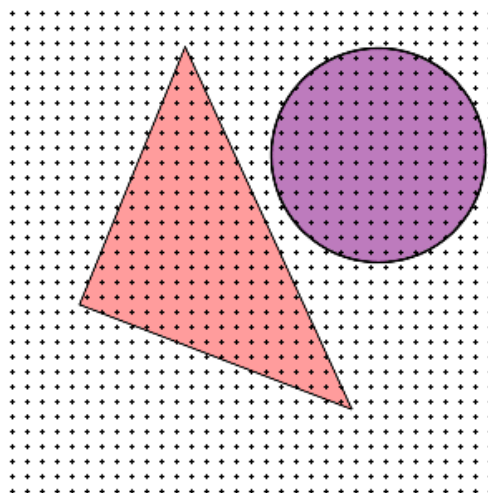
- ◆ La forma más común de muestrearla es multiplicarla por una parrilla de muestreo (*sampling grid*) compuesta por funciones delta de Kronecker distribuidas uniformemente

$$\delta(x, y) = \begin{cases} 1, & (x, y) = (0, 0) \\ 0, & \text{otherwise} \end{cases}$$



## Sampling

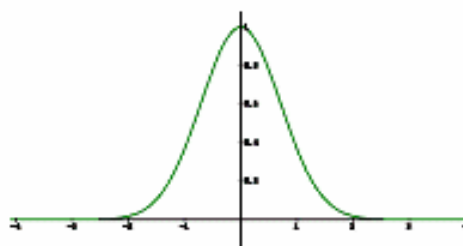
- ◆ Cuando esta multiplicación se lleva a cabo, obtenemos un conjunto de valores discretos (los pixels de la imagen)
- ◆ Estos se almacenan en memoria como representación de la función continua de la que provienen





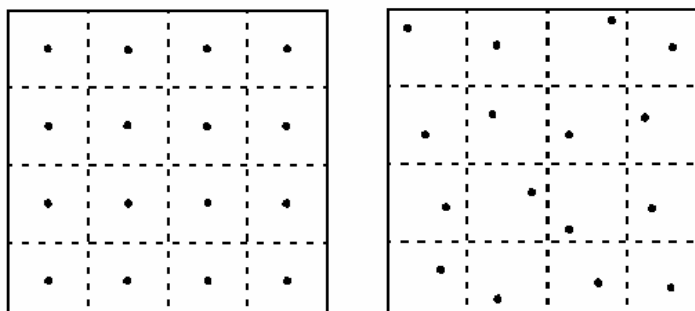
## ¿Qué es un pixel?

- ◆ Por lo que hemos dicho, un pixel es un punto
- ◆ No es un pequeño cuadradito, ni un círculo
- ◆ Es un punto, sin dimensiones
- ◆ Entonces... ¿cómo lo vemos?
- ◆ Gracias a que los dispositivos de visualización no son perfectos, la intensidad de cada punto en realidad decae con una gaussiana... cobrando dimensión de área



## Antialiasing

- ◆ El antialiasing intenta reducir los efectos del aliasing
- ◆ La forma más habitual es el **supersampling**
  - *Uniform supersampling*
  - *Jittered supersampling*

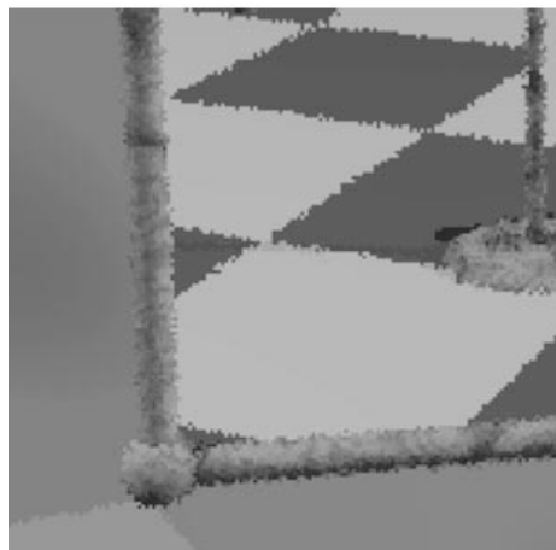
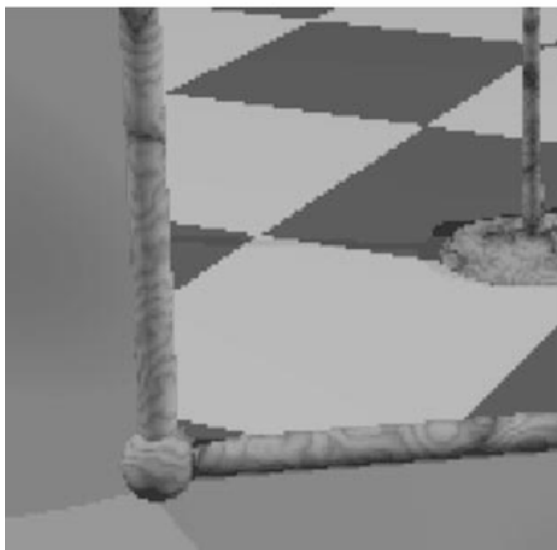


- ◆ En general, es recomendable el *jittered*



## Antialiasing

### ◆ Supersampling uniforme vs *jittered*



## Antialiasing

### ◆ Antialiasing adaptativo:

- Supersampling en cada pixel: altamente ineficiente!
- El aliasing sólo es visible en zonas de alto contraste
- Los esquemas adaptativos localizan los pixels donde el antialiasing es más necesario

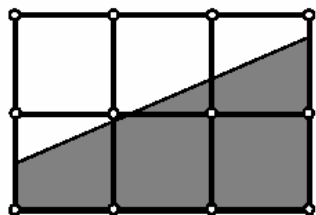
### ◆ Ejemplo de esquema de antialiasing adaptativo:

- 1. Lanzar rayos a las esquinas de cada pixel
- 2. Para cada pixel, examinar la diferencia entre los valores obtenidos
- 3. Si esta diferencia es mayor que un umbral, dividir el pixel en cuatro subpixels y repetir el proceso
- (si trabajamos en RGB, basta que uno de los valores supere el umbral para que se subdivide otra vez)

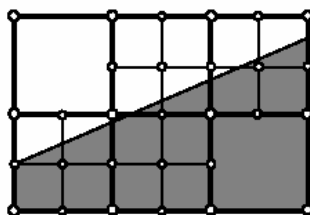


## Antialiasing

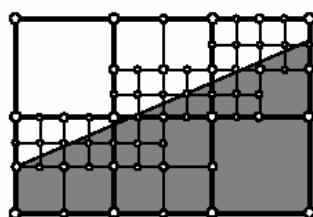
### ◆ Antialiasing adaptativo



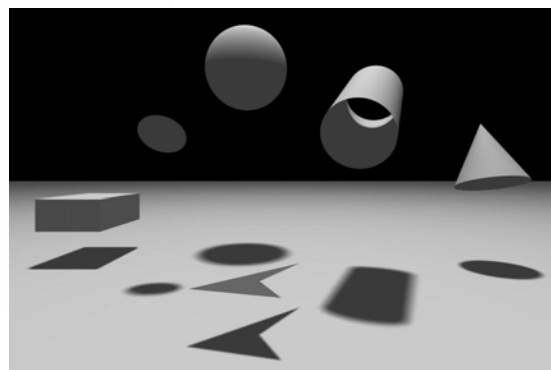
(a)



(b)



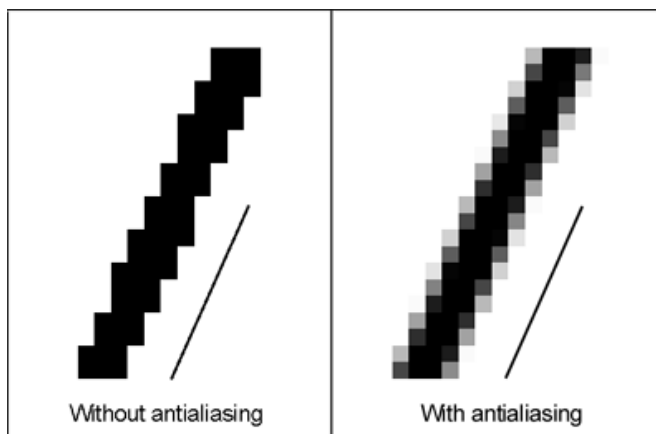
(c)

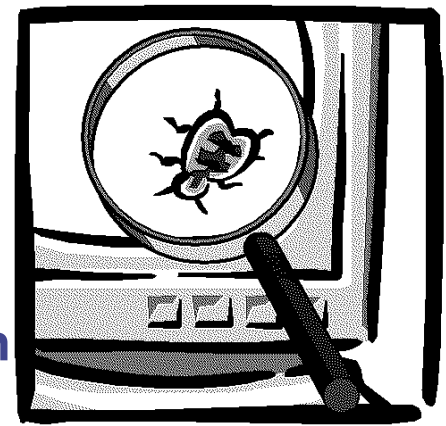


## Antialiasing

### ◆ El proceso de reconstrucción de las muestras tomadas se llama **filtrado**:

- Caja
- Gaussiano
- Cónico
- ...



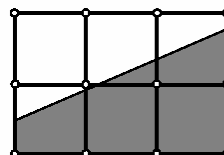
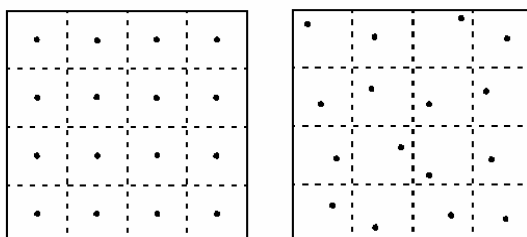
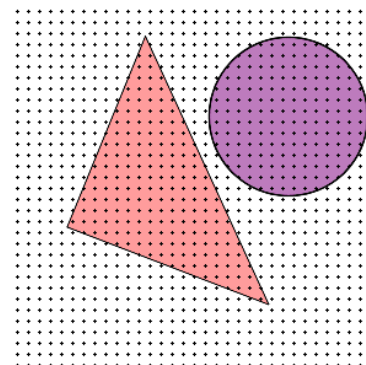
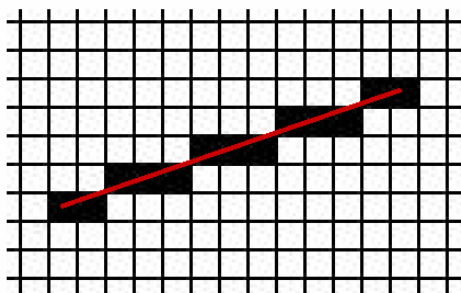


## Modelado Visual y Animación

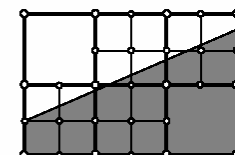
# Sampling y aliasing (in a nutshell)

Diego Gutiérrez y Francisco J. Serón

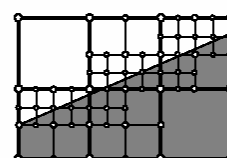
## Sampling y aliasing (in a nutshell)



(a)



(b)



(c)

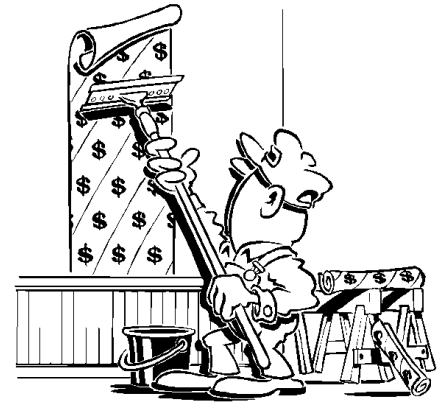




## Bibliografía

J. Foley, A. vanDam, S. Feiner and J. Hughes, Computer Graphics: Principles and Practice. 2nd. ed. Addison-Wesley, 1990.

A. Watt and M. Watt, Advanced Animation and Rendering Techniques: Theory and Practice. Addison-Wesley, 1992.

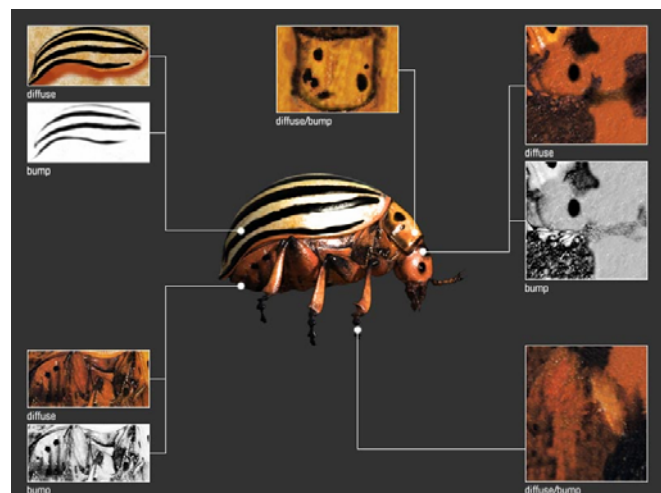


# Texturas

Diego Gutiérrez y Francisco J. Serón

## Indice

- ◆ Aumentando el realismo
- ◆ El concepto
- ◆ Tipos de texturas
- ◆ Mapeado bidimensional
  - Planar, cilíndrico, esférico
- ◆ Repetición de texturas
- ◆ Superficies paramétricas
- ◆ Texturas 3D
- ◆ *Bump* y *displacement mapping*
- ◆ Mapas de entorno
- ◆ Antialiasing y *mipmapping*



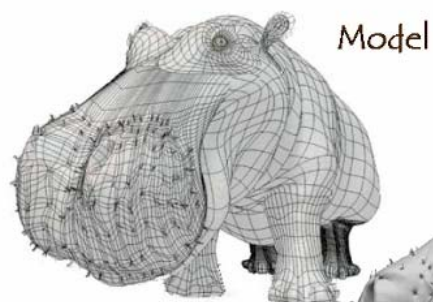


Diego Gutiérrez y Francisco J. Serón





## Aumentando el realismo



Model + Shading



Model + Shading  
+ Textures

At what point  
do things start  
looking real?



For more info on the computer artwork of Jeremy Birn  
see <http://www.3drender.com/jbirn/productions.html>



## Aumentando el realismo



- ◆ Motivación: dejar atrás el aspecto de material plástico del modelo de Phong



- ◆ (Los juegos se basan muchísimo en eso!)



## Aumentando el realismo



© Juan Siquier 2003



Diego Gutiérrez y Francisco J. Serón



## Aumentando el realismo



© Juan Siquier 2003



Diego Gutiérrez y Francisco J. Serón



## Aumentando el realismo



Diego Gutiérrez y Francisco J. Serón

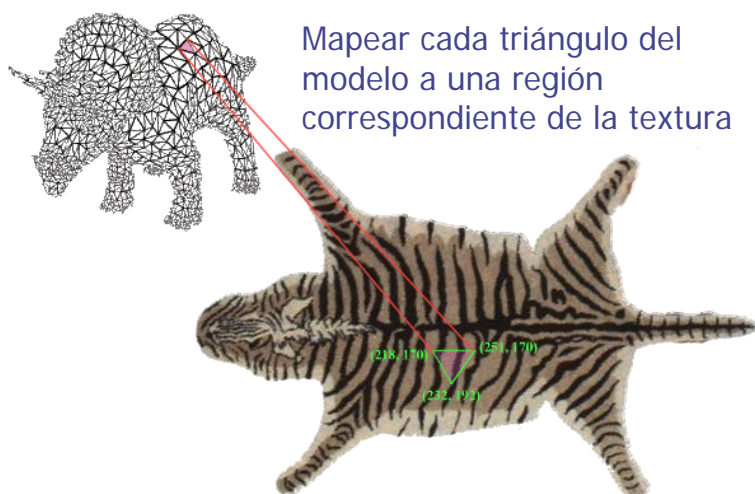


30 Blasphemy 2003



## El concepto

- ◆ El concepto es muy sencillo:



Mapear cada triángulo del modelo a una región correspondiente de la textura

En la fase de rasterización, interpolar los colores de la textura

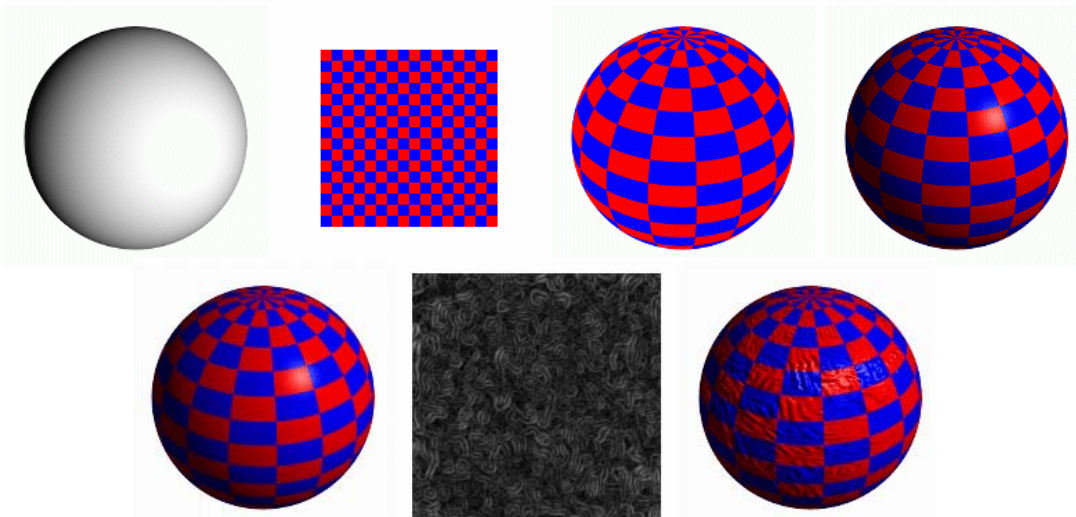


## El concepto

- ◆ Las posibilidades son ilimitadas:

$$I_{total} = k_a I_{ambient} + \sum_{i=1}^{lights} I_i \left( k_d (\hat{N} \cdot \hat{L}) + k_s (\hat{V} \cdot \hat{R})^{n_{shiny}} \right)$$

Phong's Illumination Model





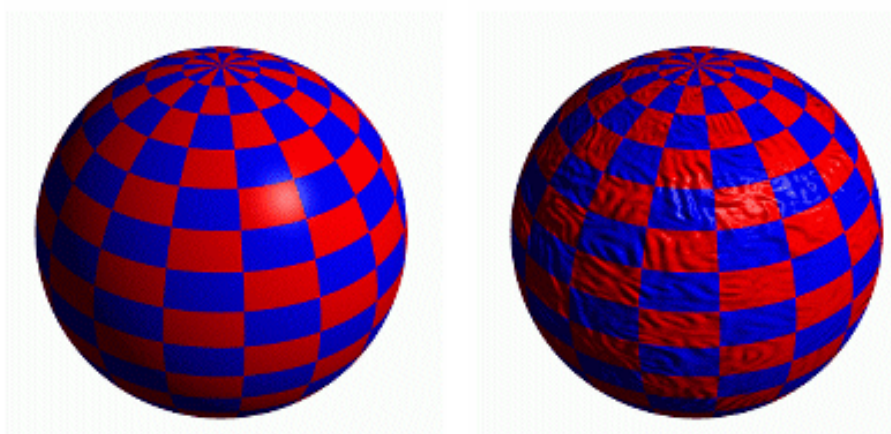
## Tipos de texturas

- ◆ Vamos a considerar dos tipos de texturas de superficie:
  - Patrones, o texturas de color: “pegamos” el patrón sobre una superficie suave, pero ésta sigue pareciendo suave. Este el proceso comúnmente conocido como **mapeado de texturas** (*texture mapping*)



## Tipos de texturas

- ◆ Vamos a considerar dos tipos de texturas de superficie:
  - Rugosidad: utilizando una función de perturbación que *aparentemente* modifique la geometría de la superficie (*bump mapping*; no confundir con los mapas de desplazamiento o *displacement maps*)

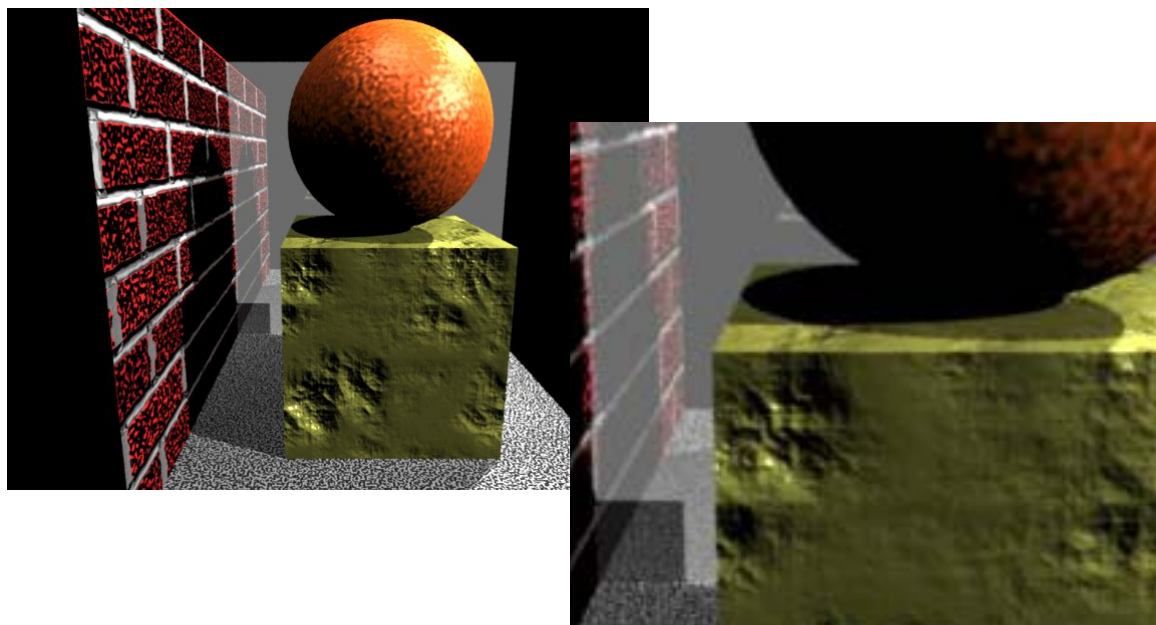






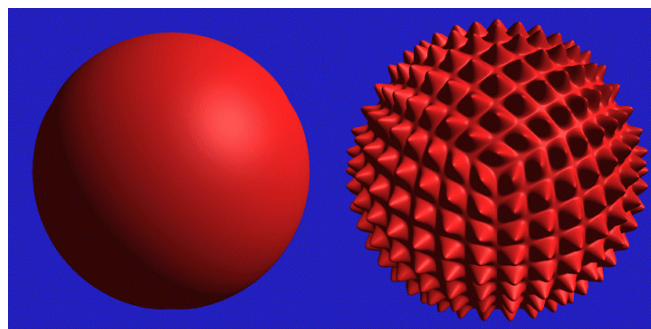
## Tipos de texturas

- ◆ Y hemos dicho **aparentemente!**



## Tipos de texturas

- ◆ Los mapas de desplazamiento modifican realmente la geometría



- ◆ Objetos caros como demonios!
- ◆ La geometría debe ser desplazada antes de determinar la visibilidad
- ◆ No es fácil de implementar en un trazador de rayos (*Geometry Caching for Ray-Tracing Displacement Maps*, Matt Pharr and Pat Hanrahan)
- ◆ Hay otros tipos: transparencia, *IK-weights*, *property guiders* (el pelo de Might Joe Young...), mapas de especularidad...



## Tipos de texturas



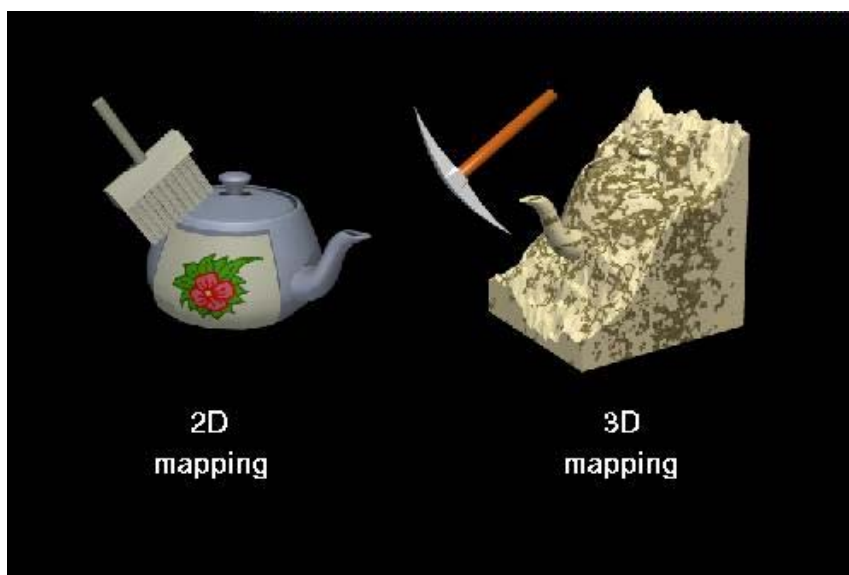
## Coordenadas del mundo o del objeto

- ◆ Casi todos los algoritmos de mapeado usan coordenadas del objeto
- ◆ Objeto: el patrón es solidario al objeto mientras éste se mueve
- ◆ Mundo: el patrón se desliza sobre el objeto si éste se mueve

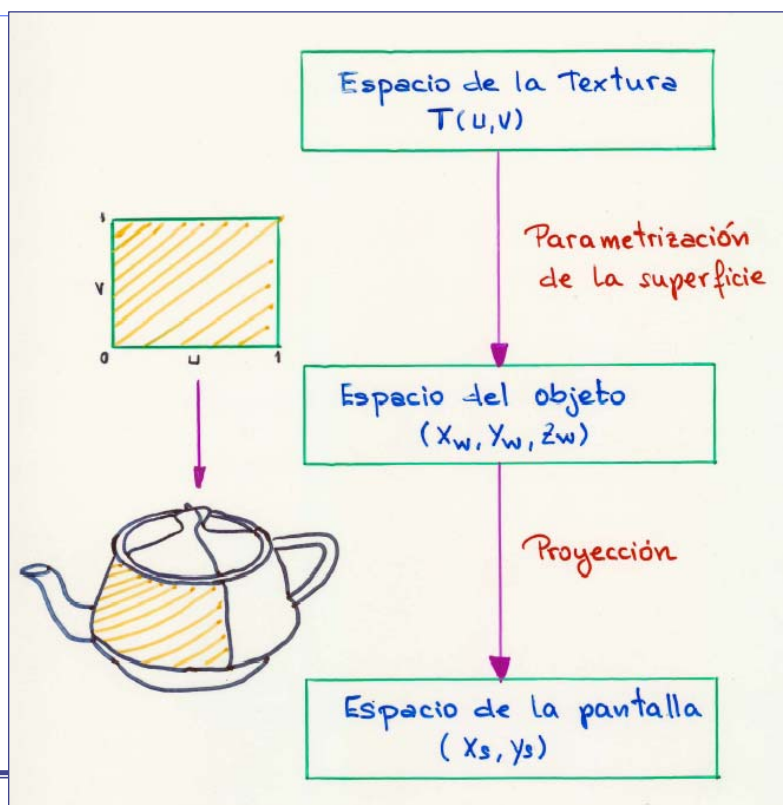




## 2D o 3D



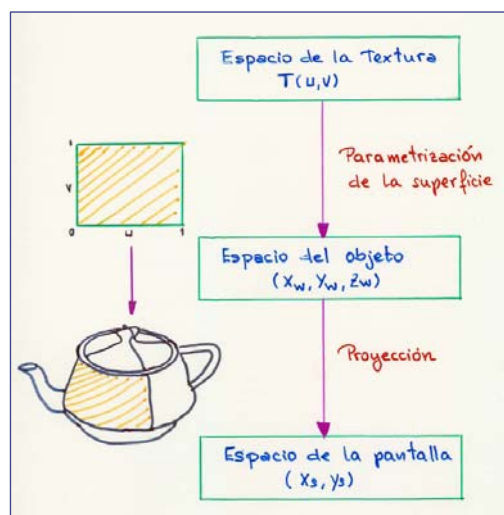
## Mapeado bidimensional





## Mapeado bidimensional

- ◆ Si los objetos están modelados mediante superficies paramétricas, el proceso es posible
- ◆ Si son mallas poligonales, el proceso no está definido

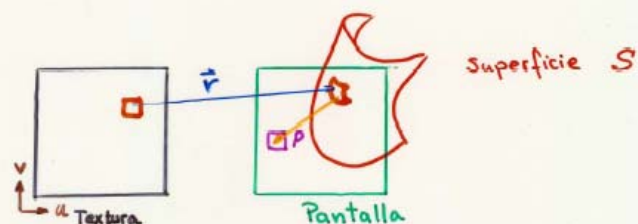


## Mapeado bidimensional

Para dibujar en pantalla

$$S \equiv \vec{r}(u,v) = x(u,v)\vec{i} + y(u,v)\vec{j} + z(u,v)\vec{k}$$

$P \equiv$  proyección del punto  $(x,y,z)$  en la pantalla.

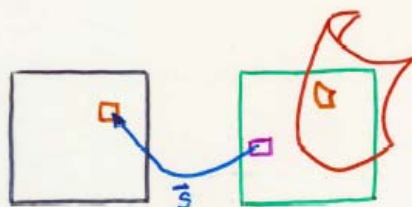




## Mapeado bidimensional

• Para utilizar una textura

Dado un punto de pantalla obtener las coordenadas en el espacio paramétrico



$S \equiv$  Transformación no lineal compuesta por transformaciones inversas a las anteriores.



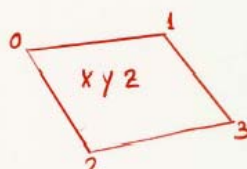
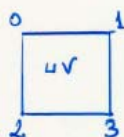
Diego Gutiérrez y Francisco J. Serón



## Mapeado bidimensional

◆ Proceso de dos pasos:

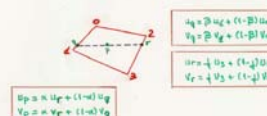
Consideremos el problema de una textura cuadrada que se aplica en un cuadrilátero plano situado en el espacio.



1º) Se establece la correspondencia inicial

$$(U_i, V_i) \rightarrow (X_i, Y_i, Z_i) \quad 0 \leq i \leq 3$$

2º) Se interpolan las coordenadas (uv) de la textura para cada punto interno del polígono utilizando un algoritmo análogo al de Gouraud.



Diego Gutiérrez y Francisco J. Serón



## Mapeado bidimensional

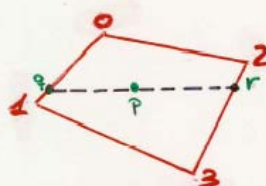
### ◆ Proceso de dos pasos:

Consideremos el problema de una textura cuadrada que se aplica en un cuadrilátero plano situado en el espacio.



1) Se establece la correspondencia  $(u,v) \rightarrow (x,y,z)$  así:

2) Se interpolan las coordenadas  $(u,v)$  de la textura para cada punto interno del polígono utilizando un algoritmo análogo al de Gouraud.



$$\begin{aligned} u_q &= \beta u_1 + (1-\beta) u_0 \\ v_q &= \beta v_1 + (1-\beta) v_0 \end{aligned}$$

$$\begin{aligned} u_r &= \gamma u_3 + (1-\gamma) u_2 \\ v_r &= \gamma v_3 + (1-\gamma) v_2 \end{aligned}$$

$$\begin{aligned} u_p &= \alpha u_r + (1-\alpha) u_q \\ v_p &= \alpha v_r + (1-\alpha) v_q \end{aligned}$$

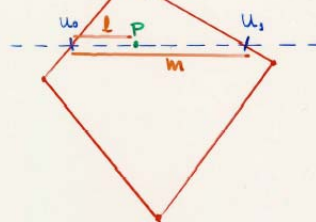


Diego Gutiérrez y Francisco J. Serón



## Mapeado bidimensional

### ◆ Interpolación lineal:



Esquema de interpolación: 
$$\begin{aligned} u_p &= \alpha u_1 + (1-\alpha) u_0 \\ \alpha &= \frac{l}{m} \quad 0 \leq \alpha \leq 1 \end{aligned}$$

Interpolación lineal: 
$$u_p = a_1 p + a_0 \quad 0 \leq p \leq 1$$

esta interpolación debe verificar

$$u_p = u_0 \quad \text{cuando } p=0$$

$$u_p = u_1 \quad \text{cuando } p=1$$

por lo tanto

$$\begin{aligned} u_0 &= a_0 & \left. \begin{array}{l} a_0 = u_0 \\ u_1 = a_1 + a_0 \end{array} \right\} & a_1 = u_1 - u_0 \Rightarrow \underline{u_p = (u_1 - u_0)p + u_0} \end{aligned}$$

¡Ambas expresiones coinciden!

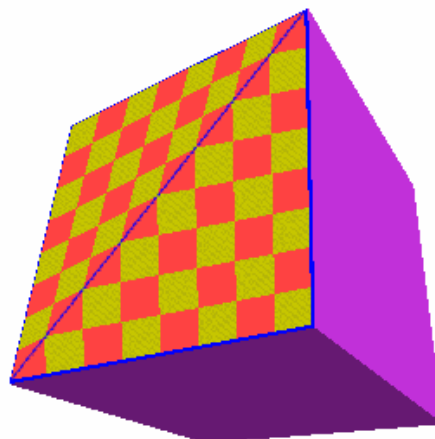
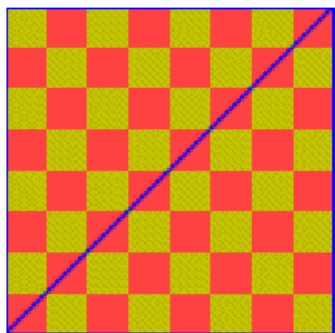


Diego Gutiérrez y Franc



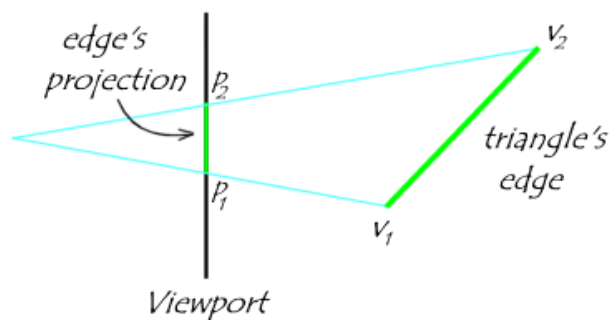
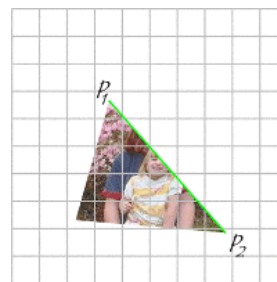
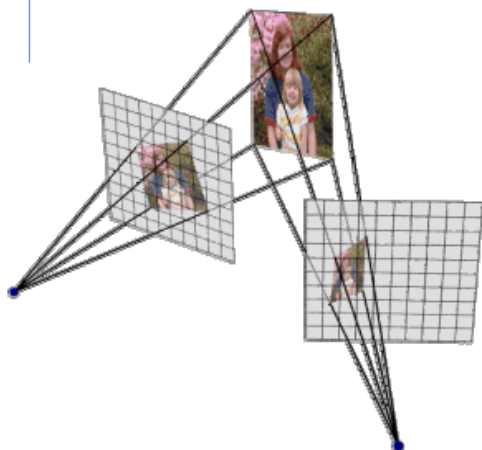
## Efecto de la proyección

- ◆ Hummm..... Algo no funciona aquí...



## Efecto de la proyección

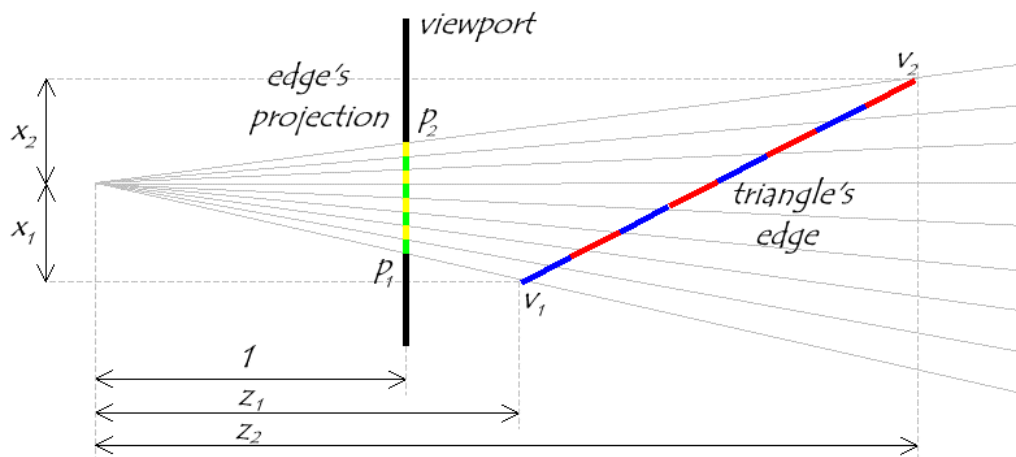
- ◆ Consideremos una arista de un triángulo; esa arista y su proyección pertenecen al mismo plano:



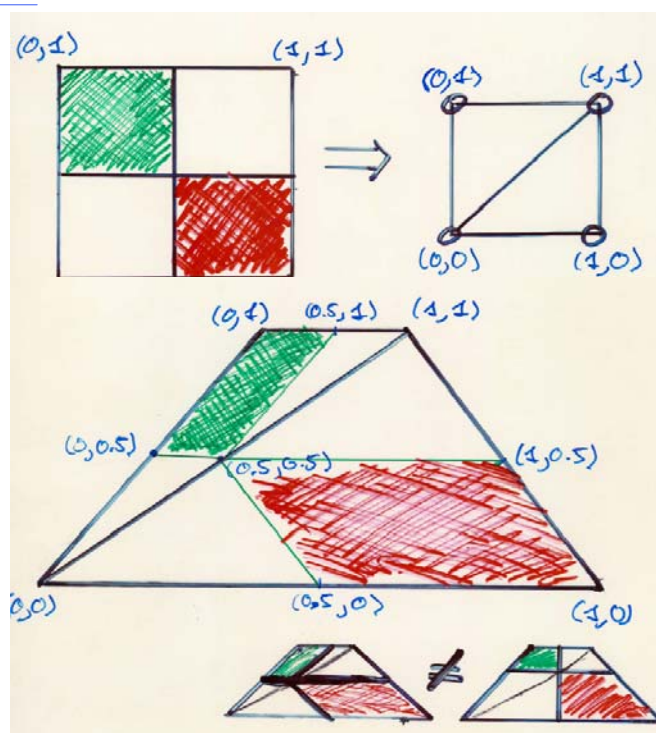


## Efecto de la proyección

- ◆ Se ve cómo intervalos iguales en la proyección no corresponden con intervalos iguales en la arista real



## Efecto de la proyección



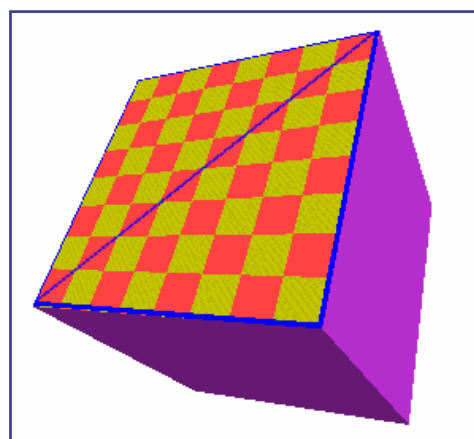
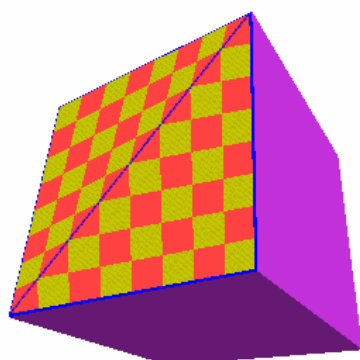
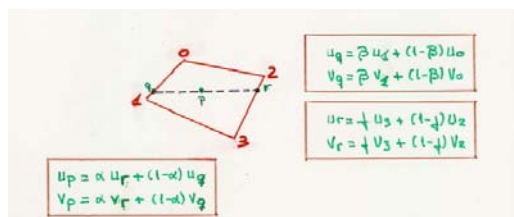




## Efecto de la proyección

### ◆ Solución: coordenadas homogéneas

- 1. Interpolación lineal para u
- 2. Interpolación lineal para v
- 3. Interpolación lineal para w
- $u_f = u/w$                        $v_f = v/w$



## UN MOMENTO!!!!

- ◆ Habíamos dicho que “interpolamos utilizando un algoritmo análogo al de Gouraud...”
- ◆ ... Y hemos visto que ofrecía resultados erróneos
- ◆ ¿Significa eso que Gouraud está mal?

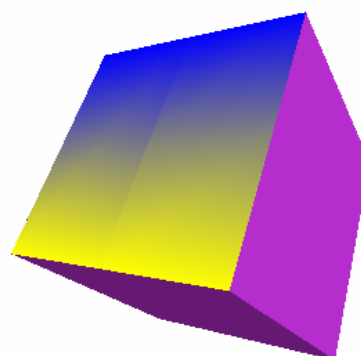
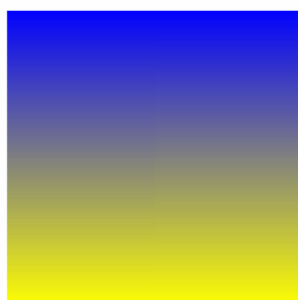
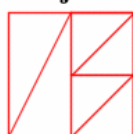
# SI



## UN MOMENTO!!!!

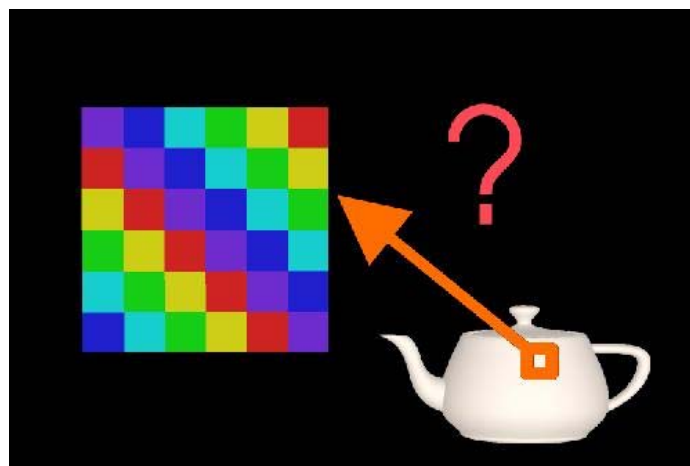
- ◆ El sombreado de Gouraud es erróneo. Lo que pasa es que la transición de colores es suave, y como además no sabemos el color que debería salir (sólo nos importa que salga algo bonito)...
- ◆ A veces el error se hace aparente:
  - Cuando cambiamos de nivel de detalle
  - En juntas-T

A "T" joint



## Mapeado bidimensional

- ◆ ¿Cómo pegamos la imagen en el objeto?
- ◆ Para cada pixel, debemos responder a la pregunta: ¿a qué parte de la textura miro para coger el color?





## Mapeado bidimensional

- ◆ La textura se suele aplicar sobre una superficie intermedia antes de aplicarse sobre el objeto (*two-part mapping*)

Procedimiento:

1) S-mapping

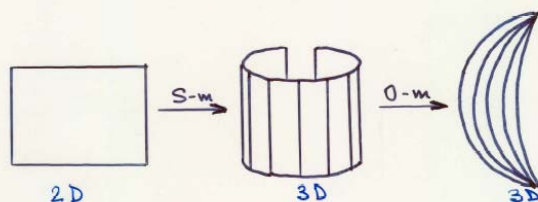
$$T(u,v) \rightarrow T'(x_i, y_i, z_i)$$

textura 2D      objeto intermedio 3D

2) O-mapping

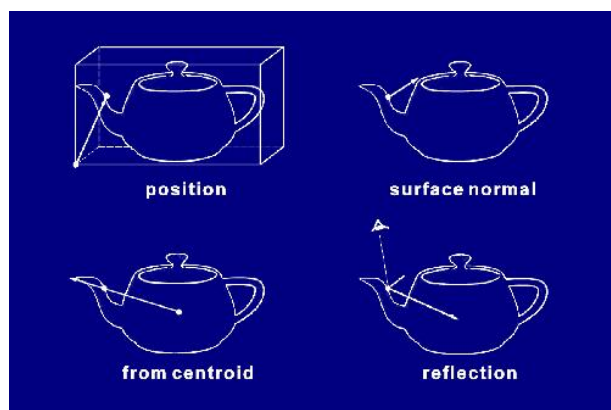
$$T'(x_i, y_i, z_i) \rightarrow O(x_w, y_w, z_w)$$

objeto int. 3D      Superficie 3D



## Mapeado bidimensional

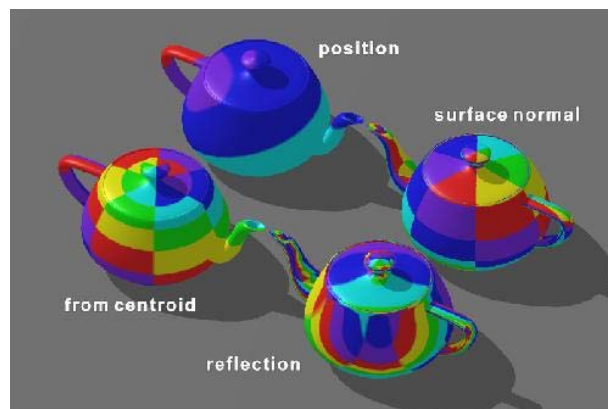
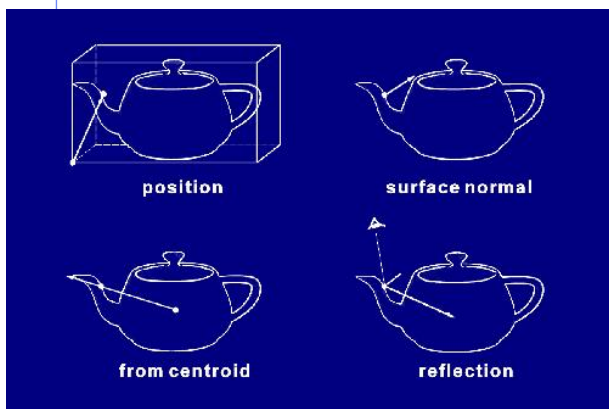
- ◆ Para el mapeado S:
  - > Plano
  - > Cilindro
  - > Esfera
  - > Cubo
- ◆ Para el mapeado O:





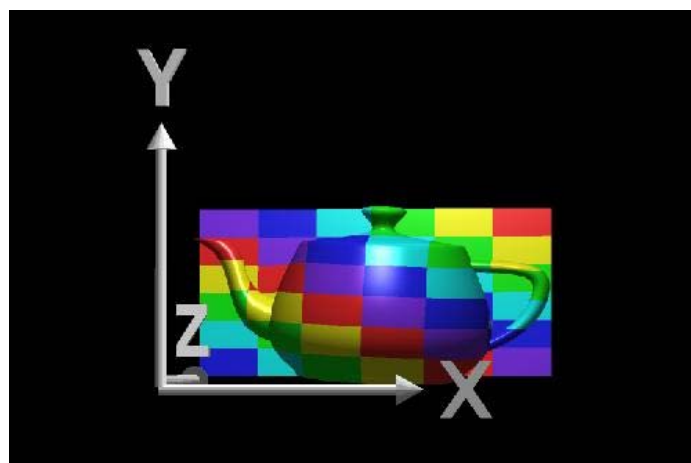
## Mapeado bidimensional

- ◆ Lo más usual es tomarlo relativo al centro de masas del objeto, pero hay más posibilidades
- ◆ Por ejemplo, para el caso del mapeado cilíndrico, las diferentes opciones nos darían los siguientes resultados:



## Mapeado planar

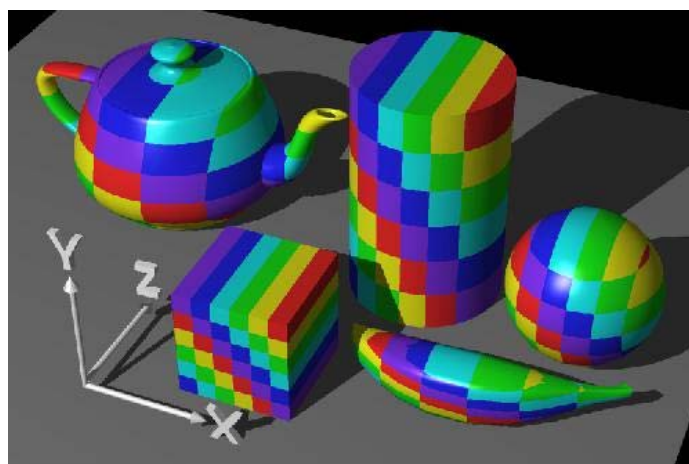
- ◆ Cogemos un valor  $(x,y,z)$  del objeto y descartamos una componente ) lo cual nos deja coordenadas 2D (coordenadas planares). Usamos esas coordenadas para buscar el color en la textura





## Mapeado planar

- ◆ Presenta serios problemas...

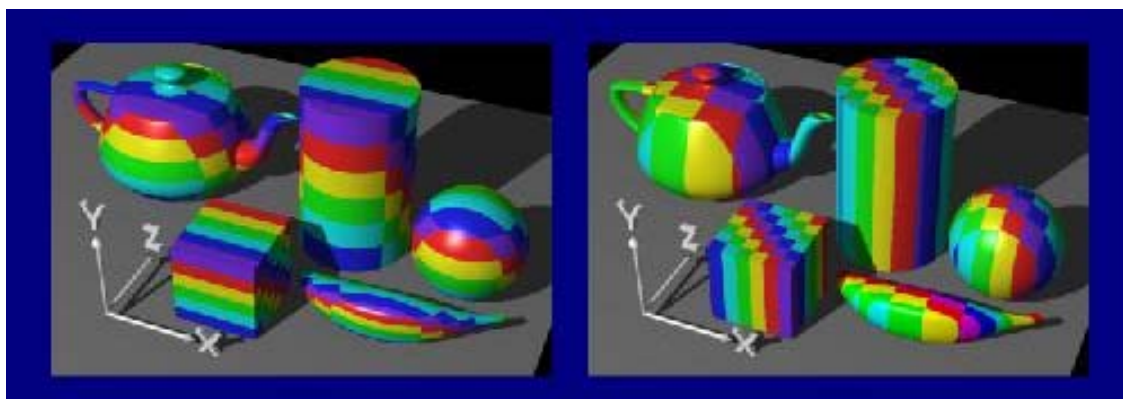


- ◆ El color en el objeto no varía a lo largo de la coordenada descartada!



## Mapeado planar

- ◆ ¿Qué componentes se habían descartado en estos dos dibujos?





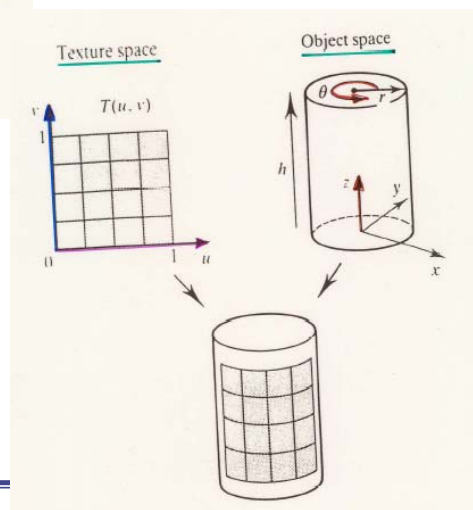
## Mapeado cilíndrico

- ◆ (o etiqueta sobre bote de tomate)
- ◆ Convertimos un valor  $(x,y,z)$  en coordenadas cilíndricas  $(r, \theta, \text{altura})$ . En mapeado de texturas, sólo nos interesan  $\theta$  y la altura
- ◆ Para hallar el color,  $\theta$  se convierte a un valor de  $x$ , y la altura a un valor de  $y$



## Mapeado cilíndrico

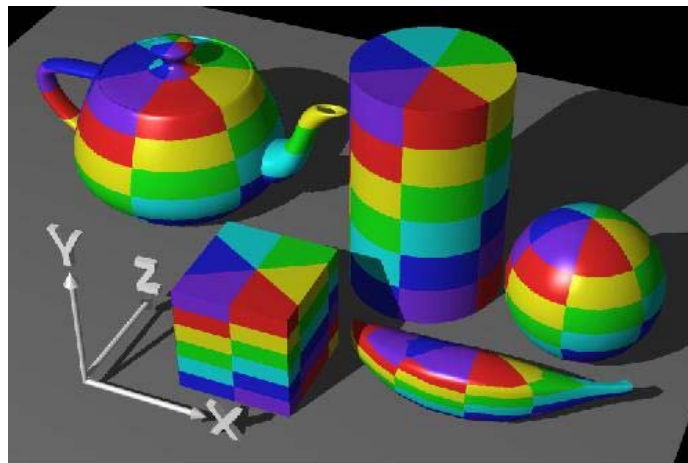
- parametric representation of a cylinder  $(\theta, z)$   
 $(r \cos \theta, r \sin \theta, hz)$   $0 \leq \theta \leq 2\pi$   $0 \leq z \leq 1$
- cylindrical mapping  $(0,0)$  position of texture  
 $(u,v) = \left( \frac{\theta}{2\pi}, z \right)$   $u,v \in [0,1]$
- cylindrical mapping  $(\theta_0, z_0)$  position of texture  
 $(u,v) = \left[ \frac{\theta - \theta_0}{2\pi}, z - z_0 \right]$   $u,v \in [0,1]$





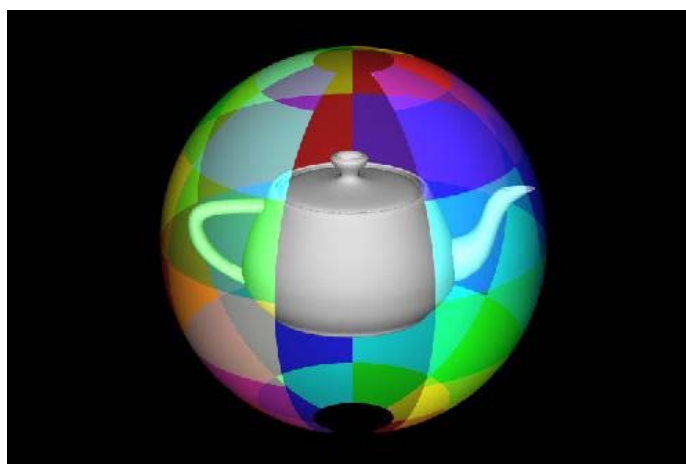
## Mapeado cilíndrico

- ◆ Efectos de “trozos de tarta” en las coordenadas  $t_{\max}$  y  $t_{\min}$  (siendo  $t[x,y,z]$  el eje del cilindro usado para mapear)



## Mapeado esférico

- ◆ Convertimos un valor  $(x,y,z)$  en coordenadas esféricas  $(r, \theta, \phi)$ . En mapeado de texturas, sólo nos interesan  $\theta$  (latitud) y  $\phi$  (longitud)
- ◆ Para hallar el color,  $\theta$  se convierte a un valor de  $x$ , y  $\phi$  a un valor de  $y$





## Mapeado esférico

- The local coordinate system (origin at sphere's centre) is defined by two unit vectors,

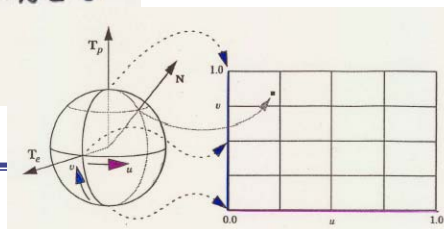
$\vec{T}_p$  which point from the origin to the north pole  
 $\vec{T}_e$  " " " " " " " " equator

- Spherical mapping

$v = \frac{\phi}{\pi}$  where  $\phi$  is a latitudinal parameter

$$\phi = \cos^{-1}(-\vec{T}_p \cdot \vec{N})$$

$$\begin{cases} u = \frac{\cos^{-1}[(\vec{T}_e \cdot \vec{N})/\sin\phi]}{2\pi} & \text{if } (\vec{T}_p \wedge \vec{T}_e) \cdot \vec{N} \geq 0 \\ u = u-1 & \text{if } (\vec{T}_p \wedge \vec{T}_e) \cdot \vec{N} < 0 \end{cases}$$



Diego Gutiérrez y Francisco J. Serón



## Mapeado esférico

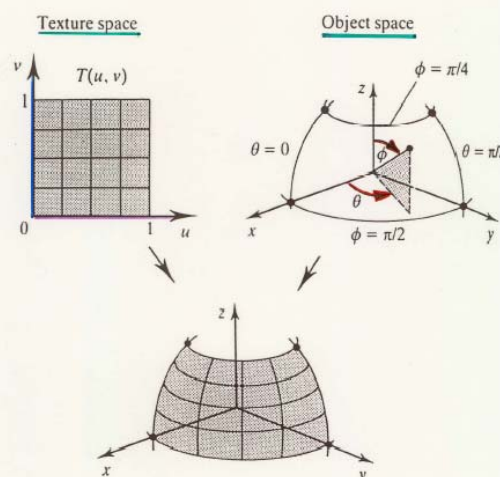
- parametric representation of a part of a sphere  $(\theta, \phi)$

$$(r \cos\theta \sin\phi, r \sin\theta \sin\phi, r \cos\phi) \quad 0 \leq \theta \leq \pi/2$$

$$\pi/4 \leq \phi \leq \pi/2$$

- spherical mapping

$$(u, v) = \left[ \frac{\theta}{\pi/2}, \frac{(\pi/2) - \phi}{\pi/4} \right] \quad u, v \in [0, 1]$$

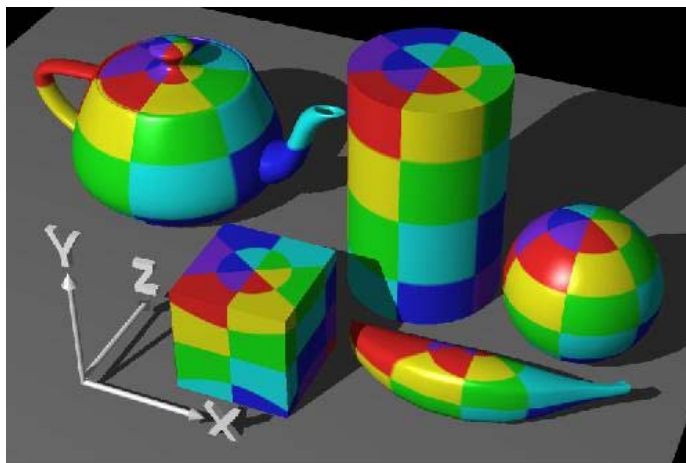






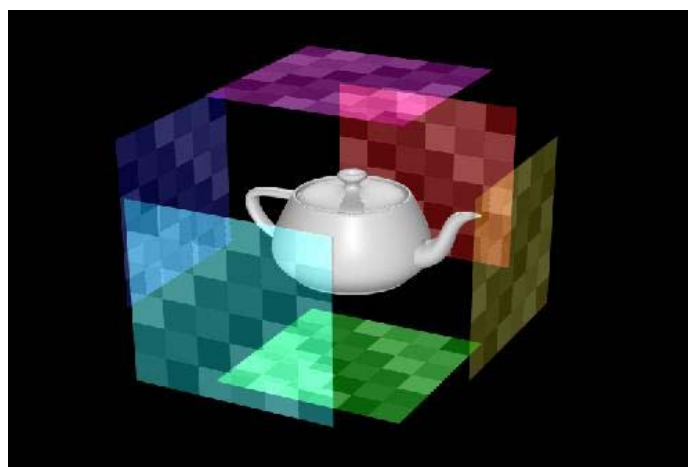
## Mapeado esférico

- ◆ Los polos de la esfera de mapeado están sobre el eje Y. En los "polos" del objeto, aparecen de nuevo los efectos de "trozo de tarta", aunque la singularidad aquí es más severa. El mapeado esférico estira la textura en el ecuador y la encoge al acercarnos a los polos.



## Mapeado en caja

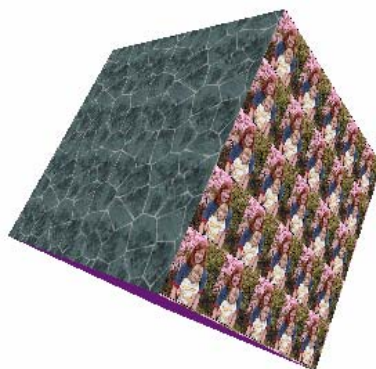
- ◆ Similar a seis mapeados planares





## Repetición de texturas

- ◆ a.k.a. *tileado de texturas*
- ◆ La textura ha de ser tileable (photoshop)
- ◆ Aún así, ojo con los patrones: el ojo humano es increíblemente bueno detectándolos!



## Repetición de texturas

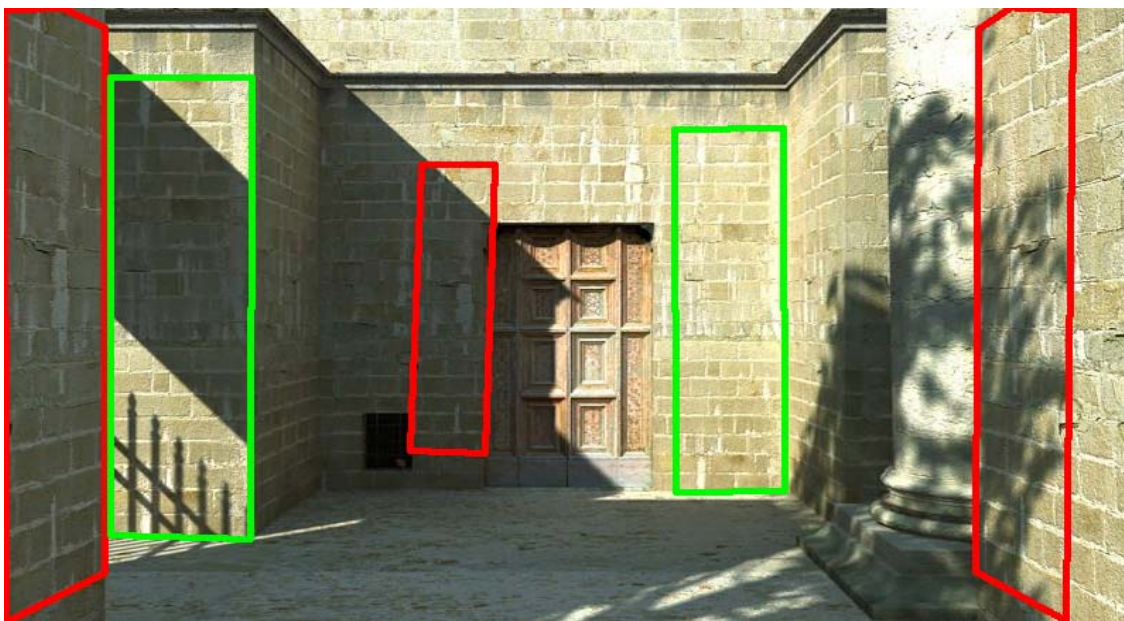
- ◆ Pensad en formas inteligentes de romper los patrones!





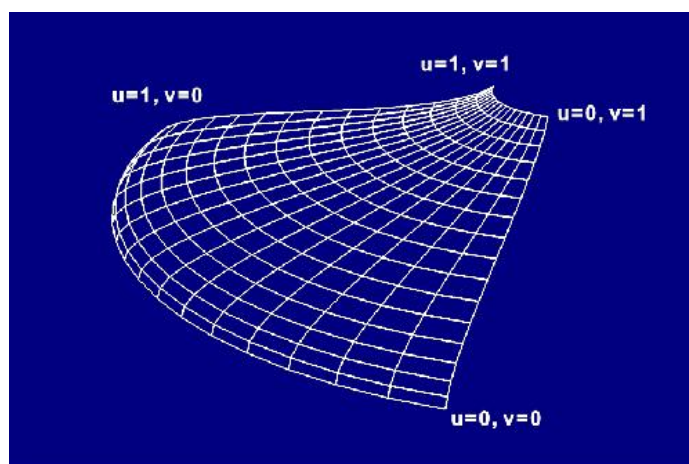
## Repetición de texturas

- ◆ Pensad en formas inteligentes de romper los patrones!



## Superficies paramétricas

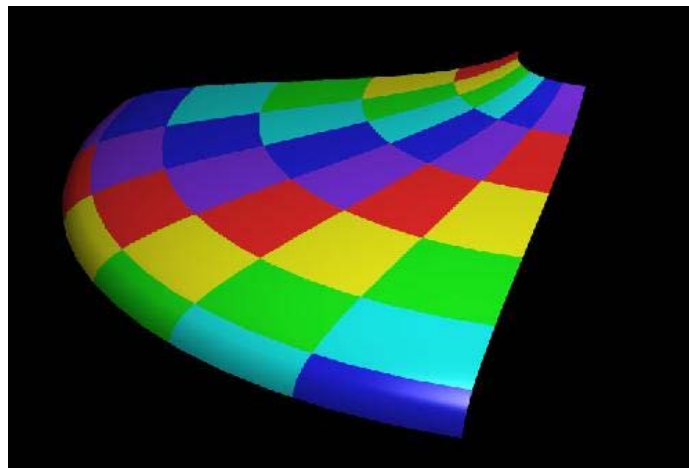
- ◆  $(u,v)$  son las coordenadas paramétricas normalizadas de la superficie
- ◆ Multiplicando estas coordenadas por la resolución en pixels de la textura, obtenemos las coordenadas del pixel de textura (texel) correspondiente





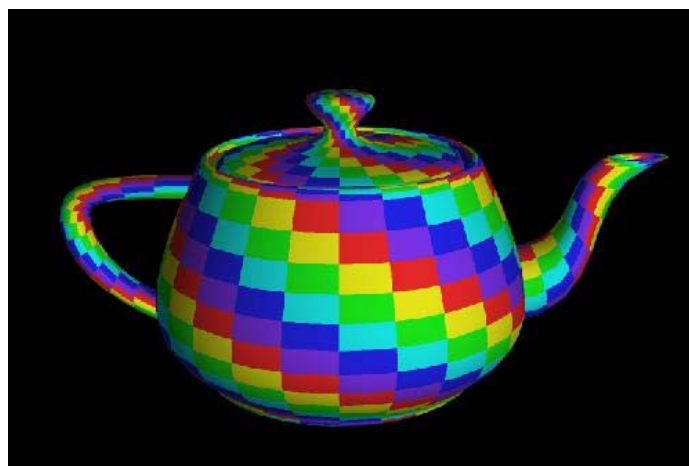
## Superficies paramétricas

- ◆  $(u,v)$  son las coordenadas paramétricas normalizadas de la superficie
- ◆ Multiplicando estas coordenadas por la resolución en pixels de la textura, obtenemos las coordenadas del pixel de textura (texel) correspondiente



## Superficies paramétricas

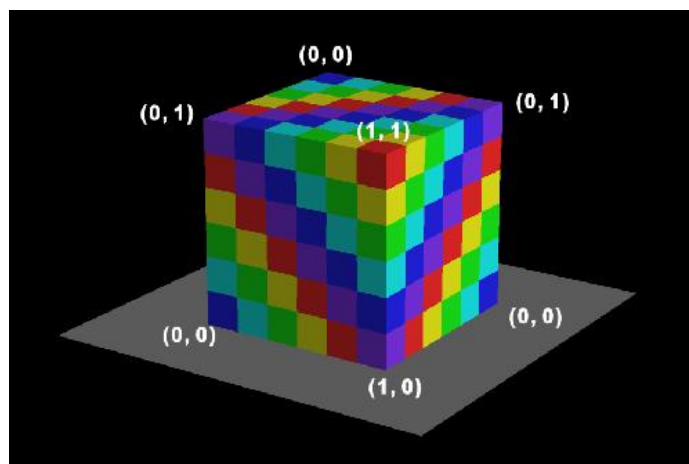
- ◆ Esta tetera contiene 32 parches (*patches*) paramétricos, a cada uno de los cuales se ha asignado una copia de la textura





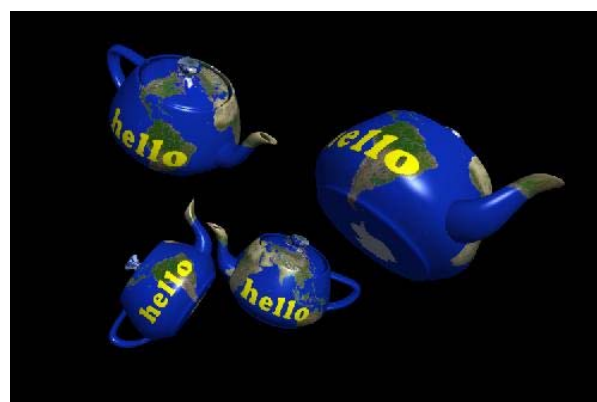
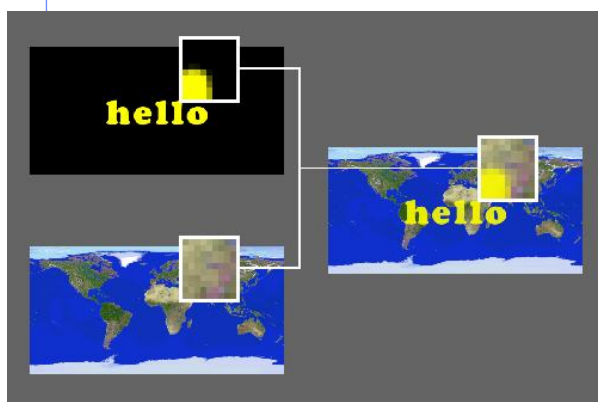
## Superficies paramétricas

- ◆ Podemos usar la misma técnica a superficies no paramétricas, sin más que asignar coordenadas  $(u,v)$   $[0..1]$  a cada vértice.



## El canal alfa

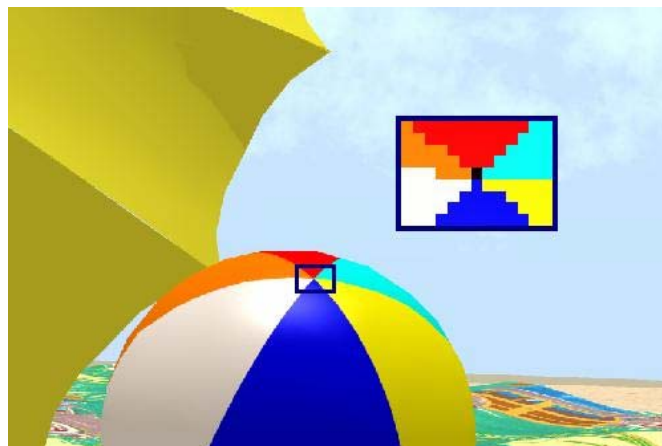
- ◆ El canal alfa (RGBA) indica el grado de transparencia del píxel
- ◆ Permite (entre otra cosas) utilizar una textura encima de otra y combinarlas





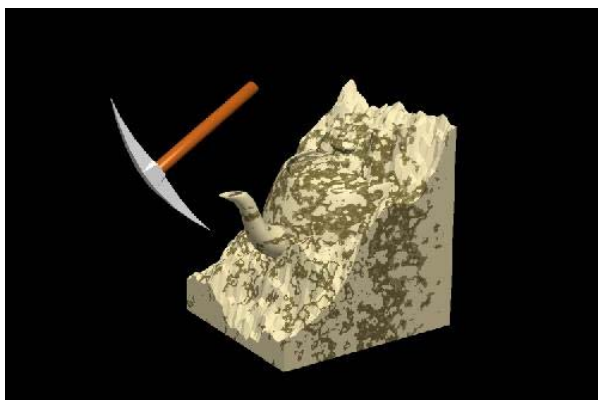
## Aviso a los programadores

- ◆ El mapeado de texturas 2D no está exento de singularidades matemáticas
- ◆ En el mapeado esférico, todos los puntos  $y_{\min}$  e  $y_{\max}$  de la textura acaban colapsando en los polos
- ◆ Un programa debe estar preparado para manejar estos eventos...



## Texturas 3D

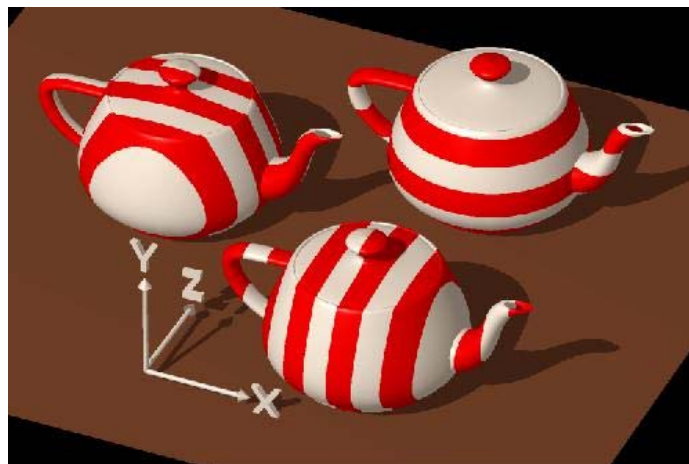
- ◆ El mapeado de texturas 3D usa directamente las coordenadas  $(x,y,z)$  del objeto para calcular directamente el color (similar a esculpir el objeto a partir de un bloque sólido)
- ◆ Generalmente no se define explícitamente un valor para cada  $(x,y,z)$ , sino que se obtiene evaluando una función; por eso suelen llamarse **texturas procedurales**





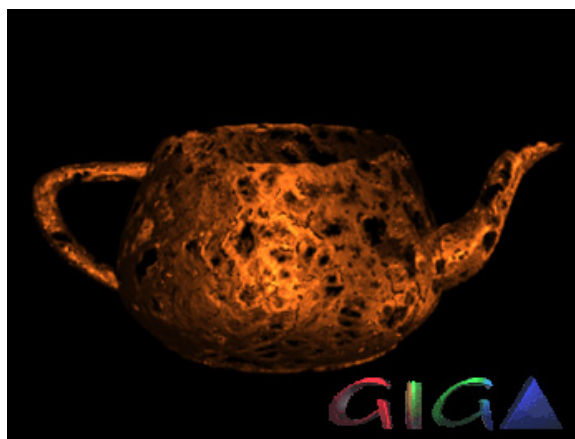
## Texturas 3D

- ◆ Por ejemplo, para mapear la tetera de la izquierda hemos usado un procedimiento que hallaba la parte entera de la coordenada z de cada punto; si era par, pintamos de rojo, y si era impar, de blanco



## Texturas 3D

- ◆ Mármol, madera...
- ◆ Procedimientos similares pueden aplicarse durante el modelado





## Texturas 3D

### ◆ Algunos ejemplos:

```

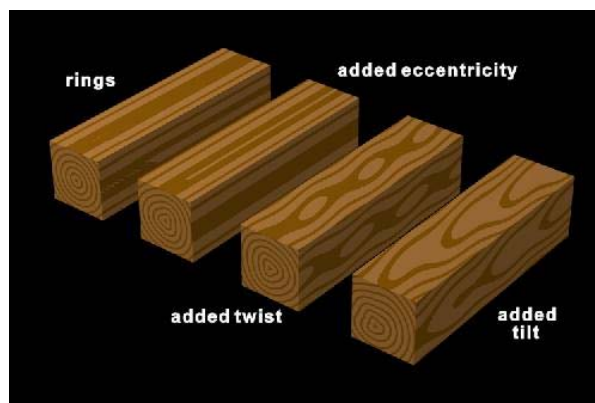
> gray = noise(x,y,z)
if(gray > threshold)
  choose white
else choose black

```



> Madera a partir de círculos concéntricos

> Mármol a partir de noise(x,y,z)



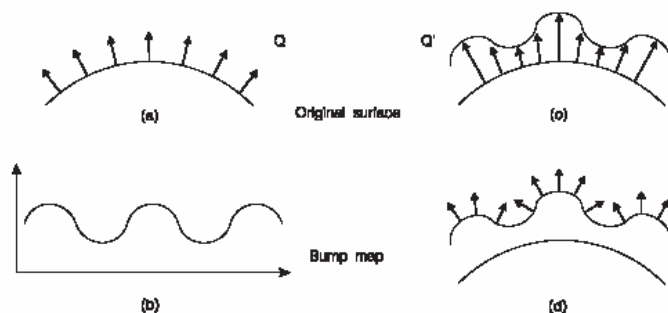
Diego Gutiérrez y Francisco J. Serón



## Bump mapping

### ◆ Introducido por Blinn (1978)

◆ Se altera la normal a la superficie antes de los cálculos de sombreado



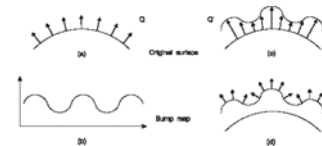
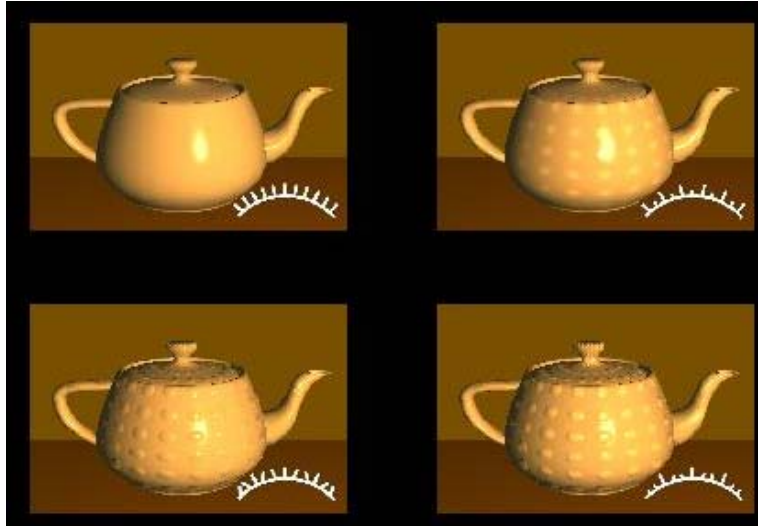
Diego Gutiérrez y Francisco J. Serón





## Bump mapping

- ◆ Introducido por Blinn (1978)
- ◆ Se altera la normal a la superficie antes de los cálculos de sombreado



## Bump mapping

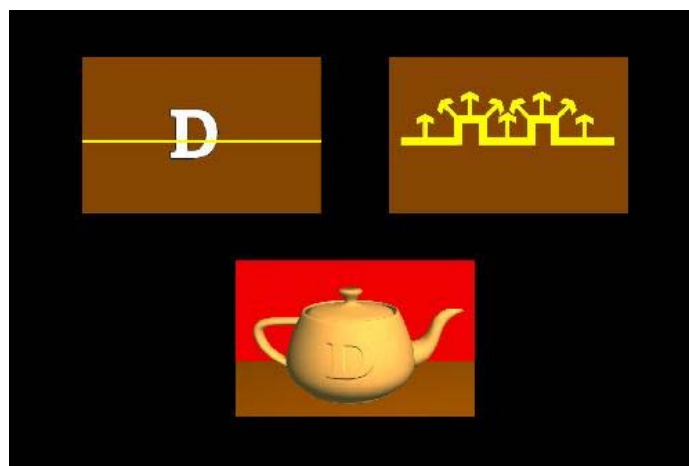
- ◆ Recuerda: el *bump mapping* no altera la superficie de los objetos
- ◆ Únicamente **engaña** al algoritmo de *shading* para crear superficies interesantes





## Bump mapping

- ◆ Recuerda: el *bump mapping* no altera la superficie de los objetos
- ◆ Únicamente **engaña** al algoritmo de *shading* para crear superficies interesantes



## Bump mapping

Superficie original  
 $\vec{P}(u,v) = X(u,v)\vec{i} + Y(u,v)\vec{j} + Z(u,v)\vec{k}$   
 $\vec{N}(u,v) = \vec{P}_u \times \vec{P}_v$

Función de perturbación  
 $F(u,v)$

Superficie perturbada  
 $\vec{P}'(u,v) = \vec{P}(u,v) + F(u,v) \frac{\vec{N}}{|\vec{N}|}$

Normales a la superficie perturbada  
 $\vec{N}'(u,v) = \vec{P}'_u \times \vec{P}'_v$



## Bump mapping

$$* \vec{N}'(u,v) = \vec{P}'_u * \vec{P}'_v \quad \text{siendo} \quad \vec{P}'(u,v) = \vec{P}(u,v) + F(u,v) \frac{\vec{N}}{|\vec{N}|}$$

$$\vec{P}'_u = \vec{P}_u + F_u \cdot \frac{\vec{N}}{|\vec{N}|} + F \left( \frac{\vec{N}}{|\vec{N}|} \right)_u$$

$$\vec{P}'_v = \vec{P}_v + F_v \cdot \frac{\vec{N}}{|\vec{N}|} + F \left( \frac{\vec{N}}{|\vec{N}|} \right)_v$$

Suponiendo que  $F$  es una perturbación "pequeña"

$$\vec{P}'_u \approx \vec{P}_u + F_u \cdot \frac{\vec{N}}{|\vec{N}|}$$

$$\vec{P}'_v \approx \vec{P}_v + F_v \cdot \frac{\vec{N}}{|\vec{N}|}$$



## Bump mapping

Por lo tanto

$$\vec{N}' = \vec{P}'_u \times \vec{P}'_v \approx \left( \vec{P}_u + F_u \cdot \frac{\vec{N}}{|\vec{N}|} \right) \times \left( \vec{P}_v + F_v \cdot \frac{\vec{N}}{|\vec{N}|} \right)$$

$$\vec{N}' \approx \vec{P}_u \times \vec{P}_v + (\vec{P}_u \times \vec{N}) \frac{F_u}{|\vec{N}|} + (\vec{N} \times \vec{P}_v) \frac{F_v}{|\vec{N}|} + \cancel{(\vec{N} \times \vec{N}) \frac{F_u F_v}{|\vec{N}| |\vec{N}|}}$$

Con lo cual

$$\vec{N}' \approx \vec{N} + \vec{D} \quad \text{siendo} \quad \vec{D} = \left[ (\vec{N} \times \vec{P}_v) F_u - (\vec{N} \times \vec{P}_u) F_v \right] / |\vec{N}|$$

Obsérvese que lo interesante de la función  $F(u,v)$  es el valor de sus derivadas  $F_u$  y  $F_v$ .



## Bump mapping

La expresión  $\vec{N}' = \vec{N} + \vec{D}$  no es independiente del cambio de escala del objeto.

Si la superficie sufre un cambio de escala de factor "s", entonces  $\vec{N}$  sufre un cambio de factor "s<sup>2</sup>" y  $\vec{D}$  de factor "s".

Con objeto de que  $\vec{D}$  sea invariante bajo cambio de escala se sugiere

$$\vec{D}' = a \vec{D} \frac{|\vec{N}|}{|\vec{D}|} \quad \text{obsérvese que } |\vec{D}'| = a |\vec{N}|$$

siendo

$$a = (F_u^2 + F_v^2)^{1/2}$$



## Bump mapping

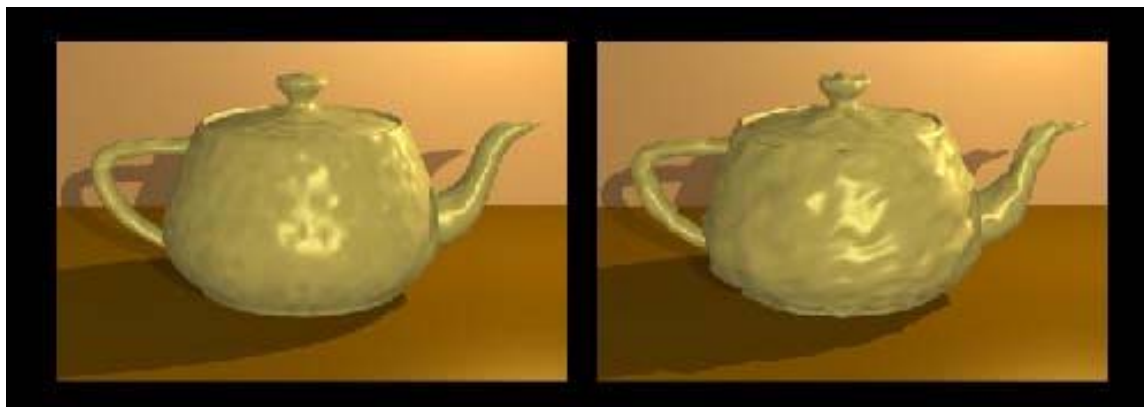
Obsérvese que el valor de a es  $\frac{|\vec{D}'|}{|\vec{N}|}$ , si la superficie  $\vec{P}(u,v) = u\vec{i} + v\vec{j} + 0\vec{k}$  entonces  $\vec{N} = (0, 0, 1)$   
 $\vec{D} = (-F_u, -F_v, 0)$

$$\left. \begin{array}{l} \vec{D}' = a (-F_u, -F_v, 0) \frac{1}{\sqrt{F_u^2 + F_v^2}} \\ |\vec{D}'| = a \end{array} \right\} a = (F_u^2 + F_v^2)^{1/2}$$



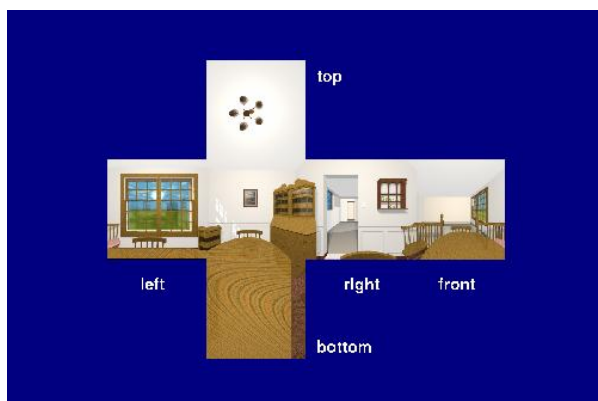
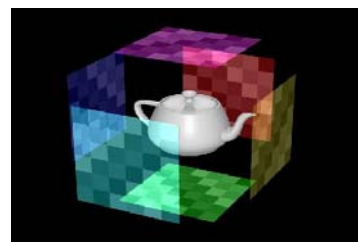
## Bump vs. Displacement

- ◆ El mapa de desplazamiento (Cook, 1984) sí modifica la superficie real
- ◆ Qué tetera tiene *bump* y cuál *displacement*?



## Mapas de entorno

- ◆ a.k.a *environment maps* (Blinn y Newell, 1976). Efectos de reflejos sin necesidad de *ray tracing*
- ◆ Podemos usar un *z-buffer* en vez de trazar rayos





## (un paréntesis)

### <parentesis>

- No todo es *ray-tracing* en informática gráfica!!

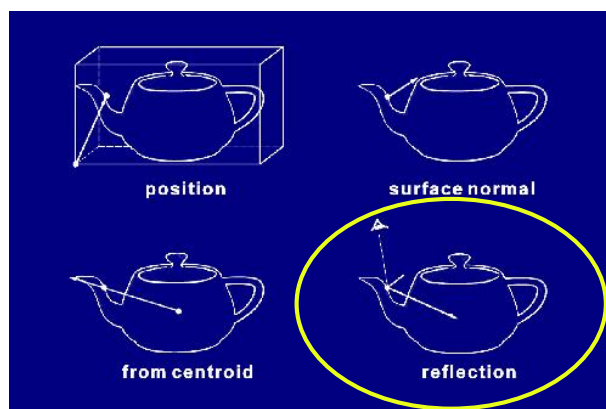


### </parentesis>



## Mapas de entorno

- ◆ ¿Recordáis que para elegir un punto teníamos diferentes opciones?





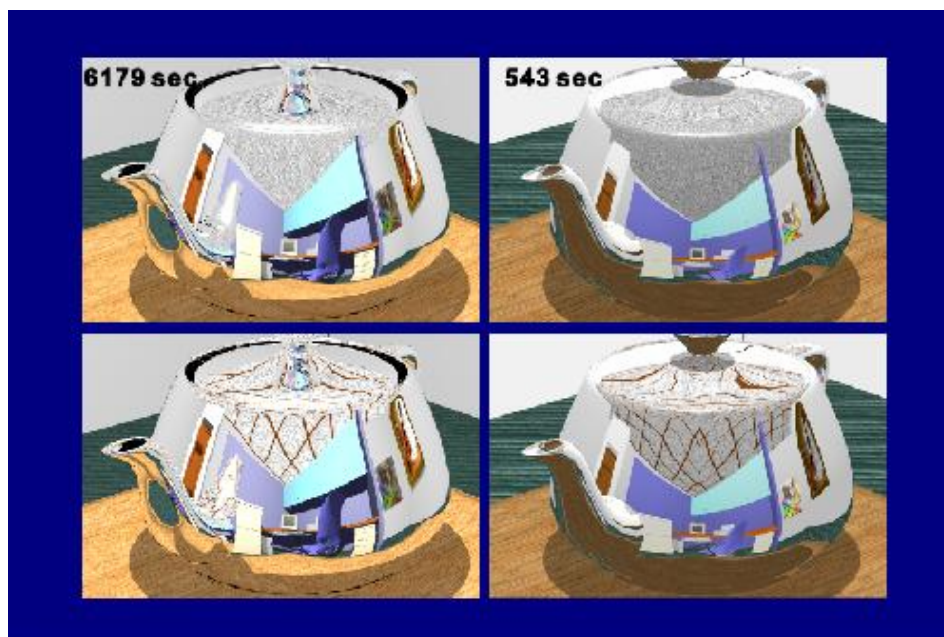
## Mapas de entorno

- ◆ Trazado de rayos vs. mapa de desplazamiento: ¿veis alguna diferencia?



## Mapas de entorno

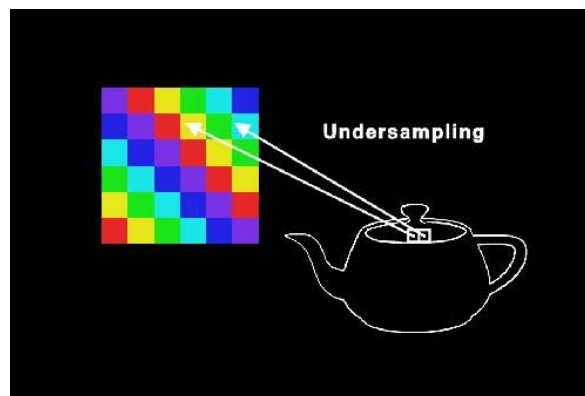
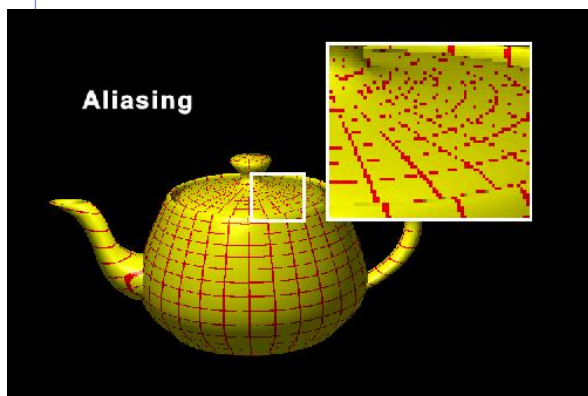
- ◆ Coste vs. resultado





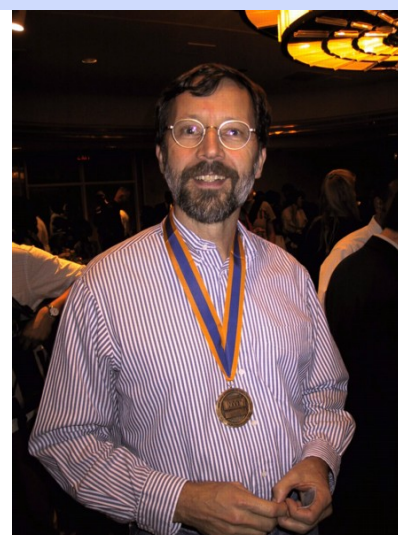
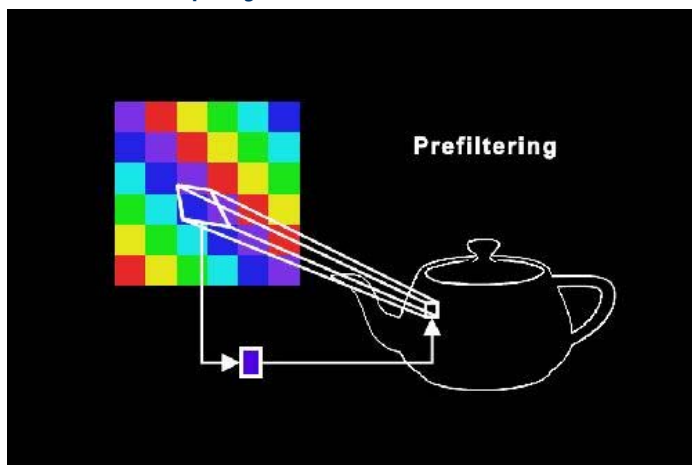
## Aliasing

- ◆ El aliasing en las texturas es debido a que dos pixels adyacentes del objeto pueden no mapearse con dos pixels adyacentes de la textura



## Antialiasing

- ◆ **Prefiltrado:** (Catmull, 1978)
- ◆ Trata los pixels como áreas
- ◆ Promedia los valores de todos los pixels de la textura (texels) que caen dentro del área proyectada

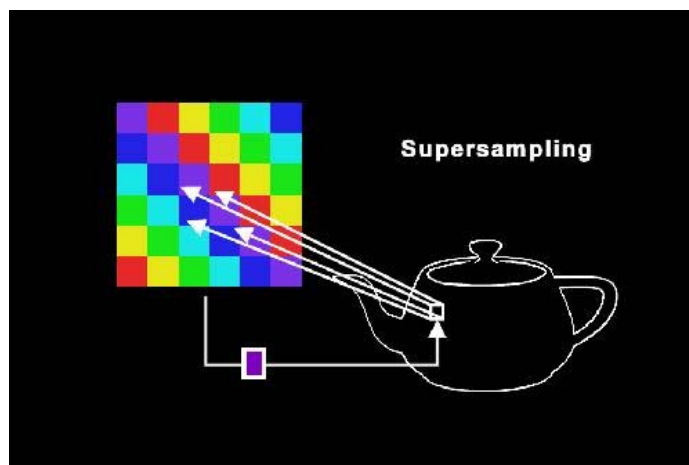




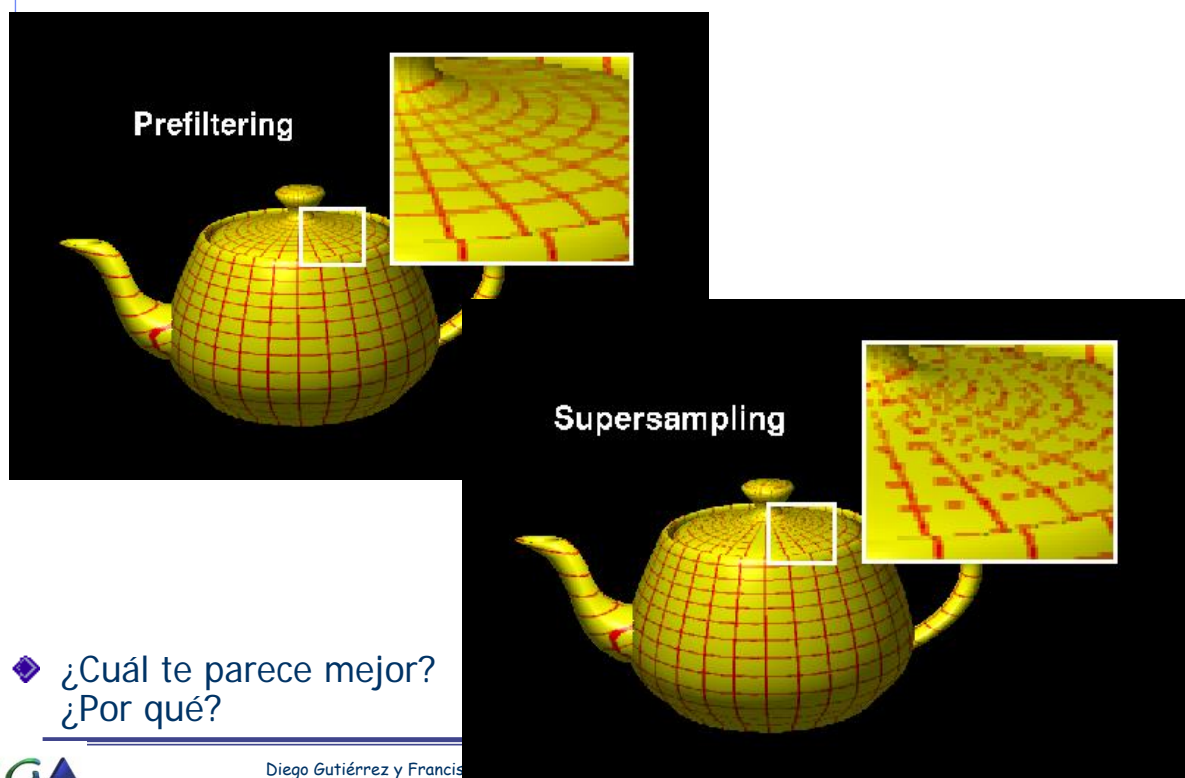


## Antialiasing

- ◆ **Supersampling:** similar, pero se promedian varios valores dentro del área proyectada (Crow, 1981).
- ◆ En el ejemplo, se escogen los valores de las esquinas



## Antialiasing

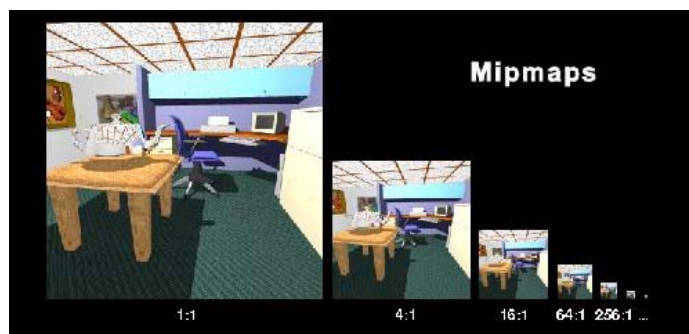


- ◆ ¿Cuál te parece mejor?  
¿Por qué?



## Mipmapping

- ◆ El antialiasing es un método computacionalmente caro
- ◆ Mipmapping se basa en precalcular algunos de los colores promedio de la textura (Williams, 1983)

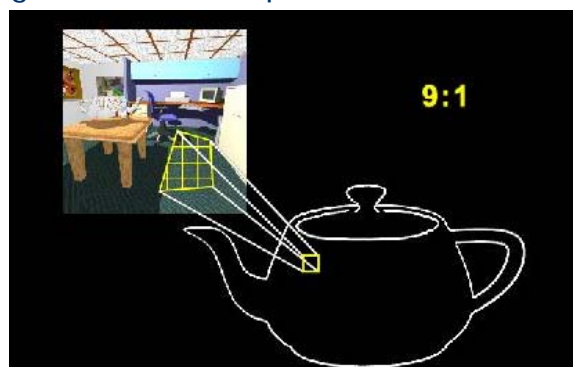


- ◆ El proceso acaba con una textura de un pixel, que contiene el color promedio de toda la textura original



## Mipmapping

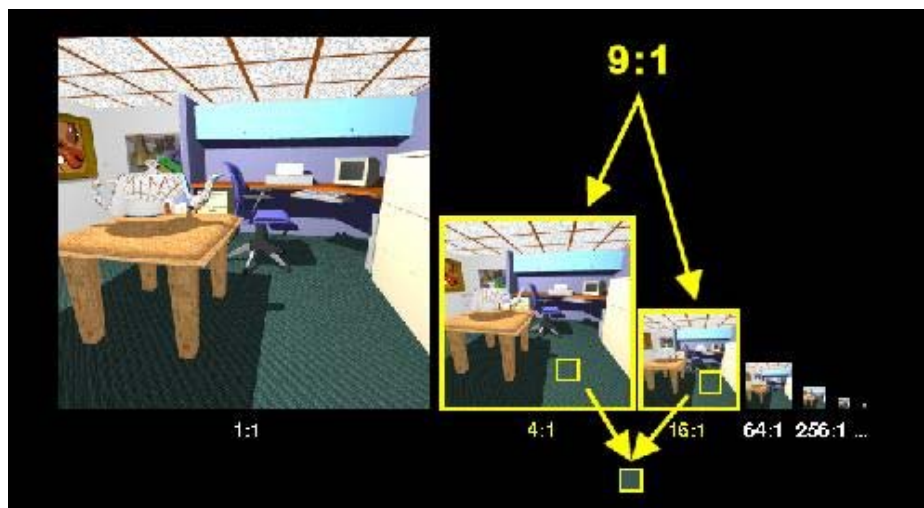
- ◆ Durante el mapeado de la textura:
  - Se mapea el área de cada pixel sobre la textura original
  - Se calcula el número de texels del área de la textura
  - Ese número indica el número de texels que influirán en el color final del pixel
  - En el ejemplo, tenemos que 9 texels se mapearán en un pixel del objeto, luego el ratio texels-pixels es 9:1





## Mipmapping

- ◆ Para calcular el color final, se encuentran las dos versiones de la textura cuyos ratios más se aproximen al ratio texel-pixel obtenido
- ◆ Buscamos los colores en los mapas correspondientes y los promediamos



## Mipmapping

- ◆ La figura muestra una forma eficiente de almacenar un mipmap en memoria (overhead=1/3)





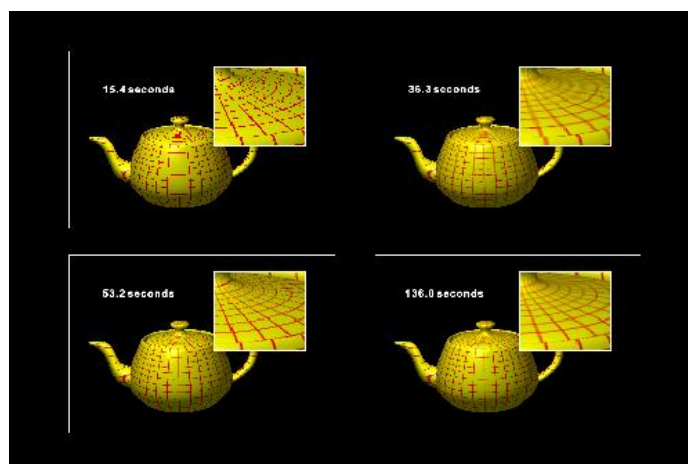
## Mipmapping

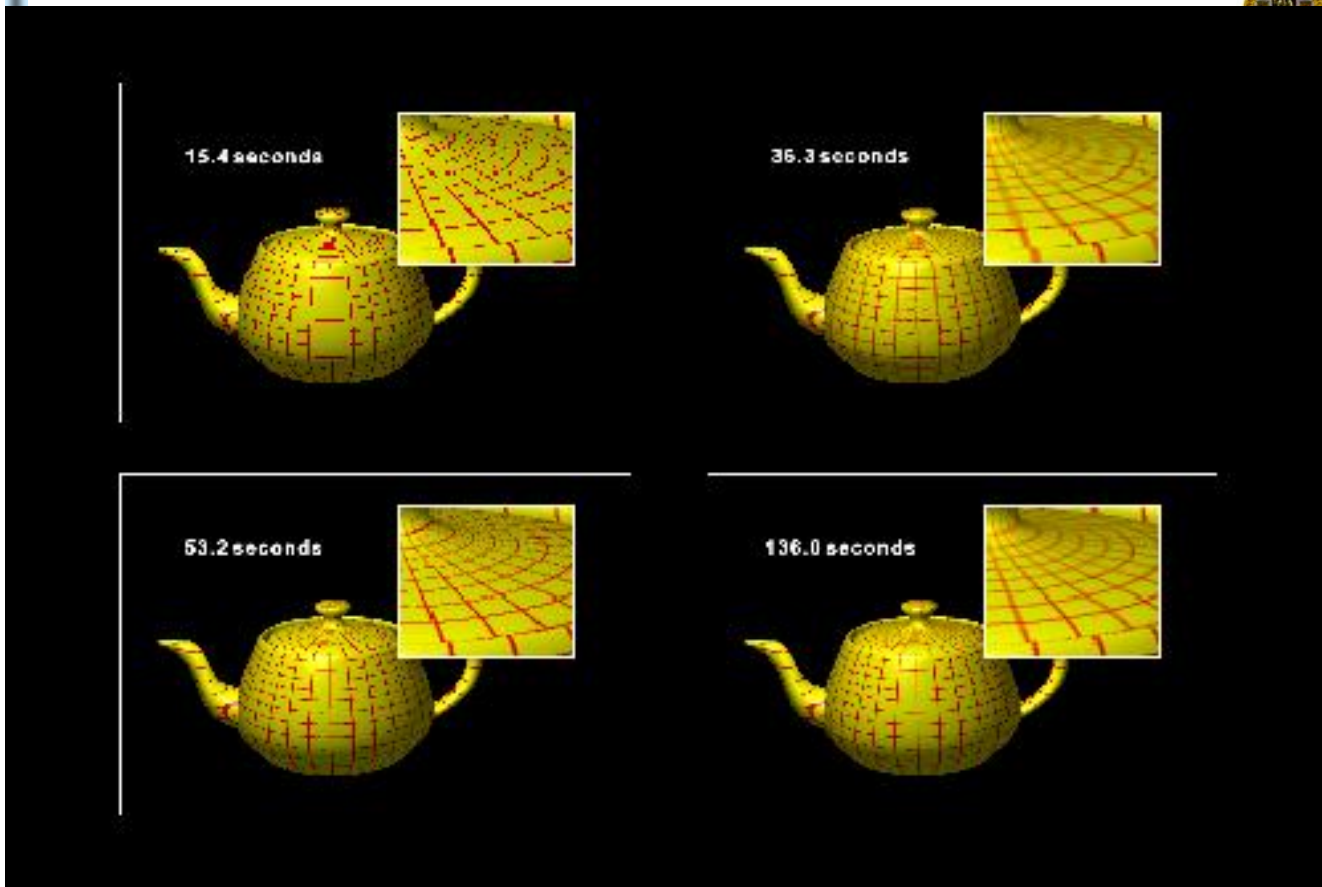
- ◆ Los resultados del mipmapping son evidentes: eliminan altas frecuencias allí donde esperamos encontrar bajas frecuencias



## Mipmapping

- ◆ Arriba a la izda, sentido horario: sin antialiasing, con mipmapping, supersampling con 9 texels por pixel, y supersampling con 9 texels por pixel más mipmapping





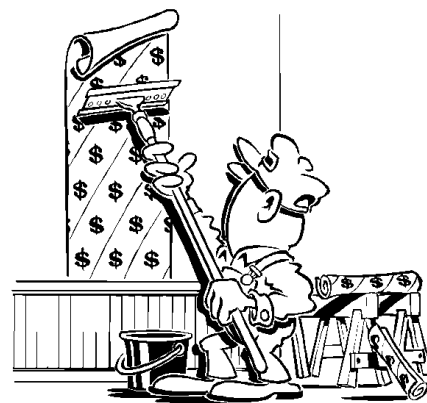
Diego Gutiérrez y Francisco J. Serón



Grupo de Informática Gráfica Avanzada  
Universidad de Zaragoza



Modelado Visual y Animación

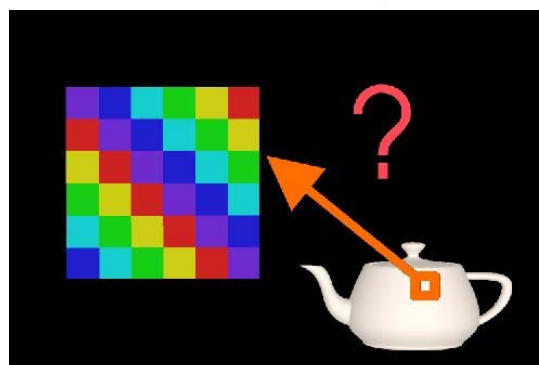
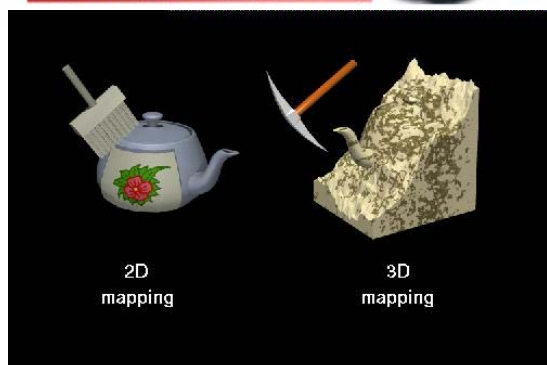
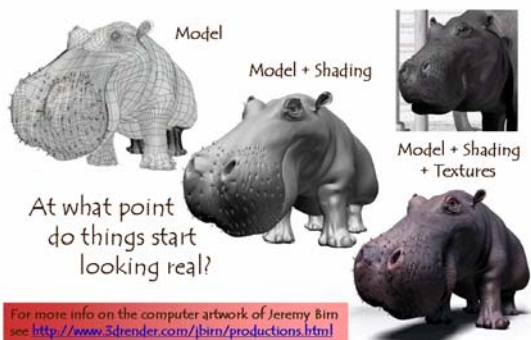


**Texturas (in a nutshell)**

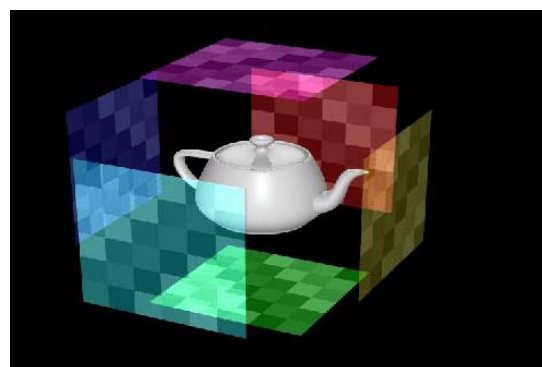
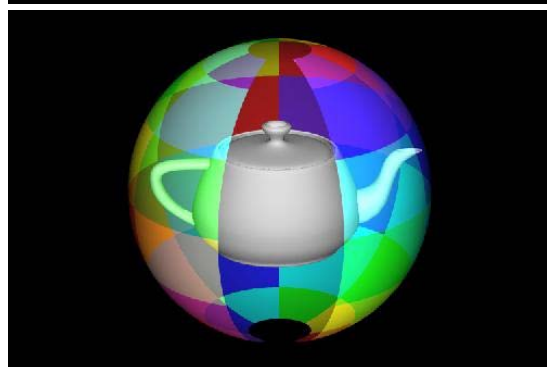
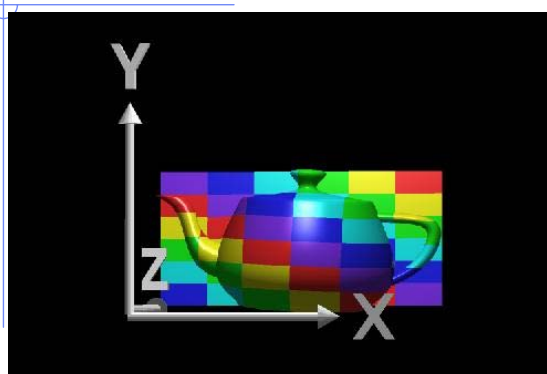
Diego Gutiérrez y Francisco J. Serón



## Texturas (in a nutshell)

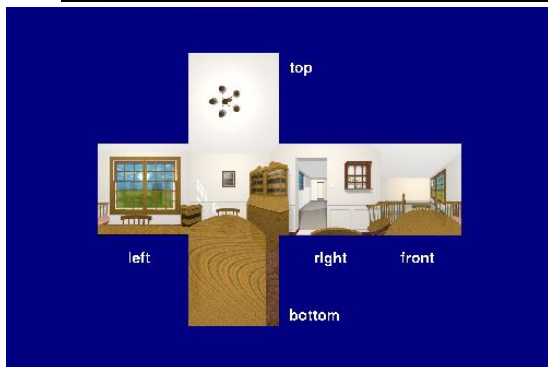
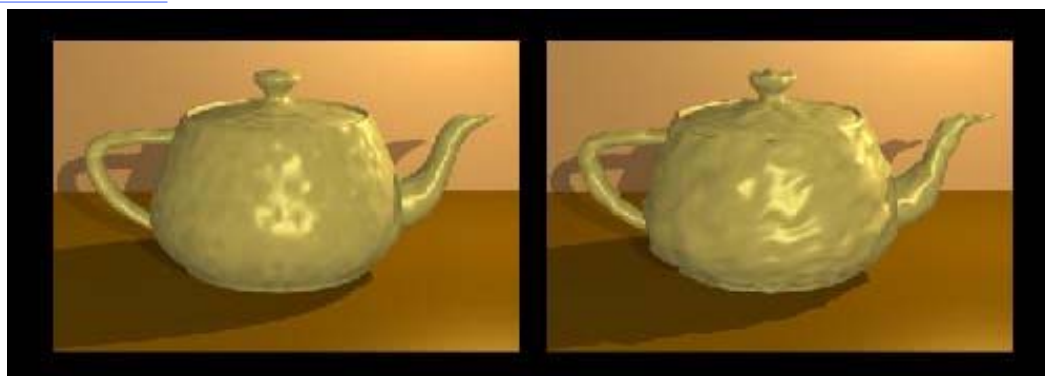


## Texturas (in a nutshell)





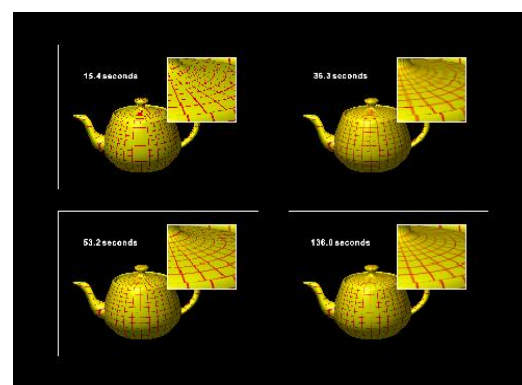
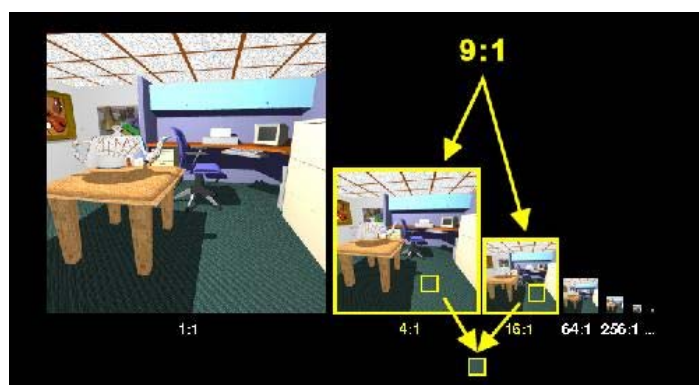
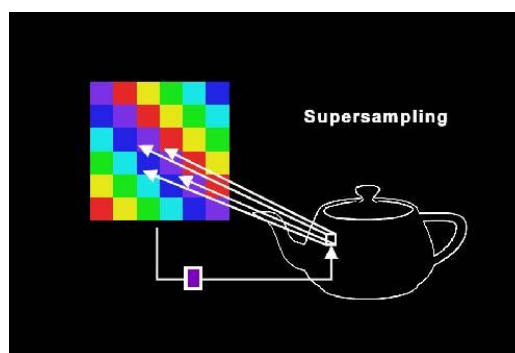
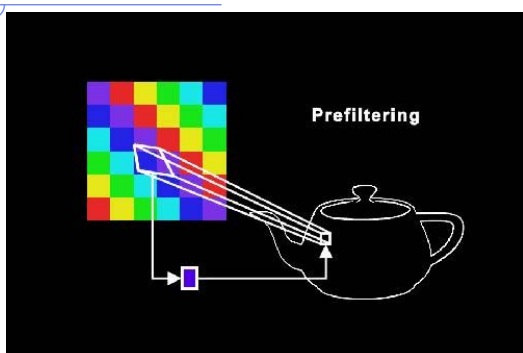
# Texturas (in a nutshell)



Diego Gutiérrez y Francisco J. Serón



# Texturas (in a nutshell)



Diego Gutiérrez y Francisco J. Serón



## Bibliografía

- (Blinn, 1978) J. Blinn, Simulations of Wrinkled Surfaces. *Computer Graphics* 12(3) August 1978, 286-292.
- (Blinn and Newell, 1976) J. Blinn and M. Newell, Texture and Reflection in Computer Generated Images. *Communications of the ACM* 19(10) October 1976, 542-546.
- (Catmull, 1974) E. Catmull, A Subdivision Algorithm for Computer Display of Curved Surfaces. PhD thesis, Department of Computer Science, University of Utah, December 1974.
- (Catmull, 1978) E. Catmull, A Hidden-Surface Algorithm with Anti-Aliasing. *Computer Graphics* 12 (3) August 1978, 6-10.
- (Cook, 1984) R. Cook, Shade Trees. *Computer Graphics* 18 (3) July 1984 223-231.
- (Crow, 1981) F. Crow, A Comparison of Antialiasing Techniques. *IEEE Computer Graphics and Applications*. 1 (1) January 1981, 40-49.
- (Peachey, 1985) D. Peachey, Solid Texturing of Complex Surfaces. *Computer Graphics* 19 (3) July 1985, 279-286.
- (Perlin, 1985) K. Perlin, An Image Synthesizer. *Computer Graphics* 19 (3) July 1985, 287-296.
- (Williams, 1983) L. Williams, Pyradmial Parametrics. *Computer Graphics* 17 (3) July 1983, 1-11.
- D. Ebert, F. K. Musgrave, D. Peachey, K. Perlin and S. Worley, *Texturing and Modeling: A Procedural Approach*. Academic Press, 1994.
- J. Foley, A. vanDam, S. Feiner and J. Hughes, *Computer Graphics: Principles and Practice*. 2nd. ed. Addison-Wesley, 1990.
- A. Watt and M. Watt, *Advanced Animation and Rendering Techniques: Theory and Practice*. Addison-Wesley, 1992.



# Luz Virtual

## Introducción



Diego Gutiérrez

Luz Virtual 1

# Luz Virtual

## Introducción



Diego Gutiérrez

Luz Virtual 2

## Luz Virtual



Diego Gutie

## Luz Virtual

Todo lo que debes saber...

Aprender a **iluminar** es  
aprender a **observar**



Diego Gutiérrez

Luz Virtual 4

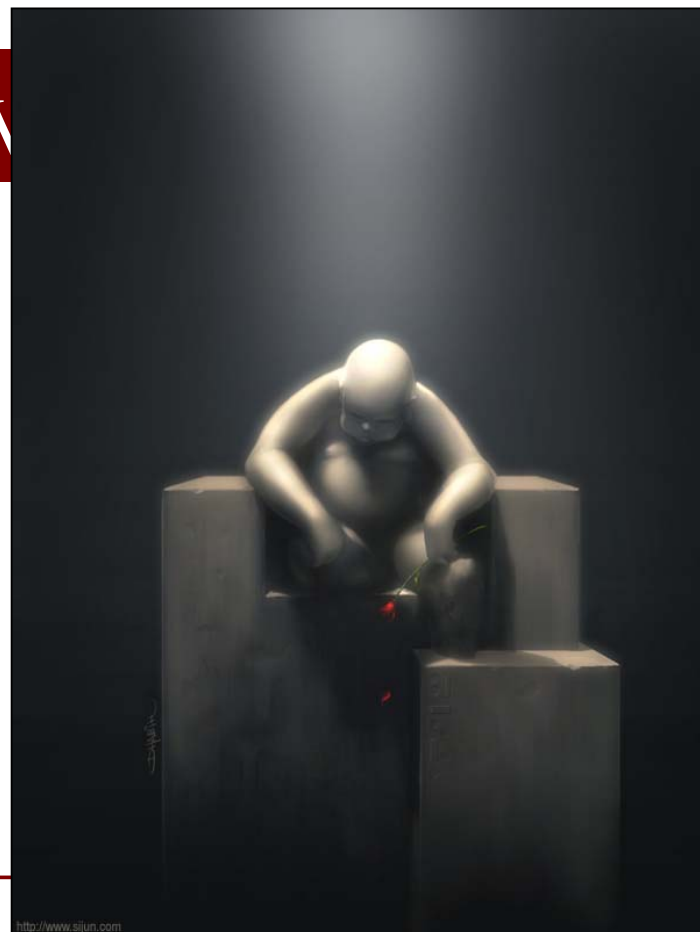
- El término “iluminación” en el ámbito de la informática gráfica suele incluir conceptos tales como la descripción de las características de un material y su respuesta ante la luz (**shaders**).
- Estas notas tratan el tema de la iluminación desde un punto de vista más artístico, en términos de diseño de ambientes y colocación de luces, siempre orientado al mundo digital.
- No existen reglas fijas: todo lo que se diga aquí debe utilizarse únicamente como guía. El objetivo es enseñar a plasmar sobre el ordenador la imagen que el artista ha visualizado mentalmente.
- Las “reglas” deben servir a la imagen, no someterla.



- Crear una **ilusión tridimensional** a partir de una imagen plana.
- Producir un **impacto visual** atrayente.
- Crear una **ambientación adecuada**.
- Dotar de **personalidad** a los distintos elementos y situaciones.
- **Encauzar la atención** de la audiencia hacia los puntos más relevantes.
- **Ocultar defectos** de modelado, animación...
- **Integrar** y dar coherencia a la historia.
- En definitiva, hacer la historia (o imagen estática), fácilmente legible, atractiva y, dentro de su contexto, creíble.



- Aspecto especialmente importante en el ámbito de la animación por ordenador.
- Lo primero que detecta el ojo humano en una escena es (sin orden fijo):
  - La figura humana
  - El movimiento
  - El color rojo
- Hay que saber utilizar esto para favorecer la legibilidad de una escena (un personaje irrelevante pasando por detrás de nuestro héroe NO PUEDE ir vestido de rojo...)



Lu



gic

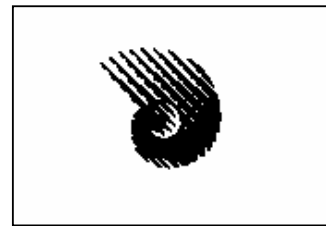
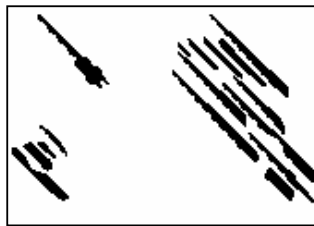
rtual 9

## Luz Virtual

## Composición

- El término **composición** se utiliza para describir una serie de principios visuales relacionados.
- La iluminación debe partir de una buena composición, o tratar de corregirla si esta es defectuosa.
- Los principios que se van a presentar actúan de manera conjunta, aunque se expliquen separadamente.
- Dependiendo de muchos factores, uno será más fuerte que otro en un momento dado.
- Una vez más, las reglas no son fijas.

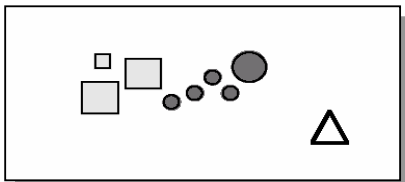
- La teoría de la **Gestalt** está basada en la noción de que tenemos un deseo intrínseco por la unidad y la armonía. El principio básico de la teoría es que vemos el conjunto antes que las partes que lo componen, y este conjunto es además superior a la suma de sus partes
- El ojo y el cerebro buscan organizar las imágenes. Si no lo consiguen, aparecen caóticas



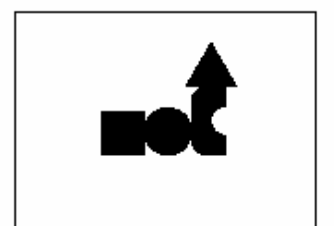
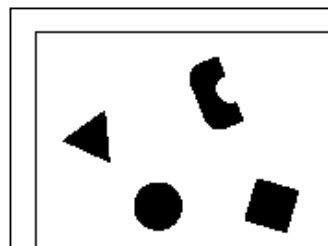
Diego Gutiérrez

Luz Virtual 11

- **Unidad y armonía:**



- El ojo perderá demasiado tiempo intentando “ordenar” una escena sin unidad ni armonía. Por otra parte, una escena demasiado “ordenada” será visualmente poco atractiva.



Diego Gutiérrez

Luz Virtual 12

# Luz Virtual

# Composición



Diego Gutiérrez

Luz Virtual 13

# Luz Virtual

# Composición



Diego Gutiérrez

Luz Virtual 14

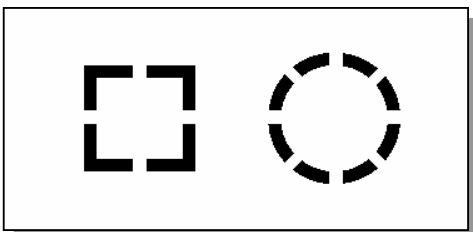
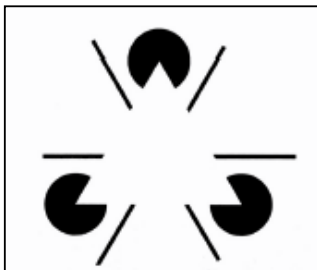
- **Formas familiares:**



- El ojo busca interpretar el mundo a través de formas familiares. Una escena que carezca de ellos será más difícil de leer y desorientará al espectador.



- **Contornos imaginarios :**



- Tenemos la habilidad de completar imágenes (de nuevo buscando unidad, armonía y formas reconocibles!)





- Contornos imaginarios:



- Estrechamente relacionados con el reconocimiento de formas



Diego Gutiérrez

Luz Virtual 17

- Eliminación:



- Consiste en deshacerse de información no esencial, para realzar más lo que dejamos (Walt Disney...)



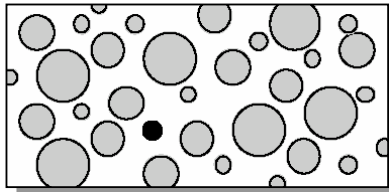
Diego Gutiérrez

Luz Virtual 18

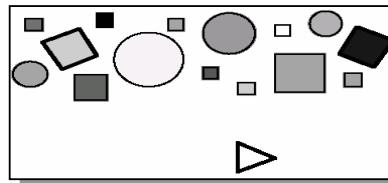
# Luz Virtual

## Composición

- Foco: énfasis



- Una imagen necesita un punto focal donde centrar la atención. Si no, obtenemos una imagen visualmente “plana”. O no.

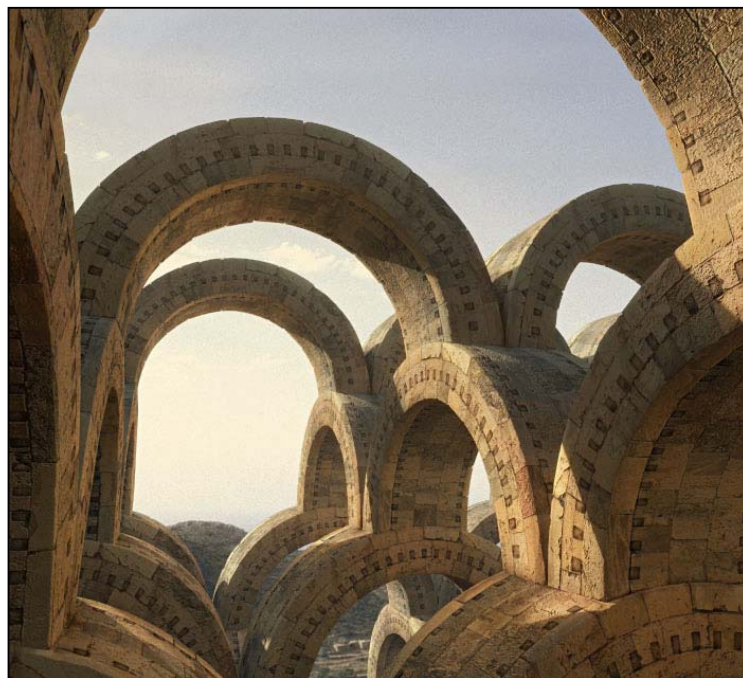


Diego Gutiérrez

Luz Virtual 19

# Luz Virtual

## Composición



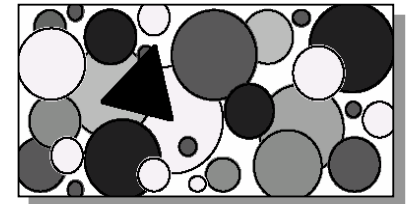
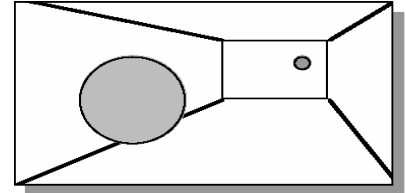
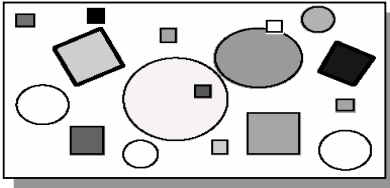
Diego Gutiérrez

Luz Virtual 20

# Luz Virtual

## Composición

- Foco: énfasis



Diego Gutiérrez

Luz Virtual 21

# Luz Virtual

## Composición

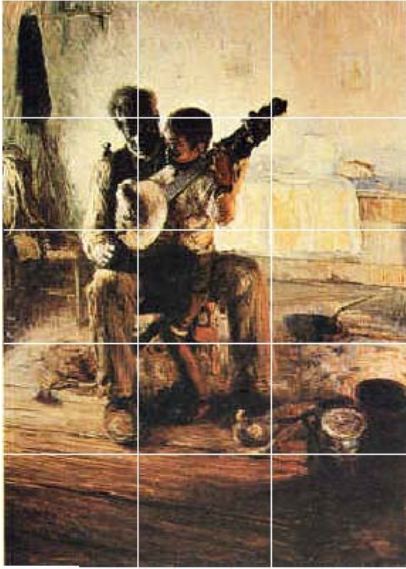
- Foco: énfasis
- Énfasis por reconocimiento y movimiento.



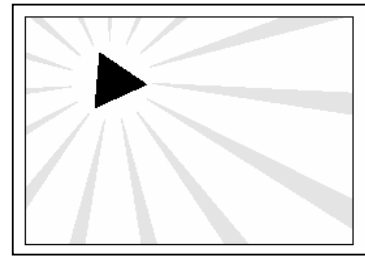
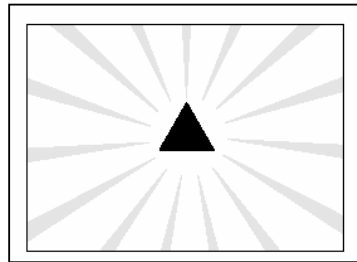
Diego Gutiérrez

Luz Virtual 22

- Foco:



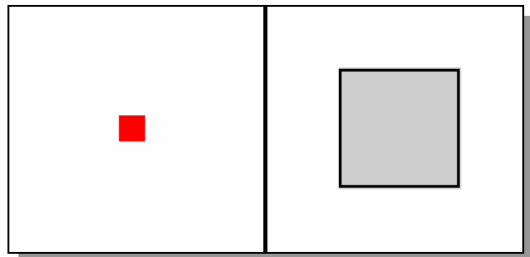
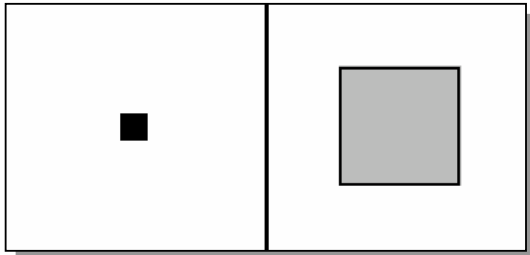
- Inconscientemente, dividimos la imagen en cuatro cuadrantes: si el foco no está en el centro, es mejor que caiga en uno de ellos. (regla de los treses y cincos)



- Foco:
- Reconstruimos las escenas a base de recorrer la imagen en busca de puntos focales (2º)



- Equilibrio:



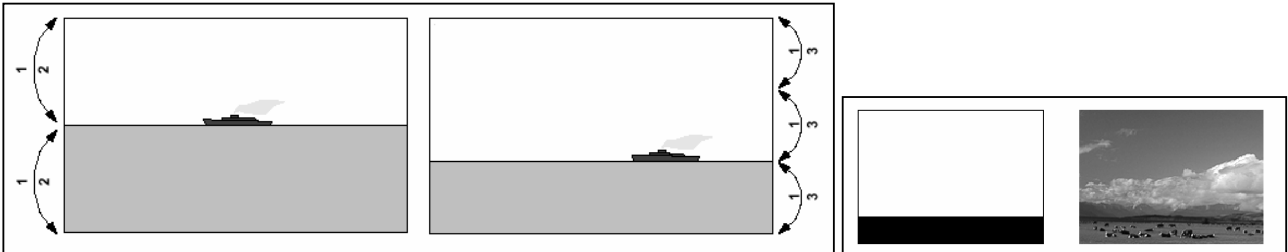
- Dividimos la imagen en un eje horizontal y otro vertical
- Por forma, color, contraste, peso aparente...
- Un objeto desequilibrado llama la atención y es visualmente inquietante (mansión encantada en una película de terror...).



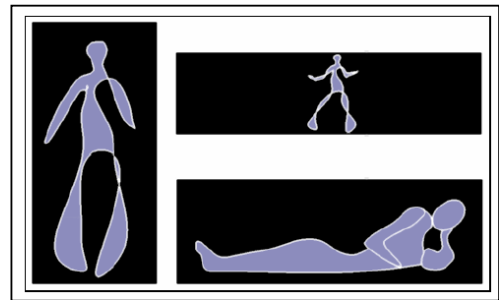
# Luz Virtual

## Composición

- Equilibrio:



- **Formato:** transmiten diferentes sensaciones. Rebelarse contra los formatos “standard”!



Diego Gutiérrez

Luz Virtual 27

# Luz Virtual

## Formato



Diego Gutiérrez

# Luz Virtual

# Formato



Diego Gutiérrez

Luz Virtual 29

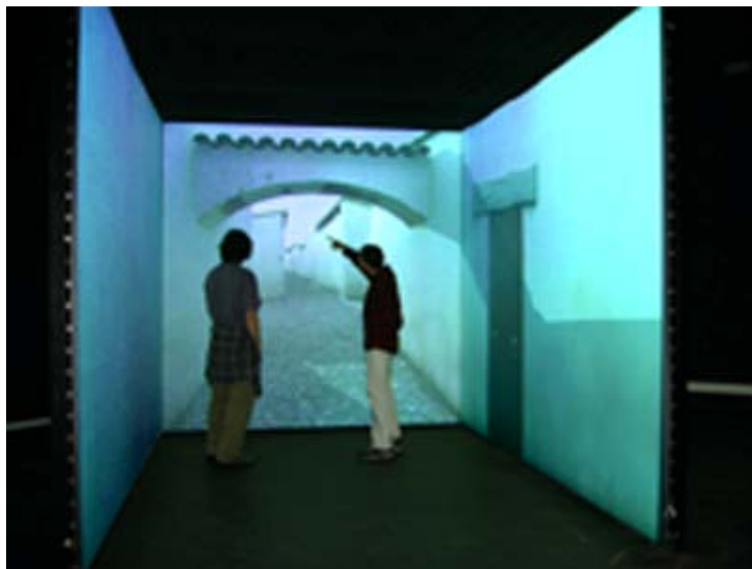
# Luz Virtual

# Formato



Diego Gutiérrez

Luz Virtual 30



## Formato



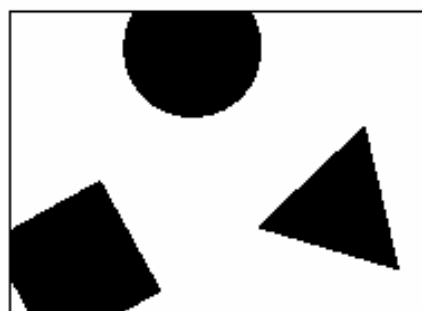
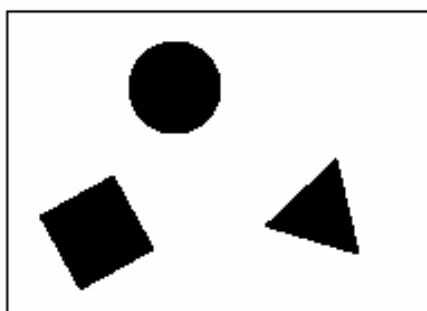
Diego Gutiérrez

Luz Virtual 31

## Luz Virtual

## Composición

- **Encuadre:** imágenes que “se salen” de los límites del cuadro crean un espacio más allá del encuadre. La composición queda más plana si nada se sale del cuadro



Diego Gutiérrez

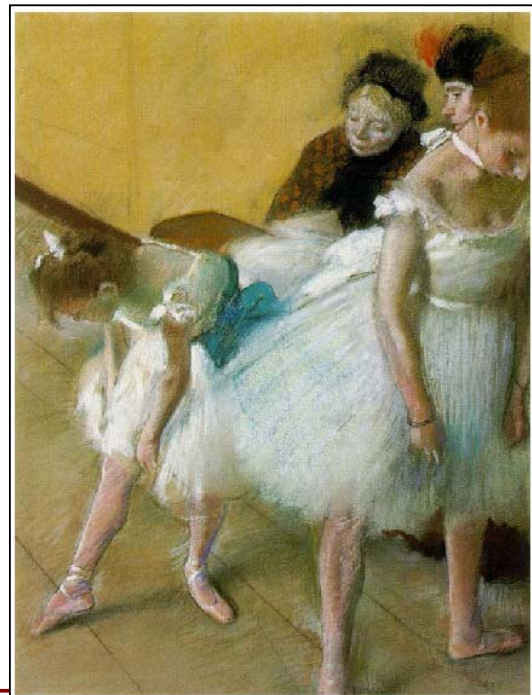
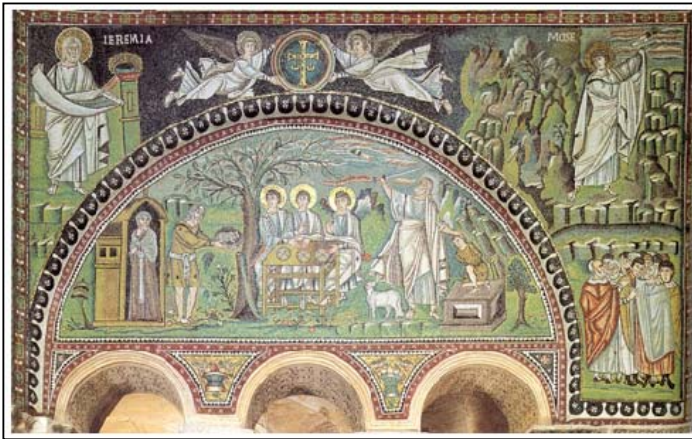
Luz Virtual 32



# Luz Virtual

## Composición

- Encuadre



Diego Gutiérrez

Luz Virtual 33

# Luz Virtual

## Composición

- No siempre es aconsejable un perfecto equilibrio



- IZDA: perfecto equilibrio, ausencia de diagonales...
- DCHA: la tensión provocada por el movimiento potencial del esqueleto es acentuada por el desequilibrio vertical de la imagen



Diego Gutiérrez

Luz Virtual 34



Diego Gutiérrez

Luz Virtual 35



Diego Gutiérrez

Luz Virtual 36

# Luz Virtual

# Composición



Diego Gutiérrez

Luz Virtual 37

# Luz Virtual

# Composición

- Una pequeña prueba...



# Luz Virtual

## Composición

- Líneas y contornos: líneas reales, implícitas y psicológicas.



Diego Gutiérrez

Luz Virtual 39

# Luz Virtual

## Composición

- Jugando con luces y sombras podemos añadir más líneas a una escena que las puramente geométricas.
- Las sombras *sugieren*



Diego Gutiérrez

Luz Virtual 40



# Luz Virtual

## Composición

- Jugando con luces y sombras podemos añadir más líneas a una escena que las puramente geométricas.
- Las sombras *sugieren*



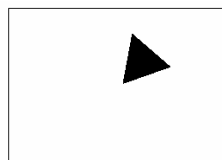
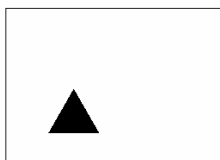
Diego Gutiérrez

Luz Virtual 41

# Luz Virtual

## Composición

- Líneas horizontales: estabilidad.
- Líneas verticales: movimiento potencial.
- Líneas diagonales: inestabilidad, movimiento y profundidad.

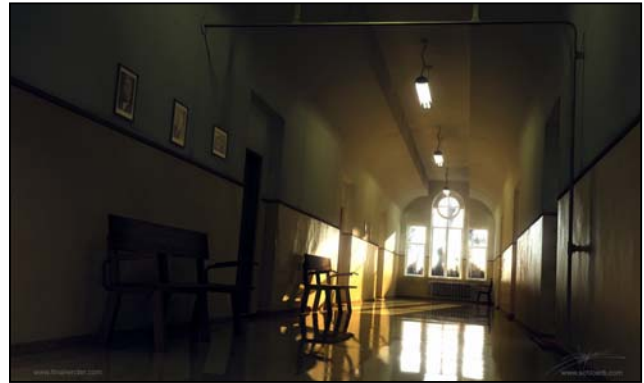


Diego Gutiérrez

Luz Virtual 42

# Luz Virtual

# Composición

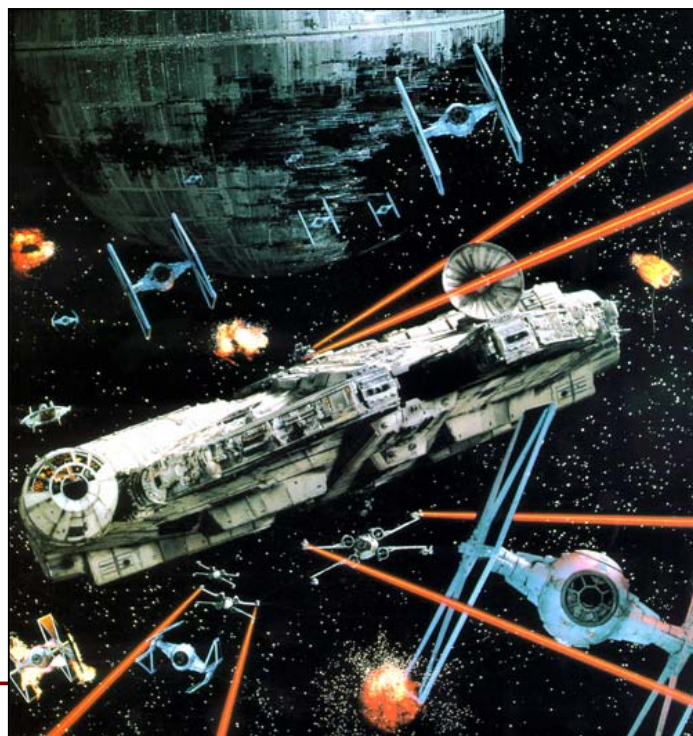


Diego Gutiérrez

Luz Virtual 43

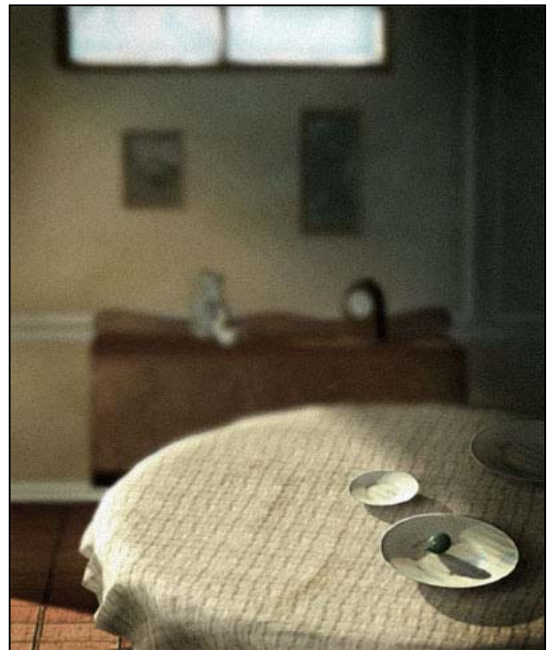
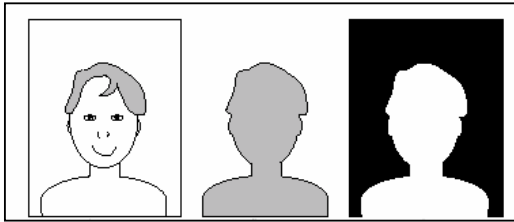
# Luz Virtual

# Composición



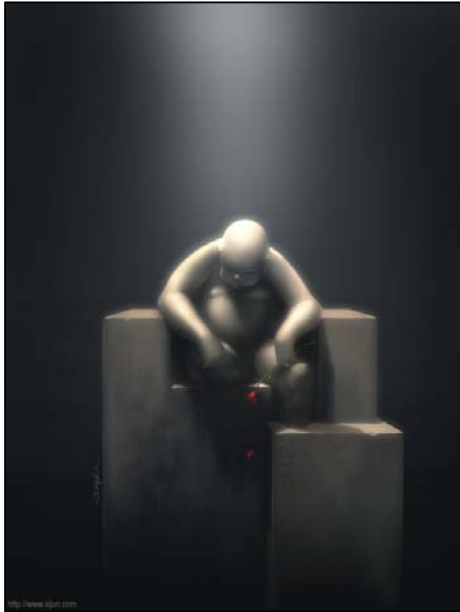
Luz Virtual 44

- **Formas:** reconocimiento de formas familiares. División en zonas positivas (primer plano), y negativas (fondo).



- Dotar a una imagen, escena, animación o película de emoción implica seleccionar una **paleta de colores** adecuada (Marea Roja, El Quinto Elemento, El Ultimo Hombre...).
- Aunque es algo muy subjetivo, existen algunas generalizaciones: colores fríos y cálidos; los saturados resaltan, los apagados se funden con el fondo.
- Rojo (enfado, pasión, violencia); verde (seguridad, equilibrio); azul (orden, paz); violeta (misticismo, magia); amarillo (felicidad, hambre, timidez); naranja (color festivo); marrón (responsabilidad, pobreza); rosa (carácter femenino, salud); negro (formal, malvado, misterioso); blanco (virginal, inocente); gris (indiferencia, tristeza)...





- Primero hay que entender cómo interacciona la luz con la materia (reflexiones especular y difusa).
- Scanline
- Z-buffer
- **Trazado de rayos** (ray tracing)
- **Radiosidad**
- Trazado de rayos + radiosidad
- **Radiancia**
- Cone tracing, path tracing
- Photon mapping





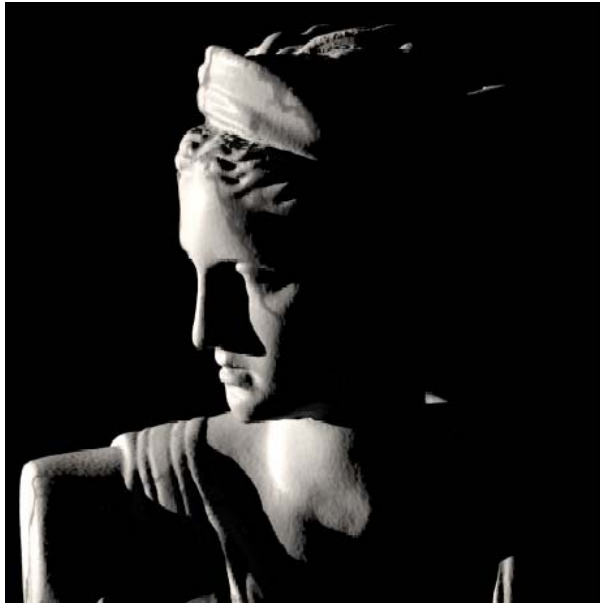


Diego Gutiérrez

Luz Virtual 49

- La iluminación es otra herramienta más para conseguir imágenes realistas
- Una iluminación incorrecta no producirá la sensación adecuada
- Punto de vista artístico y algorítmico! El mayor problema es que los modelos de iluminación digitales sólo ofrecen una **burda y lenta aproximación** de la compleja fenomenología de la interacción real de la luz con la materia.



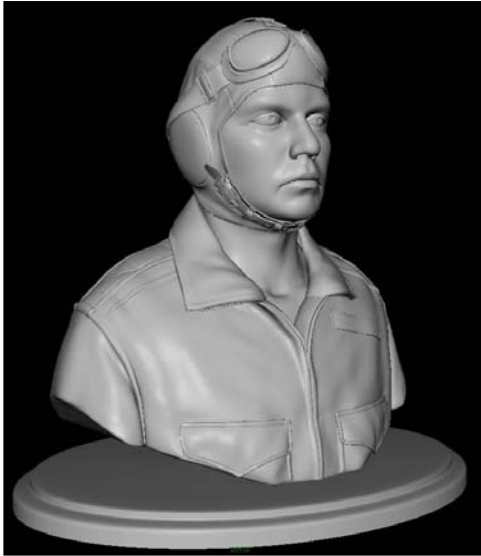


# Aprender a iluminar es aprender a observar



- El término “iluminación” en el ámbito de la informática gráfica suele incluir conceptos tales como la descripción de las características de un material y su respuesta ante la luz (**shaders**).
- Estas notas tratan el tema de la iluminación desde un punto de vista más artístico, en términos de diseño de ambientes y colocación de luces, siempre orientado al mundo digital.
- No existen reglas fijas: todo lo que se diga aquí debe utilizarse únicamente como guía. El objetivo es enseñar a plasmar sobre el ordenador la imagen que el artista ha visualizado mentalmente.
- Las “reglas” deben servir a la imagen, no someterla.





Diego Gutiérrez

Luz Virtual 3

- Crear una **ilusión tridimensional** a partir de una imagen plana.
- Producir un **impacto visual** atrayente.
- Crear una **ambientación adecuada**.
- Dotar de **personalidad** a los distintos elementos y situaciones.
- **Encauzar la atención** de la audiencia hacia los puntos más relevantes.
- **Ocultar defectos** de modelado, animación...
- **Integrar y dar coherencia** a la historia.
- En definitiva, hacer la historia (o imagen estática), fácilmente legible, atractiva y, dentro de su contexto, creíble.



Diego Gutiérrez

Luz Virtual 4

- **Ejemplos:** ocultar defectos de modelado o animación, dar coherencia a la imagen...



Diego Gutiérrez

Luz Virtual 5

- Iluminación baja con sombras definidas: maldad, algo criminal.
- Iluminación baja con sombras difusas: sensualidad.
- Luz desde arriba: vértigo si el personaje mira hacia abajo; esperanza si mira hacia arriba.
- Iluminación ilógica: se usa para narrar sueños o alucinaciones.
- Queramos o no, **reaccionamos emocionalmente** a casi todo lo que vemos. Algunas reacciones son casi genéticas (oscuridad), otras dependen de la cultura (color rojo), y otras son de índole completamente personal. Un buen diseño de iluminación debe saber aprovechar estas reacciones sutiles para guiar al espectador durante la historia.



Diego Gutiérrez

Luz Virtual 6

# Luz Virtual

# Personalidad

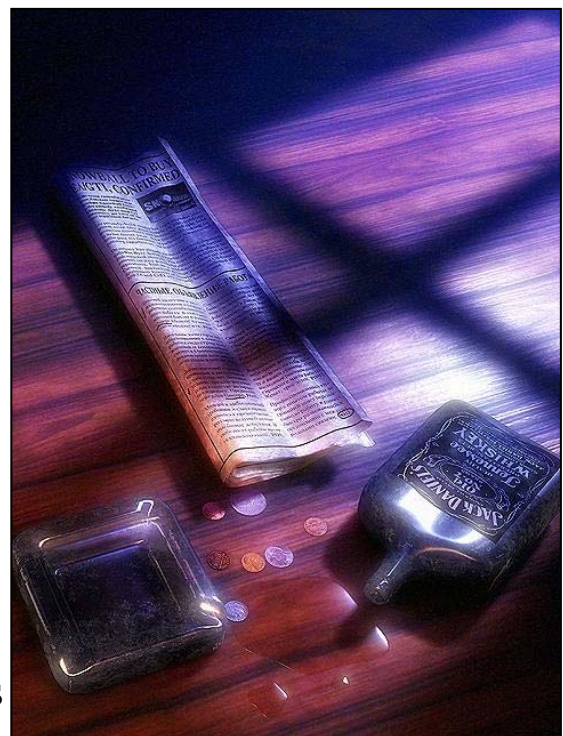


Diego Gutiérrez

Luz Virtual 7

# Luz Virtual

# Personalidad



- Colores cálidos y sombras duras

- Colores fríos y sombras suaves



Diego Gutiérrez

Luz Virtual 8



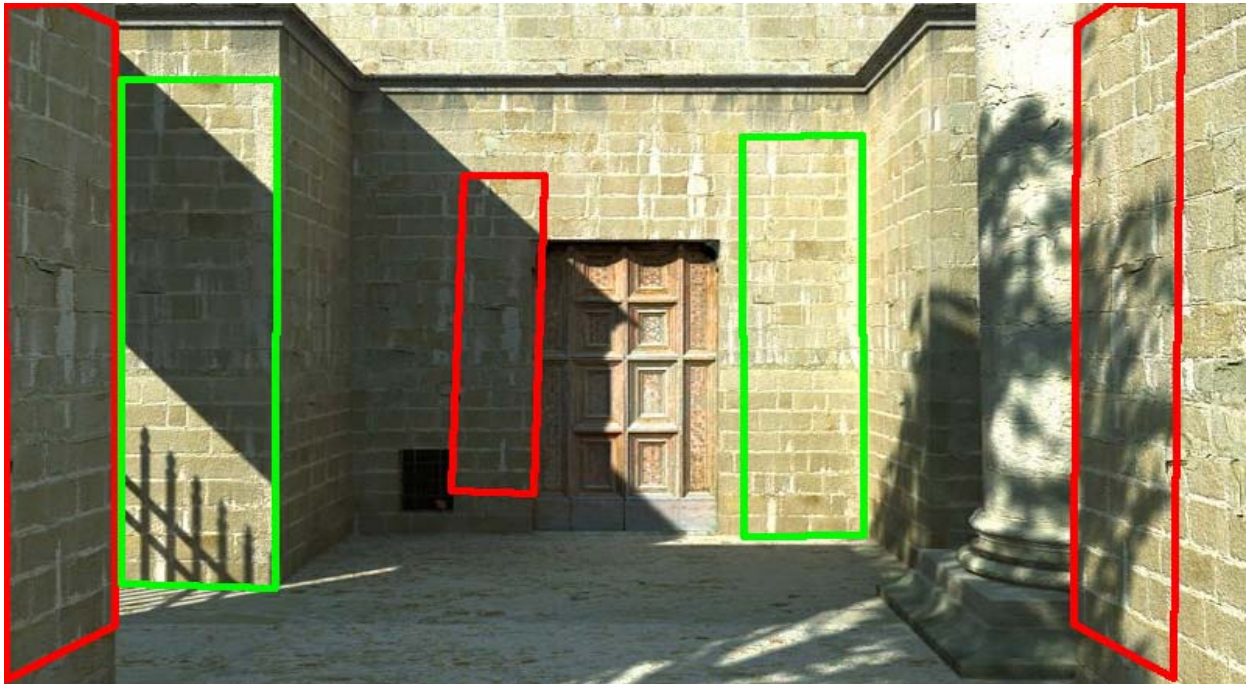
Diego Gutiérrez

Luz Virtual 9



Diego Gutiérrez

Luz Virtual 10



- El mayor problema es que los modelos de iluminación digitales sólo ofrecen una **burda y lenta aproximación** de la compleja fenomenología de la interacción real de la luz con la materia.
- El objetivo es concentrarse en problemas y sus soluciones, no explicar qué hace cada comando del menú de un programa determinado.
- Es muy fácil echar la culpa a nuestro renderizador, diciendo que no es muy bueno, que no da más de sí...
- Por ejemplo, el renderizador de 3DS Max no es nada del otro mundo...





# Luz Virtual

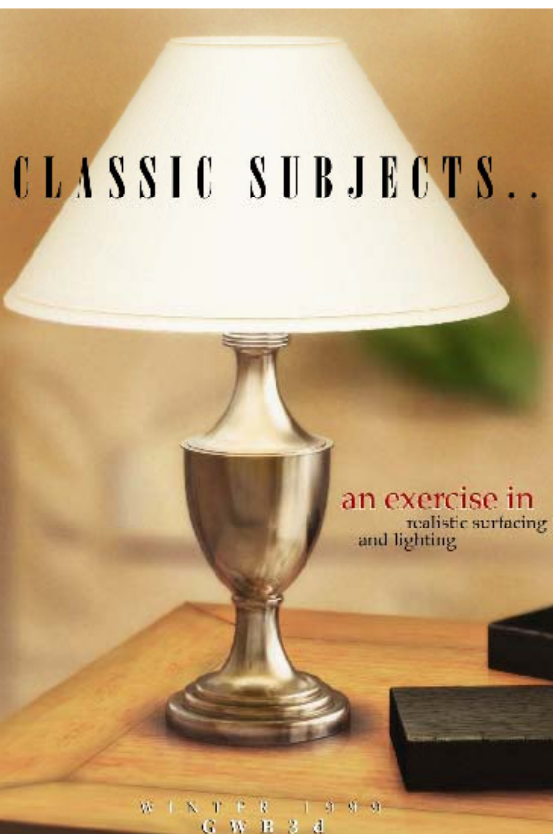
## Iluminación en CG



Diego Gutiérrez

Luz Virtual 13

# Luz Virtual



Diego Gutiérrez

Luz Virtual 14

- Un buen artista debe saber continuar donde su software acaba, explorando caminos que ni los propios programadores del soft habían sospechado.



- (MYST; Strata Vision 3D, Mac)



- La plataforma final no es más que una superficie 2D sobre la que se proyecta luz. Cualquier sensación de tridimensionalidad no es más que una ilusión.
- **Planos de luz:** Conjunto de objetos o personajes paralelos al plano de la cámara, que son iluminados como una unidad, contrastando con el resto de planos.
- Por ejemplo, una escena de interior podría estar formada por cuatro planos de luz: el paisaje visto a través de la ventana, la pared de la habitación, los personajes en la habitación y un objeto (un jarrón...) en primer plano.



- El jarrón podría ser sólo una silueta oscura; los personajes estar bien iluminados; la pared sumida en semisombra y el paisaje fuertemente iluminado por la luz del sol.
- Podemos añadir más sensación de profundidad variando la temperatura de la luz en cada plano (personajes con luz cálida y luz más fría para la pared).
- Como toque final, podemos desenfocar tanto el jarrón como el paisaje al fondo



# Luz Virtual

## Creando profundidad



Diego Gutiérrez



Luz Virtual 19

# Luz Virtual

## Creando profundidad



Diego Gutiérrez

Luz Virtual 20

- **Volumen y espacio:** Podemos acentuar el volumen aparente de los objetos o personajes usando luz lateral o trasera, jugando con las sombras.
- Una luz situada en la dirección de la cámara tiende a reducir la sensación de volumen.
- Conviene no iluminar de manera uniforme las grandes superficies planas.
- Jugando con charcos de luz acentuamos la ilusión de espacio (calle de noche iluminada por farolas). Sin embargo, hay que dar al ojo la posibilidad de conectar esos charcos de luz.

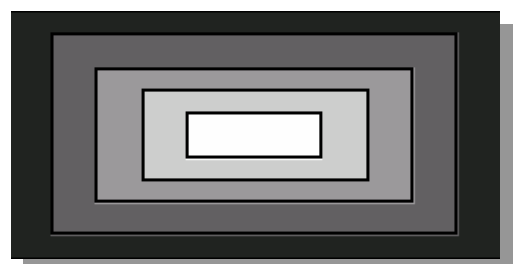




Diego Gutiérrez

Luz Virtual 23

- **Atmósfera:** Menos en días de mucho viento o después de una tormenta, la atmósfera está llena de partículas de polvo y agua en suspensión, que reflejan y refractan luz.
- Este efecto se nota sobre todo con la distancia, donde se reduce el contraste y la saturación de los colores.
- **Profundidad con el color:** Un objeto cálido sobre un fondo frío añade ilusión de profundidad, igual que un objeto brillante sobre un fondo oscuro.



Diego Gutiérrez

Luz Virtual 24





Diego Gutiérrez

Luz Virtual 27

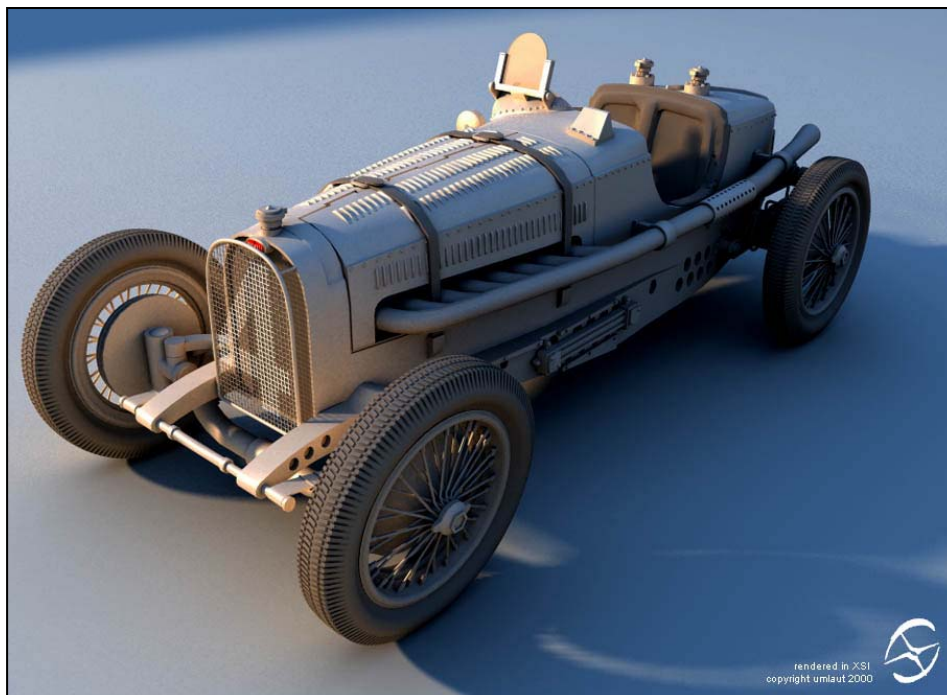


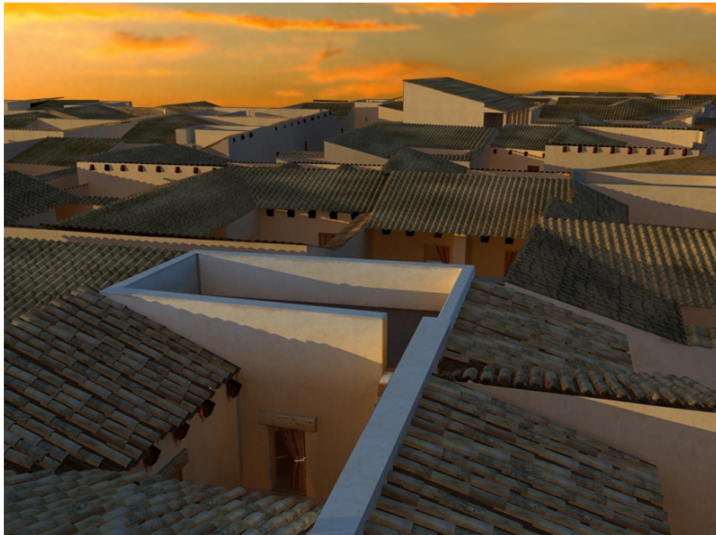
Diego Gutiérrez

Luz Virtual 28



- No hay que ser muy estricto a la hora de simular de manera realista la posición del sol en escenas diurnas. Basta con dar una idea de cuándo se está desarrollando la historia.
- Al **amanecer** podemos usar tonos azulados, que van saturando a blanco mientras nos acercamos al **mediodía**. Durante la **puesta del sol** la luz se vuelve rojiza.
- De manera similar, la **primavera** conlleva una iluminación más clara y fresca, el **verano** cálida, para irse enrojeciendo con el **otoño** y enfriándose en **invierno**.
- Hay que aprovechar la **subjetividad** de los colores.





Diego Gutiérrez

Luz Virtual 31

## Luz Virtual

### Luz y composición

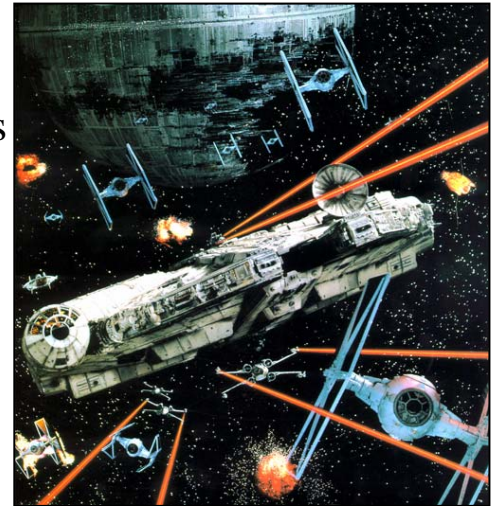
- La iluminación es parte intrínseca de la composición final. Para comprobar esto, basta con iluminar una escena cualquiera con un sólo foco tipo “spot”, e ir moviéndolo por la escena para ver cómo su lectura cambia sustancialmente.
- Cada escena es única y requiere un análisis individual.
- La mejor forma de comenzar a iluminar una escena nueva es (discutiblemente) resaltar el punto focal, para minimizar luego elementos que interfieran con este punto.



- A todos nos gustaría hacer de cada escena una obra maestra de la iluminación. Pero en una escena de un segundo debemos decirle al ojo dónde mirar de manera inmediata, sin dejarle vagar por la imagen.
- Por otra parte, **debemos ser consistentes** a lo largo de la animación, y esto suele obligarnos a hacer trampas (Cameron en Titanic...).
- Trucos de edición (cortes, fundidos...) pueden ayudarnos a alterar ligeramente la iluminación de una escena a otra (o de un plano largo a uno medio), sin perder continuidad.
- Hay que **previsualizar** las escenas en su formato final (VHS, monitor...) para evitar sorpresas al final.



- **Invariancia:** propiedades *intrínsecas* de las escenas u objetos (reflectividad...). Las propiedades *extrínsecas* incluyen las condiciones de iluminación, el punto de vista...
- **Constancia:** capacidad de extraer condiciones accidentales y extraer los invariantes
- Ejemplos: tamaño y perspectiva o constancia del color (interior de un tren...)



Diego Gutiérrez

Luz Virtual 35

- Fijémonos en la tapa del inodoro

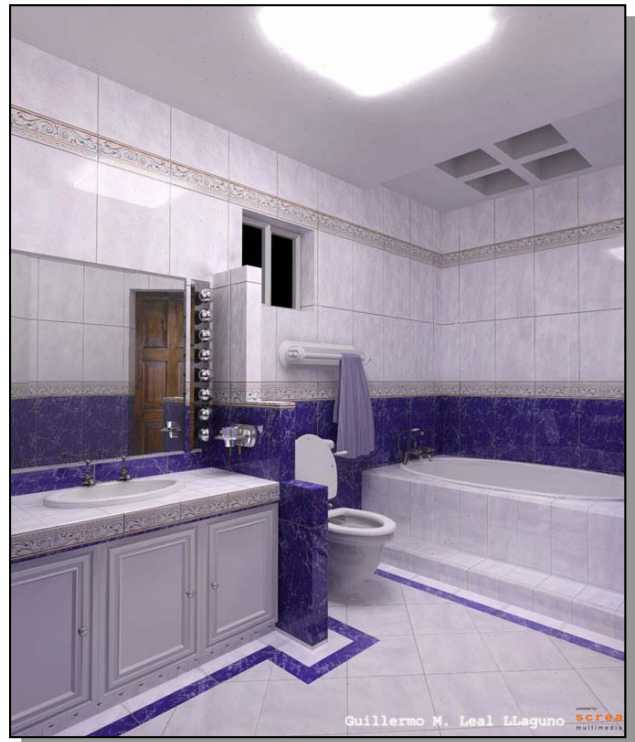


Diego Gutiérrez

Luz Virtual 36

# Luz Virtual

## Constancia del color

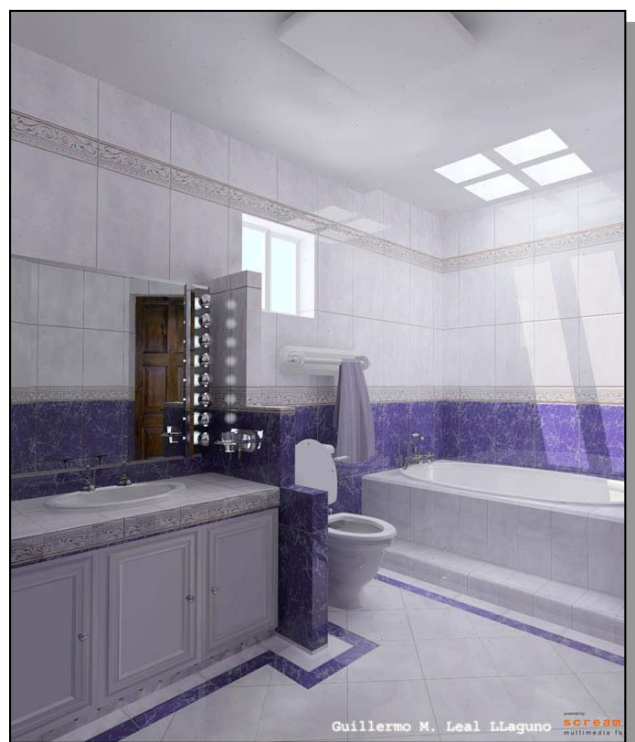
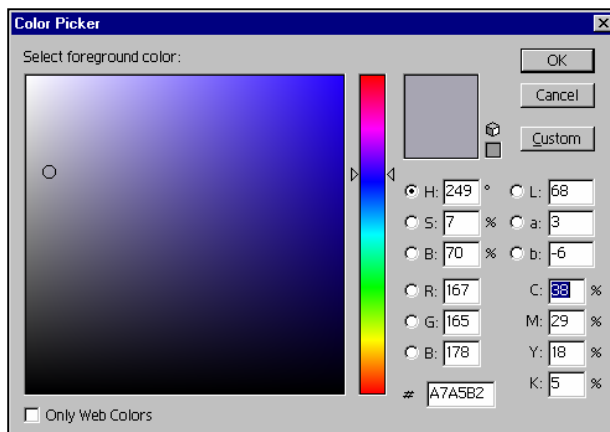


Diego Gutiérrez

Luz Virtual 37

# Luz Virtual

## Constancia del color

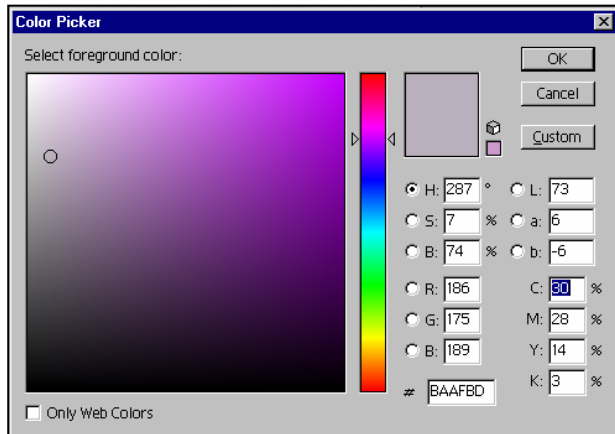


Diego Gutiérrez

Luz Virtual 38

# Luz Virtual

## Constancia del color

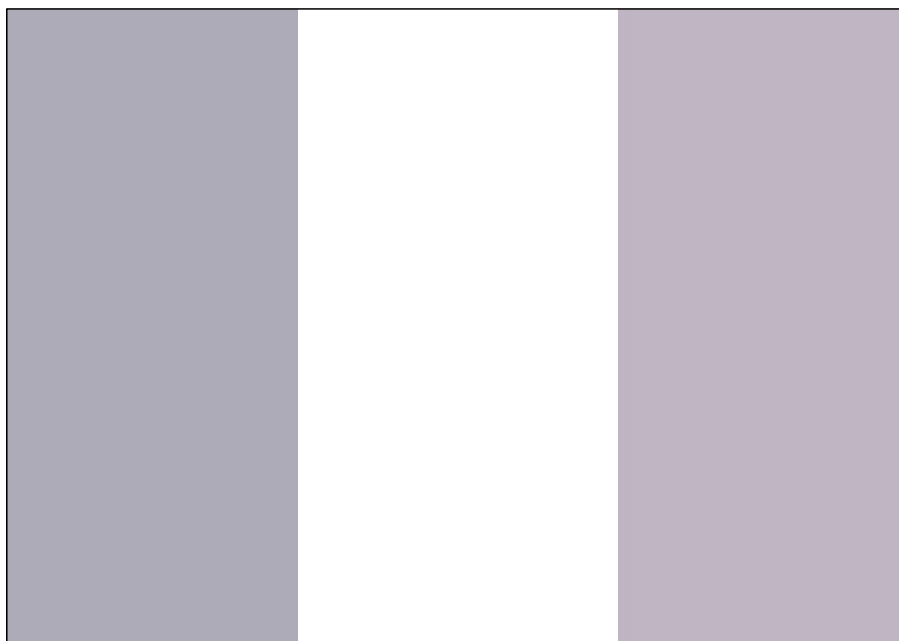


Diego Gutiérrez

Luz Virtual 39

# Luz Virtual

## Constancia del color

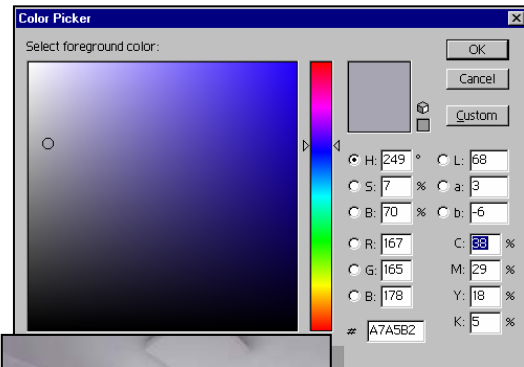
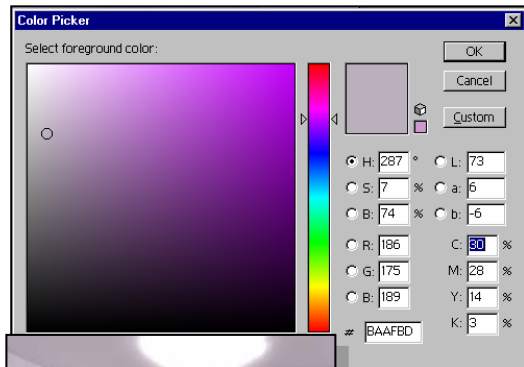


Diego Gutiérrez

Luz Virtual 40

# Luz Virtual

## Constancia del color



Diego Gutiérrez

Luz Virtual 41

# Luz Virtual

## Constancia del color

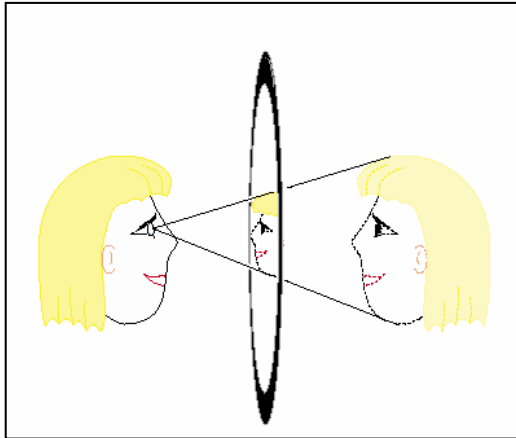
- Es fácil estimar el color intrínseco de un objeto, pero muy difícil el color de la luz que refleja!



Diego Gutiérrez

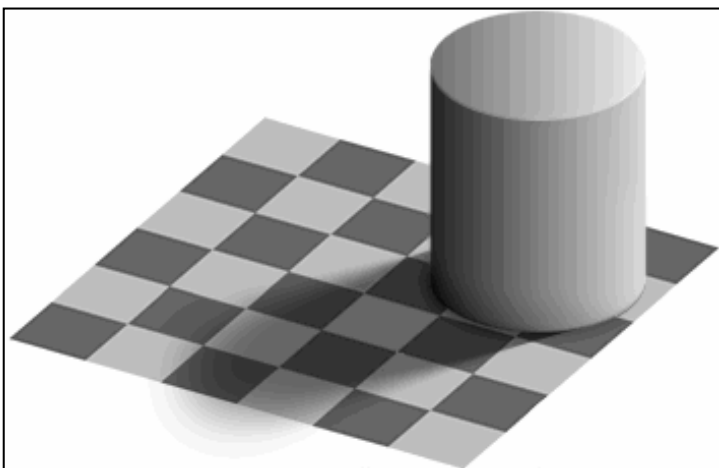
Luz Virtual 42

- Otro ejemplo: nuestra imagen en el espejo es sólo la mitad de grande que nosotros!



Diego Gutiérrez

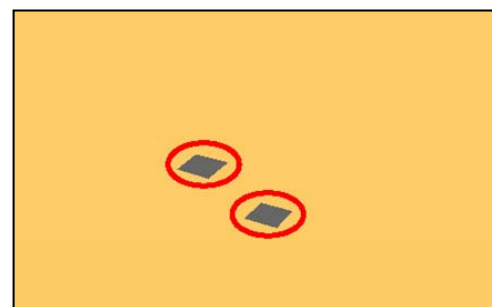
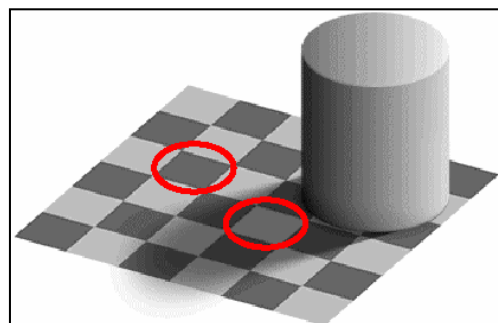
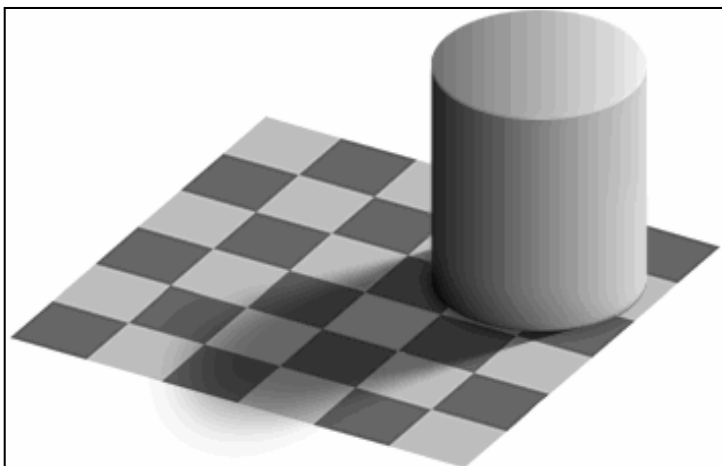
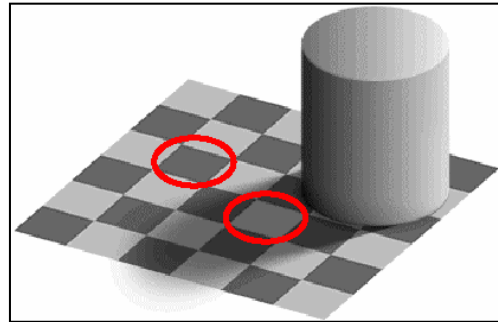
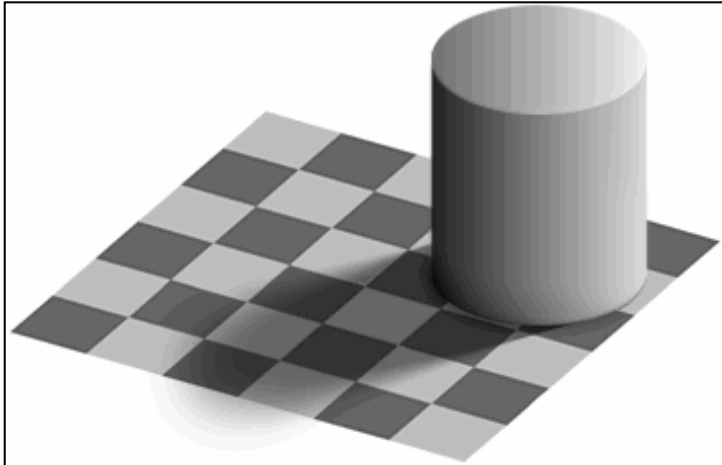
Luz Virtual 43



Diego Gutiérrez

Luz Virtual 44



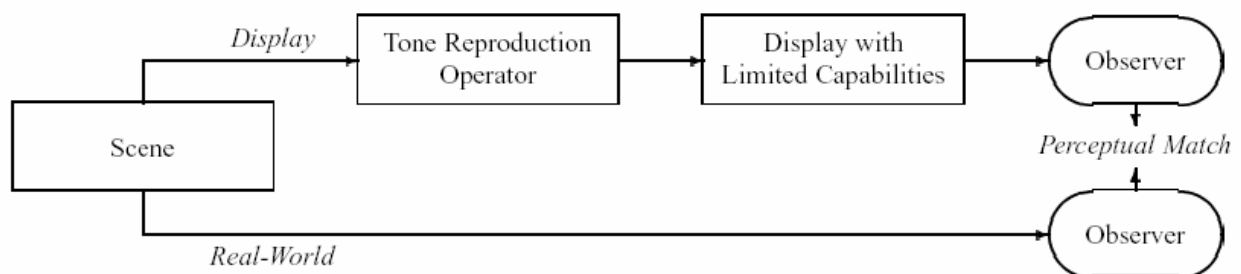




- Esta capacidad de detectar contrastes es utilizada constantemente (aumenta el rango dinámico aparente)



- Nuestra percepción de contrastes da lugar a muchos otros fenómenos curiosos...



# Luz Virtual

## Rango dinámico



Diego Gutiérrez

Luz Virtual 51

# Luz Virtual

## El aspecto subjetivo



Diego Gutiérrez

Luz Virtual 52

# Luz Virtual

## El aspecto subjetivo



Diego Gutiérrez

Luz Virtual 53

# Luz Virtual

## El aspecto subjetivo



Diego Gutiérrez

Luz Virtual 54

# Luz Virtual

## El aspecto subjetivo



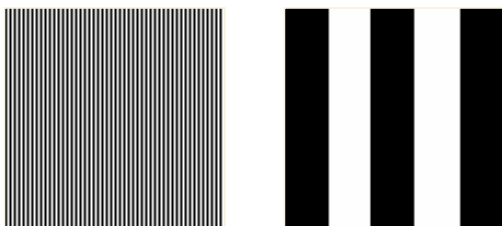
Diego Gutiérrez

Luz Virtual 55

# Luz Virtual

## El sistema visual humano

Imágenes basadas en la percepción: Sin limitarnos a los cálculos físicos de la interacción de la luz con la materia.



Diego Gutiérrez

5



Diego Gutiérrez

Luz Virtual 57

## Luz Virtual

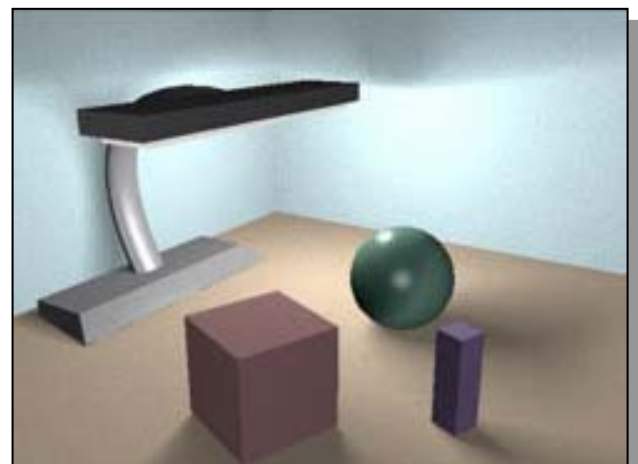
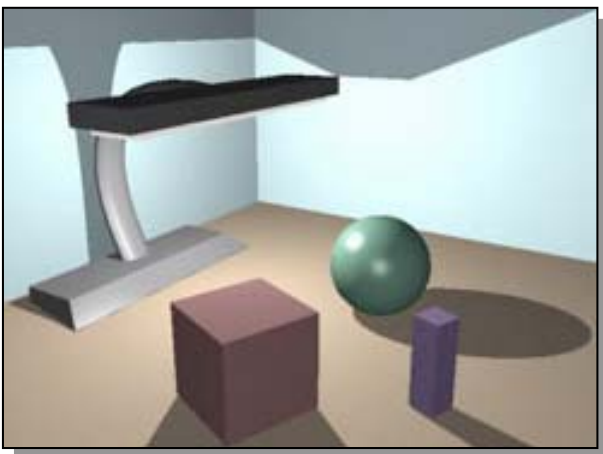
## El sistema visual humano



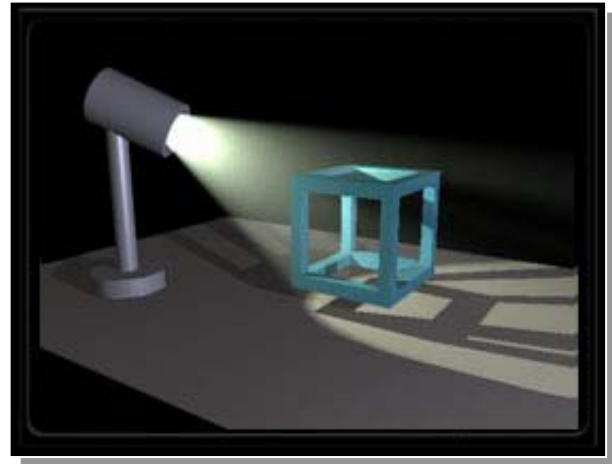
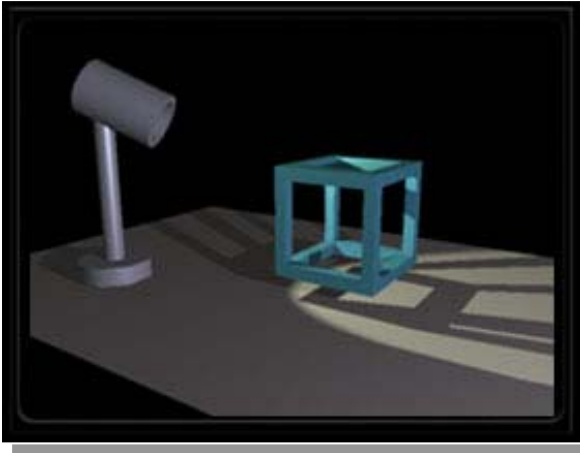
Diego Gutiérrez

Luz Virtual 58

- Una **luz motivada** es aquella cuya fuente aparece en la escena o es fácilmente deducible de ella (una lámpara en una habitación, el sol...). Suele arrojar sombras.
- Una **luz no motivada** es aquella sin fuente aparente. Suelen aplicarse para resaltar detalles o ensalzar el ambiente de la escena. Debido a su no motivación, no arrojan sombras ya que éstas delatarían su origen.
- “Empiezan donde el renderizador acaba”.
- El truco es integrar ambos tipos en la escena, logrando transmitir el efecto deseado sin que el espectador detecte la presencia de luces no motivadas, lo cual rompería toda la ilusión generada.







Diego Gutiérrez

Luz Virtual 3



Diego Gutiérrez

Luz Virtual 4

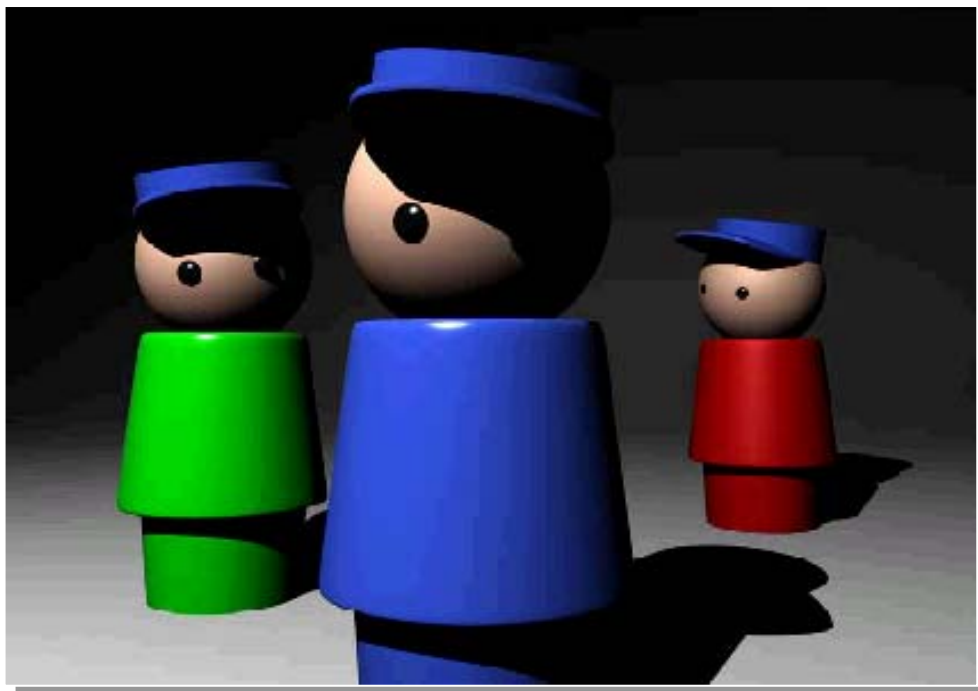
- Un buen comienzo es empezar con la configuración de tres luces (**3-light setup**): luz principal (key light), luz de relleno (fill light) y luz posterior (rim light).



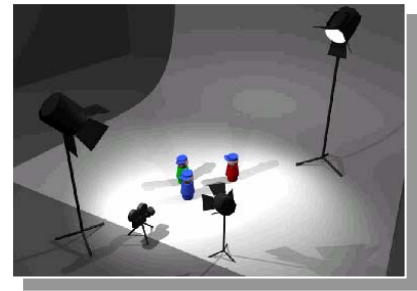
- **Luz principal:** Suele ser motivada, y por tanto arroja sombras. De hecho, las sombras de la luz principal ayudan a esculpir la escena tanto o más que la propia luz.
- Suele situarse frontalmente, a un lado de la cámara, más o menos elevada según el tipo de sombras buscado. También pueden ponerse en un lateral o incluso detrás (side key, rear key).
- La posición básica es una “3/4”: aproximadamente tres cuartas partes del personaje están iluminadas por ella. Esta es la posición que arroja de entrada sombras más agradables.



- Suele ser la primera luz en el proceso de iluminación. Las otras dependen de ella.
- Un error muy cometido por principiantes es el de situar la luz principal justo donde está la cámara, aplanando lamentablemente la imagen. Hay que dejar que las sombras añadan detalle al modelo.
- Las sombras que arroja pueden ser definidas o difusas, según el origen de la luz.



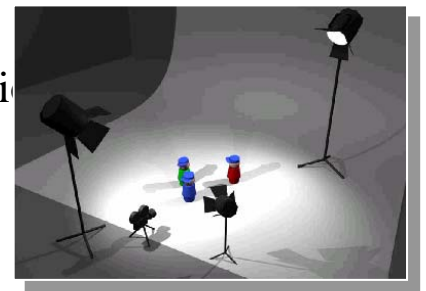
- La **luz de relleno** suaviza y rellena las sombras creadas por la luz principal. Tal y como se trata en el lenguaje cinematográfico, es diferente de la luz ambiental.
- Suele ser no motivada, sin sombras.
- Se sitúa de manera que cubra todas las sombras que deja la luz principal, al menos las visibles en la escena (entre 45° y 180° al otro lado de la cámara).
- Altura antagonista con respecto a la luz principal.
- Su intensidad parte de 1/2 de la principal



# Luz Virtual

## Luz posterior

- La **luz posterior** resalta el contorno del personaje, separándolo del fondo (también separa la vida real de Hollywood...).
- Es una de las “aberraciones” más aceptadas en el lenguaje cinematográfico (Men In Black...), dotando a la imagen de un cierto aspecto estilizado.
- Suele situarse detrás y por encima del personaje, diametralmente opuesta a una luz principal de 3/4.
- Su origen estaba motivado por las películas antiguas en blanco y negro, pero sobrevivió a la llegada del color.

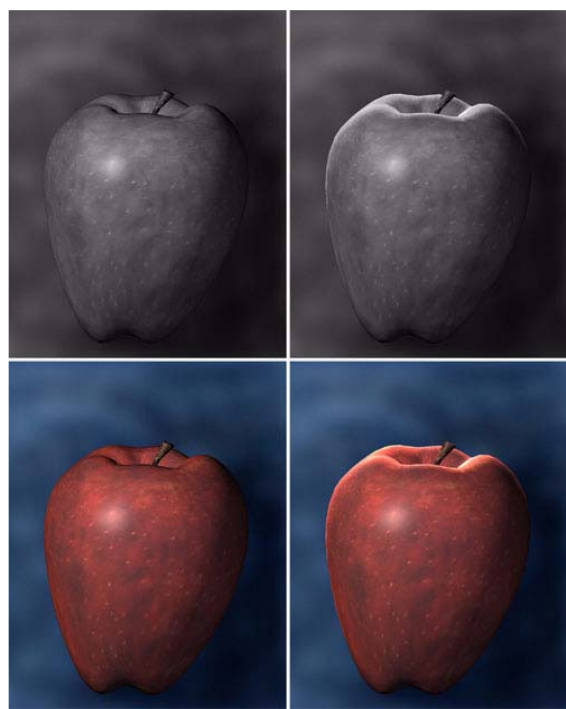


Diego Gutiérrez

Luz Virtual 11

# Luz Virtual

## Luz posterior



Diego Gutiérrez

Luz Virtual 12

# Luz Virtual

## Luz posterior



- Aquí la luz posterior ayuda claramente a perfilar el contorno del conejo en aquellas zonas demasiado oscuras, permitiendo leer la imagen rápidamente al identificar al conejo de manera instantánea.

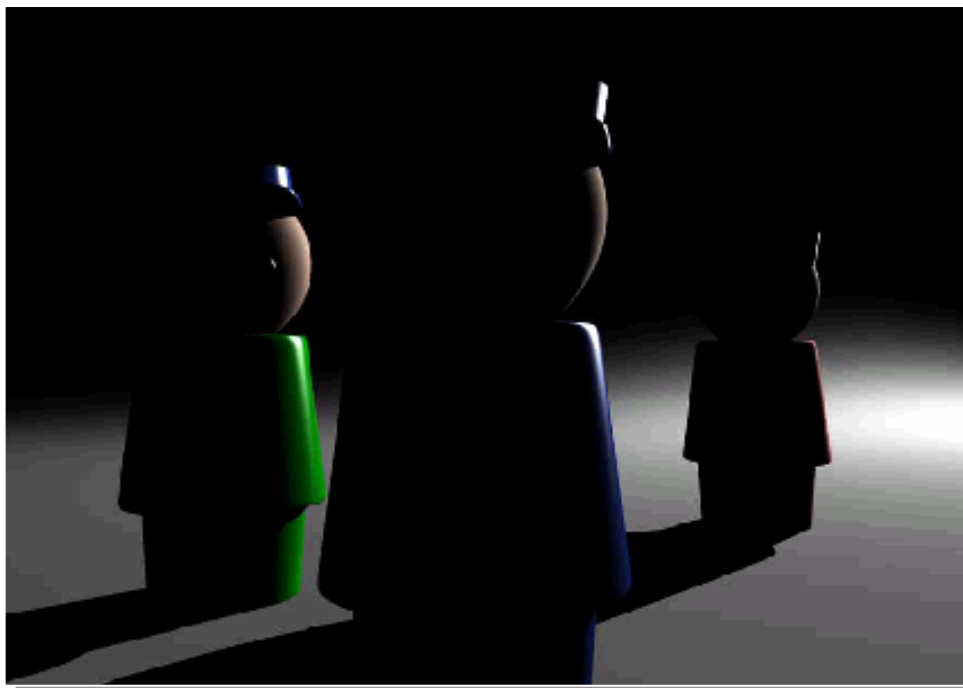


Diego Gutiérrez

Luz Virtual 13

# Luz Virtual

## Luz posterior

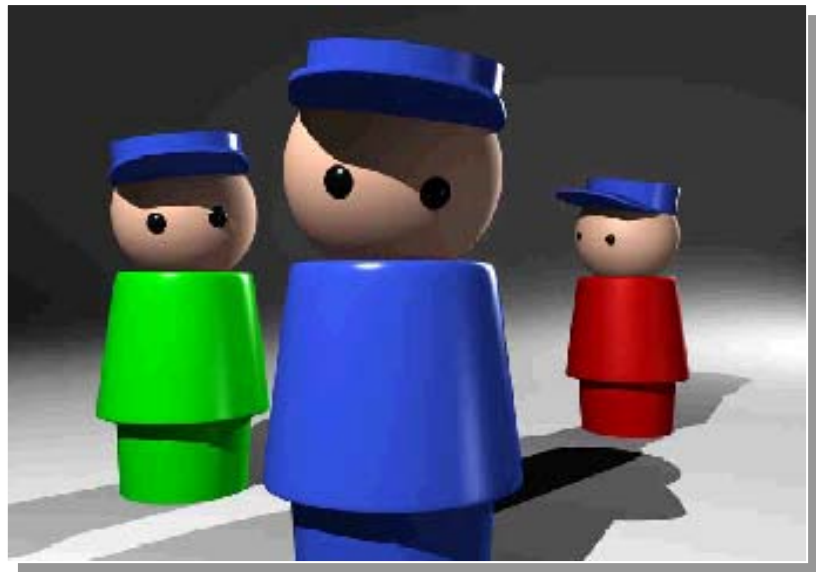
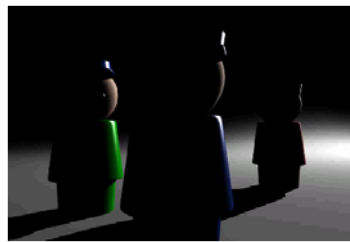
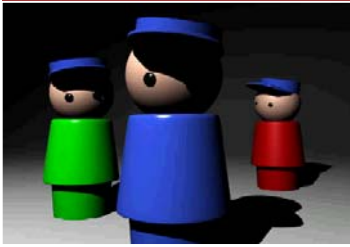


Diego Gutiérrez

Luz Virtual 14

# Luz Virtual

Principal + relleno + posterior

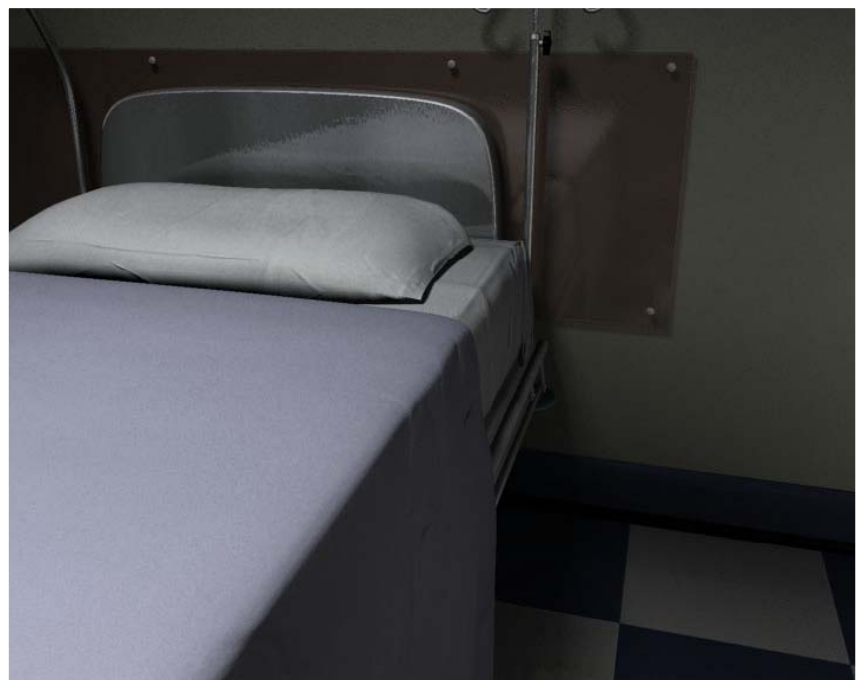
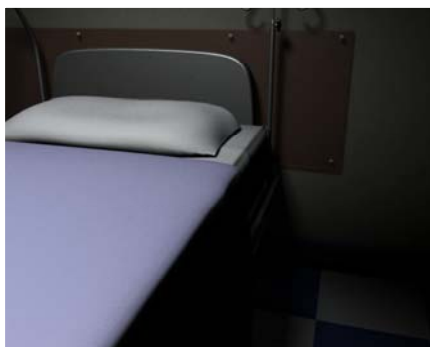


Diego Gutiérrez

Luz Virtual 15

# Luz Virtual

Un ejemplo



Diego Gutiérrez

Luz Virtual 16

# Luz Virtual

## Profundidad a través del color

- Una buena composición generalmente juega con los colores de cada fuente de luz



Diego Gutiérrez

Luz Virtual 17

# Luz Virtual

## Radiosidad a través del color

- Así integramos el modelo 3D en el ambiente (real o sintético) a través de una simulación de la interreflexión difusa de la luz.





# Luz Virtual

## Radiosidad a través del color



al 19

# Luz Virtual

## Hablando de integración...

- Unas bolas difusas y reflectantes capturan la iluminación del escenario



- La integración de un modelo CG con una escena real SIEMPRE conlleva una **corrección del color** en post.



- Las tres luces estudiadas pueden intercambiarse los papeles.
- Por ejemplo, en una **escena nocturna** es fácil tener la luz posterior como fuente principal de luz. Esto ayuda a mantener un tono oscuro, sin afectar ni la legibilidad ni la ilusión de nocturnidad, ni la sensación tridimensional de la escena. La luz principal, drásticamente reducida, pasaría a ser la luz de relleno.
- La motivación de las luces es más fuerte que las reglas de la configuración básica.





Diego Gutiérrez

Luz Virtual 23



Diego Gutiérrez

Luz Virtual 24

- La **luz ocular** se utiliza mucho en cinematografía tradicional. Los ojos de los actores cobran una mayor expresividad si pueden verse reflejos especulares en ellos.
- El **kicker** es una luz, justificada o no, que sutilmente destaca al personaje u objeto principal del resto (Adam's Family, Antz, el anuncio de Carlsberg...).
- El kicker, cuando es necesario, suele ir reforzado por otros elementos (una chaqueta o vestido rojos en medio de una multitud permiten localizar enseguida al personaje principal...)



- Luz ocular



- Kicker



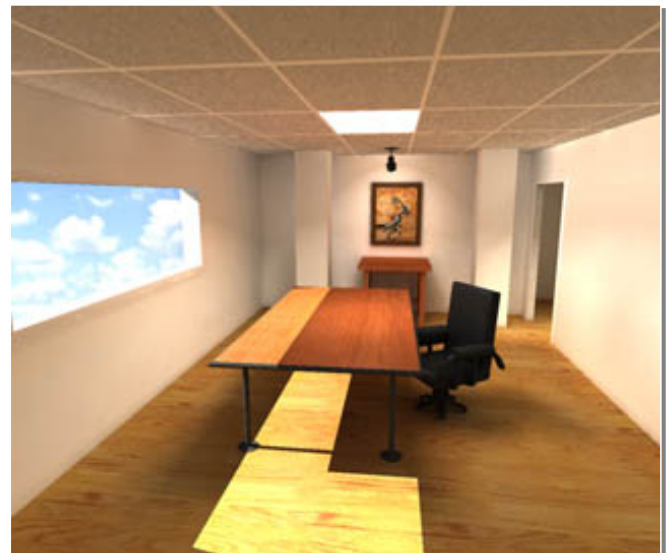
- Las **luces prácticas** están en la escena porque la historia lo requiere. La iluminación puede basarse en éstas, o permitir que la sobrepasen, si ayuda a transmitir la idea (en Encuentros en la Tercera Fase, los destellos de la nave nodriza deslumbran completamente al espectador...)
- En cinematografía digital, muchas veces es necesario simularlas con otra luz más potente fuera de encuadre (foco simulando la luz de una vela en una película de terror...). En cinematografía digital esto no es necesario, podemos actuar directamente sobre la propia luz práctica.



- Viene a suplantar el fenómeno de **interreflexión difusa** de la luz con la atmósfera en una escena real. La mayoría de los renderizadores comerciales están basados en algoritmos de trazado de rayos, e ignoran este fenómeno. Los renderizadores basados en radiosidad se acercan algo más al proceso real, por lo que necesitan menos luz de relleno.
- Si utilizamos la luz ambiental por defecto de los paquetes de animación 3D, el resultado es bastante pobre. La imagen se aplana. No conviene abusar de ella, o será imposible quitar a nuestra escena el look característico de las imágenes generadas por ordenador.



- Interreflexión difusa:



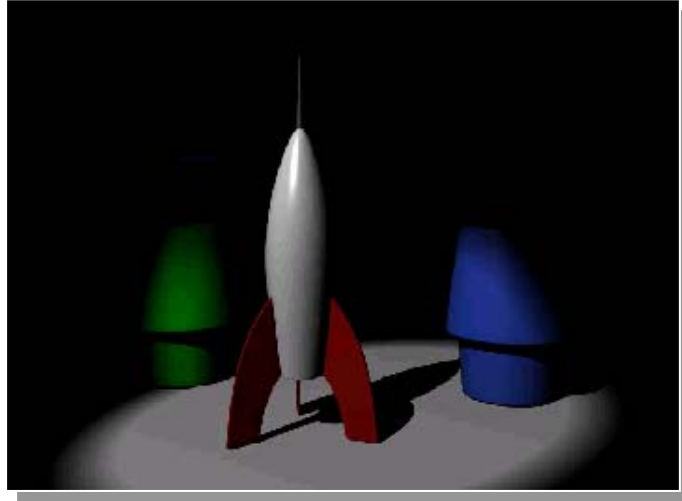
- ¿Qué sucede cuando, en una habitación del mundo real, encendemos la luz? ¿Qué sucede en un mundo análogo digital?
- En cinematografía tradicional, se utilizan grandes lonas blancas para aumentar la luz ambiental, o negras para absorberla.
- El truco es saber equilibrar este tipo de iluminación, difícilmente controlable.
- La regla de oro que nunca hay que olvidar es que cuanto más luz ambiental hay en una escena, **menos contraste** obtenemos.



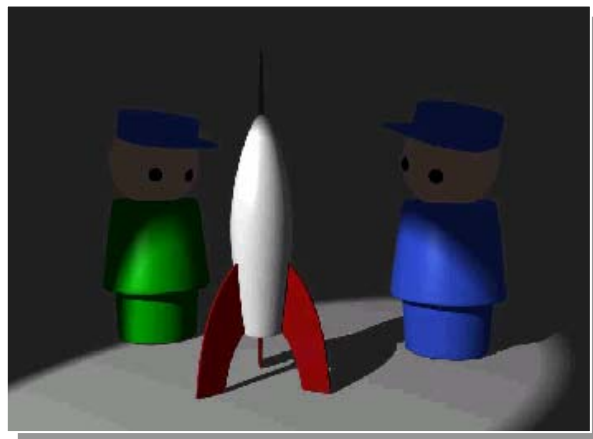
- Pero donde de verdad nos desmarcamos de los cinematógrafos tradicionales es en herramientas tales como:
  - La posibilidad de aislar el efecto de cada luz (incluyendo o excluyendo).
  - La creación de focos de luz negativa.
  - La posibilidad de definir luces que no arrojen sombras.
  - El hecho de que nuestros focos de luz no existen como objetos en el mundo creado, y no se renderizan
- A cambio, debemos apanarnos con modelos de iluminación limitados.



- Supongamos un caso de iluminación extrema: un sólo foco.



- Para simular la luz rebotada del suelo, aumentamos la luz ambiente...

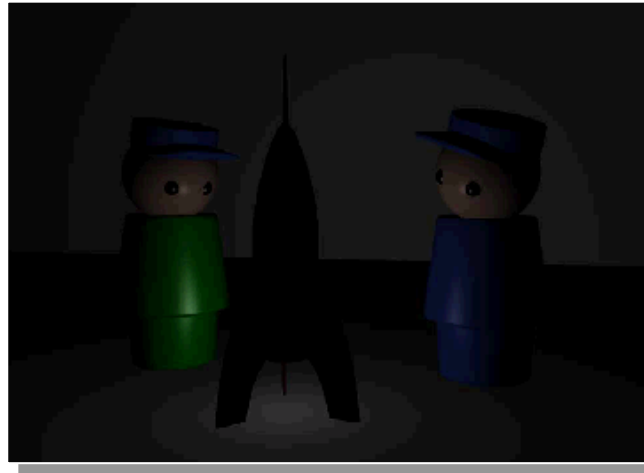


- El resultado: **hemos aplanado la imagen**. Esto sucede SIEMPRE que usemos la luz ambiental de cualquier software

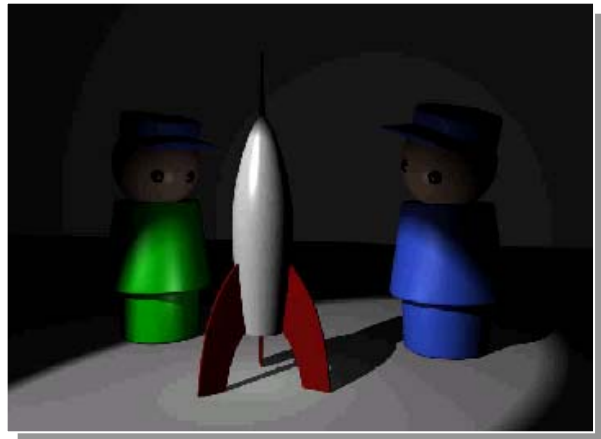
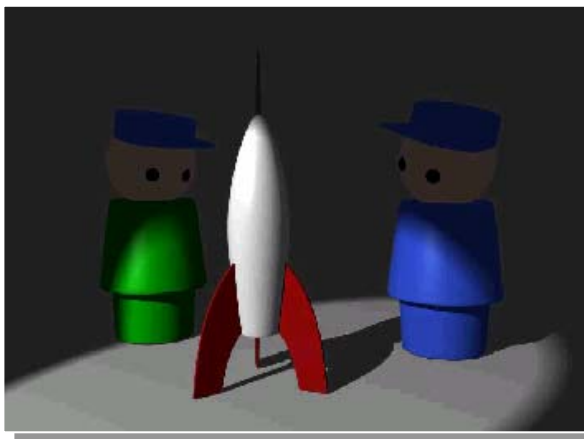




- Si en lugar de usar la luz ambiental (más mala que el tabaco!!), nos complicamos la vida un poco más, podemos colocar una suave luz puntual en el suelo que simule la luz rebotada en él...



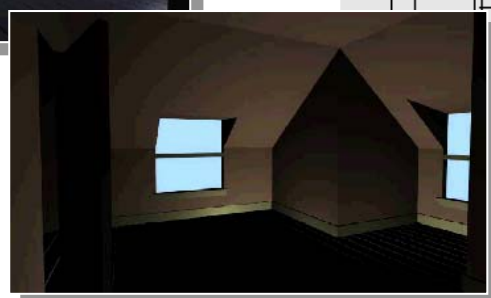
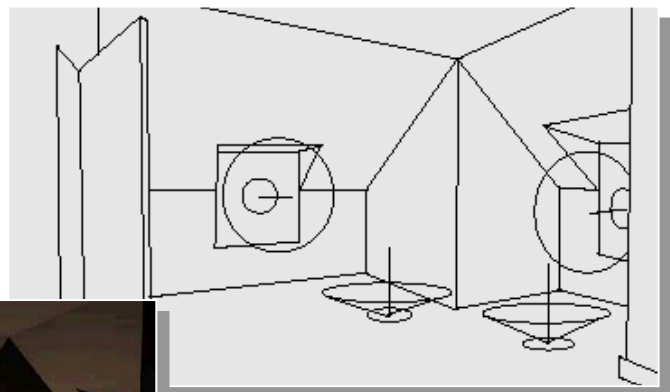
- El resultado es una imagen con mucho más volumen que la anterior:



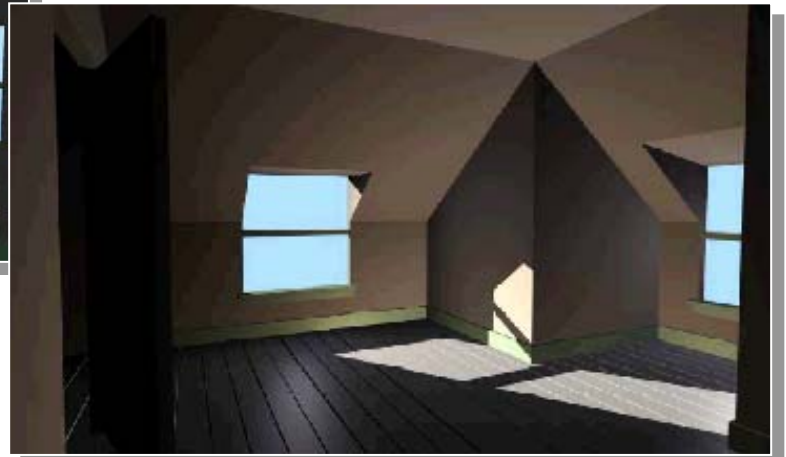
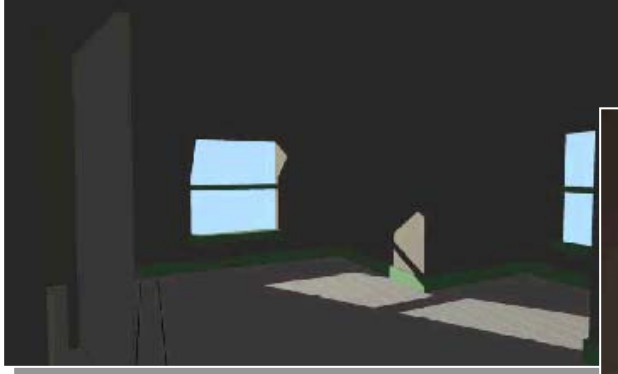
- Otro ejemplo: una **habitación soleada**. Pensamos “hummm, la luz rebota por todos los lados y satura la habitación de luz difusa. ¡Ya está!. Le meto un montón de luz ambiental y arreglados”.
- El resultado no es demasiado espectacular que digamos...
- Y eso que usamos uno de los mejores programas que existen (Softimage | 3D)



- Para simularla, situamos un tenue foco azulado en cada ventana apuntando al suelo, y dos más tenues y cálidos desde el suelo a las paredes y el techo:



- De nuevo, el resultado es una imagen mucho más atractiva que la anterior:



- Cualquier renderizador que se precie nos permitirá definir una **velocidad de amortiguación** de las luces, que simule su comportamiento real.
- Puede simularse, a la vez que ahorramos tiempo de rendering, excluyendo objetos lejanos de la influencia de una luz dada.
- ¿Utilizaríamos amortiguación para las luces de la escena de la habitación soleada?



- La forma en que el ojo capta la información de la luminancia de una misma escena varía según la situación.
- La misma medida física de luminancia en una habitación es **percibida de forma diferente** si el ojo que la percibe ha estado sumido mucho tiempo en la oscuridad o si, por el contrario, acaba de quedarse medio ciego mirando al sol.
- Los renderizadores comerciales no tienen en cuenta este **efecto subjetivo**, por lo que, si la narración de la historia lo requiere, habrá que simularlo sin más que exagerar o disminuir la intensidad de las luces.





# Bibliografía

- (Blinn, 1978) J. Blinn, Simulations of Wrinkled Surfaces. *Computer Graphics* 12(3) August 1978, 286-292.
- (Blinn and Newell, 1976) J. Blinn and M. Newell, Texture and Reflection in Computer Generated Images. *Communications of the ACM* 19(10) October 1976, 542-546.
- (Catmull, 1974) E. Catmull, A Subdivision Algorithm for Computer Display of Curved Surfaces. PhD thesis, Department of Computer Science, University of Utah, December 1974.
- (Catmull, 1978) E. Catmull, A Hidden-Surface Algorithm with Anti-Aliasing. *Computer Graphics* 12 (3) August 1978, 6-10.
- (Cook, 1984) R. Cook, Shade Trees. *Computer Graphics* 18 (3) July 1984 223-231.
- (Crow, 1981) F. Crow, A Comparison of Antialiasing Techniques. *IEEE Computer Graphics and Applications*. 1 (1) January 1981, 40-49.
- (Peachey, 1985) D. Peachey, Solid Texturing of Complex Surfaces. *Computer Graphics* 19 (3) July 1985, 279-286.
- (Perlin, 1985) K. Perlin, An Image Synthesizer. *Computer Graphics* 19 (3) July 1985, 287-296.
- (Williams, 1983) L. Williams, Pyradmial Parametrics. *Computer Graphics* 17 (3) July 1983, 1-11.
- D. Ebert, F. K. Musgrave, D. Peachey, K. Perlin and S. Worley, *Texturing and Modeling: A Procedural Approach*. Academic Press, 1994.
- J. Foley, A. vanDam, S. Feiner and J. Hughes, *Computer Graphics: Principles and Practice*. 2nd. ed. Addison-Wesley, 1990.
- A. Watt and M. Watt, *Advanced Animation and Rendering Techniques: Theory and Practice*. Addison-Wesley, 1992.

Diego Gutiérrez  
Francisco José Serón

---



Informática Gráfica  
Texturado, iluminación y render de  
imágenes sintéticas



Grupo de Informática  
Gráfica Avanzada



Departamento de  
Informática e  
Ingeniería de Sistemas



Centro Politécnico  
Superior



Universidad de  
Zaragoza